



دانشگاه صنعتی  
پیام نور

# سیستمهای کنترل خطی

(رشته برق)

دکتر علی خاکی صدیق



دانشگاه پیام نور

# سیستم‌های کنترل خطی

(رشته برق)

دکتر علی خاکی صدیق



## دانشگاه پیام نور

- 
- عنوان: سیستمهای کنترل خطی
  - مؤلف: دکتر علی خاکی صدیق
  - ویراستار علمی: دکتر محمدحسن شناسا
  - حروفچینی، صفحه‌آرایی و طراحی جلد: مدیریت تدوین
  - لیتوگرافی، چاپ و صحافی: انتشارات دانشگاه پیام نور
  - شمارگان: ۱۰۰۰ نسخه
  - نوبت و تاریخ چاپ: چاپ اول آبان ۱۳۷۹، چاپ دوم مهر ۱۳۸۱
  - شابک ۸ - ۷۸۰ - ۴۵۵ - ۹۶۴
  - ISBN 964 - 455 - 780 - 8
  - کلیه حقوق برای دانشگاه پیام نور محفوظ است.
  - قیمت در تمام کشور: ۲۵۵۰۰ ریال

## بسم الله الرحمن الرحيم

### پیشگفتار ناشر

دانشگاه پیام نور بر اساس نظام آموزش از راه دور و کلاس‌های نیمه حضوری بپریزی شده است و سطح فراگیر دانشجویی آن، تقریباً، سراسر کشور را در بر می‌گیرد. این دانشگاه بر آن است که تا حد امکان با بهره‌گیری از فن‌آوری پیشرفته ارتباطات و اطلاع‌رسانی، گذراندن دوره‌های درسی و دسترسی به منابع درسی را در منزل، اداره یا مکانهای مناسب دیگر میسر سازد. در نظام آموزش از راه دور کتاب درسی خودآموز از جمله مهمترین لوازم آموزشی است. هم اکنون دانشگاه پیام نور، ضمن تلاش برای دستیابی به فن‌آوری پیشرفته اطلاع‌رسانی و ارتقای کیفی آموزش به سطح معیار موجود در دنیا، هم خود را صرف تدوین کتاب درسی خودآموز به شرح زیر کرده است.

### ۱. طرح درستامه

طرح درستامه منبعی درسی است که، پس از داوری علمی، بدون طراحی آموزشی و ویرایش منتشر می‌شود. ضرورت تهیه به موقع کتاب در هر نیمسال و طولانی بودن فرابند ارزیابی کار صاحب اثر، در عمل، باعث می‌شود که دانشگاه به انتشار چنین منابعی اقدام کند. درستامه، در واقع، نخستین ثمرة تحقیقات صاحب اثر بر اساس نیازهای درسی دانشجویان و سرفصلهای شورای عالی برنامه‌ریزی وزارت فرهنگ و آموزش عالی است که با ظاهری آراسته، تمیز و منظم، و با طراحی کتاب، چاپ می‌شود و در اختیار دانشجو قرار می‌گیرد. دانشگاه به منظور تقدیر از زحمات صاحب اثر برای طرح درستامه به تناسب مقررات خود حق‌الرحمه‌ای پرداخت می‌کند. صاحب اثر بعد از چهار نیمسال تحصیلی بر اساس بازخوردهای اصلاحی مدرسان، دانشجویان، دیگر صاحب‌نظران در این منابع تجدیدنظر می‌کند.

۲. طرح آزمایشی

پس از تجدیدنظر صاحب اثر، که با دریافت بازخوردها و اصلاح نارسانیهای درسنامه صورت می‌گیرد، کتاب با کمک متخصصان، ویرایش و طراحی آموزشی می‌شود. طرح درسنامه به پیشنهاد دانشکده مربوط و از طریق مدیریت هماهنگی، تدوین و آماده‌سازی منابع درسی به صورت آزمایشی چاپ می‌شود. در هر حال، صاحب اثر در سلسله انتشارات آزمایشی نیز، همانند طرح درسنامه، پس از ۴ نیمسال تحصیلی با دریافت بازخوردهای مدرسان و دانشجویان در این منابع تجدیدنظر می‌کند.

### ٣. طرح قطعی

کتابهای آزمایشی پس از ۴ نیمسال، که صاحب اثر با دریافت نظرهای اصلاحی در کتاب تجدیدنظر می‌کند، در شورای انتشارات برسی و در صورت تصویب به صورت قطعی چاپ می‌شوند. انتظار می‌رود که این کتابها، پس از ارزیابیهای مکرر حین تدریس و پس از ویرایش و طراحی آموزشی، از هر لحاظ خودآموز باشند و نیاز دانشجو را از لحاظ درک مطلب برآورده کنند. با وجود این، با توجه به تحولات سریع علم در دنیای امروز، بازخوردها، برخی اشکالات احتمالی، مؤلف باید در این کتابها نیز در حدود هر ۴ سال یک بار تجدیدنظر کند.

۴. متون آزمایشگاهی

این نوع کتابها دستورالعملهایی هستند که دانشجویان با استفاده از آنها و با راهنمایی مربیان یا توانند کارهای عملی را در آزمایشگاه انجام دهند.

## ۵. کتابهای کمک درسی و فرادرسی

دانشگاه پیام نور، به منظور مشارکت در غنی تر کردن منابع درسی دانشگاهی در سراسر کشور، یادگیری بیشتر و مؤثرت دانشجویان، و نیز به منظور فراهم آوردن منابعی برای پیشبرد سطح علمی پژوهندگان، محققان و مردمیان، کتابهای کمک درسی و فرادرسی، منتشر می‌کند.

## فهرست

یازده	پیشگفتار
۱	۱. آشنایی با سیستم‌های کنترل
۲	۱-۱ اصول کنترل
۷	۲-۱ تاریخچه مختصر کنترل اتوماتیک
۱۱	۳-۱ چند مثال عملی از سیستم‌های کنترل
۱۸	۴-۱ تعاریف
۲۰	مسائل
۲۲	مراجع فصل اول
۲۳	کتابشناسی
۲۵	۲. نمایش سیستم‌های کنترل خطی
۲۶	۱-۲ مقدمه
۲۶	۲-۲ توابع تبدیل
۳۱	۳-۲ دیاگرام‌های بلوکی
۳۲	۱-۳-۲ اجزاء اصلی دیاگرام‌های بلوکی
۳۳	۲-۳-۲ عملیات جبری بلوک دیاگرامی
۳۶	۳-۳-۲ رسم دیاگرام بلوکی سیستم‌های فیزیکی
۳۹	۴-۲ نمودارهای گذر سیگنال
۴۲	۱-۴-۲ جبر نمودار گذر سیگنال
۴۴	۲-۴-۲ نمایش نمودار گذر سیگنال سیستم‌های خطی
۵۲	۵-۲ توصیف فضای حالت سیستم‌های کنترل
۵۴	۱-۵-۲ بدست آوردن معادلات حالت از تابع تبدیل

۶۰	۲-۵-۲ انتخاب متغیرهای حالت
۶۶	۳-۵-۲ رابطه بین تابع تبدیل و معادله فضای حالت
۶۷	۴-۶ مدلسازی موتورهای DC
۷۳	مسائل
۸۳	مراجع فصل دوم
۸۴	کتابشناسی
۸۵	<b>۳. تحلیل عملکرد گذرا و ماندگار سیستم‌های کنترل</b>
۸۶	۱-۳ مقدمه
۸۷	۲-۳ ورودیهای استاندارد برای تحلیل عملکرد سیستم‌های کنترل
۹۱	۳-۲ پاسخ حالت ماندگار
۹۱	۱-۳-۳ پاسخ حالت ماندگار به ورودیهای پله، شیب و سهموی
۹۴	۲-۳-۳ ورودیهای سینوسی و چند جمله‌ای
۹۶	۴-۳ پاسخ حالت - گذرا
۹۷	۱-۴-۳ پاسخ میرای شدید
۹۸	۲-۴-۳ پاسخ میرای بحرانی
۱۰۰	۳-۴-۳ پاسخ میرای ضعیف
۱۱۳	۵-۳ اثرات اضافه‌کردن صفر و قطب به تابع تبدیل
۱۱۳	۱-۵-۳ قطبهاي غالب تابع تبدیل
۱۱۵	۲-۵-۳ اثر قطبهاي غالب اضافي
۱۱۷	۳-۵-۳ اثر صفرهای اضافی
۱۱۷	۴-۶ تحلیل خطای حالت ماندگار سیستم‌های کنترل
۱۱۹	۱-۶-۳ نوع سیستم
۱۲۱	۲-۶-۳ خطای حالت ماندگار
۱۲۶	۷-۳ اثرات فیدبک بر عملکرد سیستم‌های کنترل
۱۲۶	۱-۳-۷ اثرات فیدبک بر بهره و ثابت زمانی سیستم
۱۲۸	۲-۷-۳ اثر فیدبک بر اغتشاشات خارجی
۱۳۱	۳-۷-۳ اثر فیدبک بر حساسیت سیستم
۱۳۶	۸-۳ تحلیل پایداری
۱۳۷	۱-۸-۳ روش روث
۱۴۴	۲-۸-۳ روش هرویتز

۱۴۶	مسائل
۱۵۸	مراجع فصل سوم
۱۵۹	کتابشناسی
۱۶۱	<b>۴. مکان ریشه</b>
۱۶۲	۱-۴ مقدمه
۱۶۳	۲-۴ رسم ریشه‌های معادله مشخصه
۱۶۶	۳-۴ خواص اساسی مکان ریشه
۱۷۰	۴-۴ قواعد ترسیم مکان ریشه
۱۹۶	۵-۴ نمودارهای مسیرهای ریشه
۲۰۰	مسائل
۲۰۷	مراجع فصل چهارم
۲۰۹	کتابشناسی
۲۱۱	<b>۵. تحلیل پاسخ فرکانسی</b>
۲۱۲	۱-۵ مقدمه
۲۱۶	۲-۵ دیاگرام‌های بود
۲۲۱	۱-۲-۵ ترسیم نمودارهای بود
۲۴۲	۲-۲-۵ مراحل ترسیم دیاگرام‌های بود
۲۴۶	۳-۲-۵ سیستم‌های غیر می‌نیمم فاز
۲۴۸	۴-۲-۵ سیستم‌های تأخیردار
۲۵۱	۵-۲-۵ شناسایی تابع تبدیل سیستم توسط دیاگرام بود
۲۵۶	۳-۵ نمودارهای نایکوئیست
۲۵۸	۱-۳-۵ نمودارهای نایکوئیست سیستم‌های نوع صفر، یک و دو
۲۶۴	۲-۳-۵ نمودار نایکوئیست سیستم‌های تأخیردار
۲۶۶	۳-۳-۵ خلاصه‌ای از قواعد کلی رسم نمودارهای نایکوئیست
۲۶۹	۴-۵ معیار پایداری نایکوئیست
۲۸۳	۵-۵ نمودارهای نایکوئیست معکوس
۱۸۷	۶-۵ اعمال معیار پایداری نایکوئیست به نمودارهای نایکوئیست معکوس
۲۶۳	۷-۵ مقاهم حاشیه‌های بهره و فاز
۲۶۶	۸-۵ چارت نیکولز

۳۰۰	۱-۸-۵ پاسخ فرکانسی حلقه-بسته
۳۰۷	۹-۵ مشخصه‌های عملکرد سیستم براساس پاسخ فرکانسی
۳۱۶	مسائل
۳۲۲	مراجع فصل پنجم
۳۲۴	کتاب شناسی
۳۲۷	<b>۶. روش‌های جبران‌سازی سیستم‌های کنترل</b>
۳۲۸	۱-۶ مقدمه
۳۳۳	۲-۶ انواع جبران سازها
۳۳۴	۱-۲-۶ جبران ساز پیش فاز
۳۳۶	۲-۲-۶ جبران ساز پس فاز
۳۴۰	۳-۲-۶ جبران ساز پس - پیش فاز
۳۴۲	۴-۲-۶ کنترل کننده‌های PD، PI و PID
۳۴۶	۳-۶ طراحی جبران سازها با استفاده از مکان ریشه
۳۴۹	۱-۳-۶ طراحی جبران سازهای پیش فاز با استفاده از مکان ریشه
۳۵۴	۲-۳-۶ طراحی جبران سازهای پس فاز با استفاده از مکان ریشه
۳۶۰	۳-۳-۶ طراحی جبران سازهای پس - پیش فاز با استفاده از مکان ریشه
۳۶۹	۴-۶ طراحی جبران سازها با استفاده از روش پاسخ فرکانسی
۳۷۲	۱-۴-۶ طراحی جبران سازهای پیش فاز با استفاده از روش پاسخ فرکانسی
۳۷۶	۲-۴-۶ طراحی جبران سازهای پس فاز با استفاده از روش پاسخ فرکانسی
۳۸۲	۳-۴-۶ طراحی جبران سازهای پس - پیش فاز با استفاده از روش پاسخ فرکانسی
۳۸۸	۴-۴-۶ جبران سازی با استفاده از چارت نیکولز
۳۹۲	مسائل
۳۹۹	مراجع فصل هفتم
۴۰۰	کتاب شناسی
۴۰۳	<b>۷. تحلیل و طراحی سیستم‌های کنترل در فضای حالت</b>
۴۰۴	۱-۷ مقدمه
۴۰۶	۲-۷ حل معادلات حالت و خروجی
۴۱۲	۳-۷ معادله مشخصه
۴۱۷	۴-۷ کنترل پذیری و رؤیت پذیری

۴۱۷	۱-۴-۷ مفاهیم کنترل پذیری و رؤیت پذیری
۴۲۱	۲-۴-۷ آزمونهای کنترل پذیری و رؤیت پذیری
۴۲۷	۳-۴-۷ کنترل پذیری و رؤیت پذیری در توابع تبدیل
۴۲۹	۵-۷ طراحی سیستمهای کنترل در فضای حالت
۴۳۰	۱-۵-۷ جایابی قطب با فیدبک حالت
۴۳۵	۲-۵-۷ طراحی رؤینگر
۴۳۷	۳-۵-۷ سیستم حلقه - بسته فیدبک حالت با رؤینگر
۴۴۳	مسائل
۴۵۰	مراجع فصل هفتم
۴۵۱	کتاب شناسی
۴۵۲	منابع
۴۵۴	واژه‌نامه فارسی - انگلیسی
۴۶۰	واژه‌نامه انگلیسی - فارسی
۴۶۵	فهرست راهنما

## پیشگفتار

در این کتاب اصول تحلیل و طراحی سیستم‌های کنترل به رشتۀ تحریر درآورده شده است. مخاطبان اصلی کتاب، دانشجویان تمامی رشته‌های مهندسی هستند که برای اولین بار با مفاهیم مهندسی کنترل آشنا خواهند شد. خوشبختانه در طوی چند سال اخیر، کتابهای بسیاری در همین زمینه به فارسی ترجمه و تعداد کمتری تألیف شده‌اند. این کتاب به درخواست گروه برق دانشگاه پیام‌نور تألیف گردید و در چارچوب اهداف تألیف آن، مشخصه‌های خاصی مورد نظر بوده است. از جمله آن مشخصه‌ها، خودآموز بودن آن است. بدین معنی که با پرهیز از مطالب حاشیه‌ای، تنها آن دسته از موضوعاتی که در یک درس سه واحدی کارشناسی مورد نیاز است، با توضیحات و مثال‌های گوناگون حل شده آورده شده‌اند. مسائل متعدد و بسیاری در پایان هر فصل گنجانده شده است که خواننده می‌تواند با حل آنها، مفاهیم طرح شده در فصل را عمیق‌تر درک نماید. مراجع کتاب در دو بخش دسته‌بندی شده‌اند. دسته اول مراجعی هستند که در پایان هر فصل آورده شده است و می‌توان جهت بررسی دقیق‌تر مطالب و همچنین مطالب حاشیه‌ای در ارتباط با مطالب ارائه شده در همان فصل، به آنها مراجعه کرد. دسته دوم، مراجع عمومی هستند که کتابهای درسی مهندسی کنترل را شامل می‌گرد و در ارائه مطالب کتاب از بسیاری از آنها استفاده شده است. همچنین، به منظور وسیعتر کردن دیدگاه‌های خواننده در رابطه با مطالب ارائه شده و مطالب مهمی که در حاشیه آنها وجود دارد، در پایان فصل، بخشی به عنوان کتاب‌شناسی آورده شده است، که مفاهیم تخصصی تر و پیشرفت‌تری در زمینه‌های مطرح شده در فصل در آن آورده شده است.

در تألیف کتاب از ارائه اثبات ریاضی قضاایی مطرح شده خودداری شده است و خواننده علاقه‌مند به پیشینه ریاضی برخی مطالب ارائه شده می‌تواند به کتاب‌شناسی فصل مراجعه نماید.

پیشنباز ریاضی مطالعه کتاب، آشنایی با معادلات دیفرانسیل معمولی، تبدیل لاپلاس؛ نظریه بردارها و ماتریس‌ها است. لیکن، به منظور کم کردن حجم کتاب، از ارائه آنها در ضمیمه‌های مستقل خودداری شده است و خواننده بایستی با این مفاهیم آشنایی داشته باشد. هم‌چنین، آشنایی با نرم‌افزارهای در دسترس تحلیل و طراحی سیستم‌های کنترل بویژه Matlab، برای استفاده بهینه از مطالب کتاب الزامی است. بکارگیری این نرم‌افزارها برای رسم دیاگرام‌های مختلف، انجام طراحیها و بررسی رفتار سیستم‌های حلقه - باز و حلقه - بسته اکیداً توصیه می‌گردد. در ضمن اغلب شبیه‌سازیهای این کتاب با نرم‌افزار Matlab انجام شده است. در ترجیمه لغات سعی شده است که از معادله‌های متدالوں فارسی استفاده گردد و جهت مراجعه سریع در واژه‌گان پایان کتاب این معادله‌ها آورده شده‌اند.

مطالب کتاب در طی هفت فصل مستقل ارایه گردیده‌اند. در آغاز هر فصل نیز اهداف آن جهت اطلاع اجمالی آورده شده است. خواننده در فصل اول با مفاهیم و تعاریف اولیه سیستم‌های کنترل آشنا می‌گردد. فصل دوم به مدلسازی و تماش سیستم‌های کنترل می‌پردازد. فصلهای سوم تا پنجم به تحلیل سیستم‌های کنترل از جنبه‌های گوناگون می‌پردازند. در فصل سوم، تحلیل عملکرد گذرا و ماندگار سیستم‌های کنترل مورد بحث قرار گرفته است. مفاهیم بسیار مهم قطب، صفر، خط، اغتشاش، حساسیت و پایداری در این فصل ارائه شده‌اند. مکان ریشه به عنوان ابزاری قدرتمند در تحلیل و طراحی سیستم‌های کنترل، در فصل چهارم مورد بررسی قرار گرفته است. تحلیل پاسخ فرکانسی، روشی دیگر جهت تحلیل سیستم‌های کنترل است، که با توجه به کاربردهای وسیع آن در تحلیل و طراحی سیستم‌های عملی، بسیار مورد توجه مهندسان کنترل قرار گرفته است. در فصل پنجم سه ابزار مهم دیاگرام‌های بود، نایکوئیست و چارت نیکولز به تفصیل آورده شده است. سیستم‌های تأخیردار، شناسایی سیستم‌های نامعلوم به روش پاسخ فرکانسی، معیار پایداری نایکوئیست، مفاهیم حاشیه بهره و فاز، مشخصه‌های عملکرد بر اساس پاسخ فرکانسی نیز از مطالب ارائه شده در فصل پنجم هستند. فصلهای ششم و هفتم به طراحی سیستم‌های کنترل پرداخته‌اند. فصل ششم، پس از معرفی جبران‌سازهای پس فاز، پیش فاز و پس - پیش فاز به ارائه روشهای طراحی این جبران‌سازها پرداخته است. در روشهای ارائه شده، از مکان ریشه، دیاگرام‌های بود و چارت نیکولز استفاده خواهد شد. در هر بخش، مثالهایی جهت روشنتر نمودن مراحل طراحی گنجانده شده است که به همراه نتایج شبیه‌سازی سیستم‌های حلقه - باز و حلقه -

بسته، مشخصه‌های به دست آمده را روشنتر خواهند نمود. فصل هفتم، تحلیل و طراحی سیستم‌های کنترل در فضای حالت را مورد بررسی قرار داده است. در این فصل، مفاهیم به صورت بسیار کلی و ساده بیان گردیده‌اند و از وارد شدن به مبانی ریاضی آنها اجتناب شده است. مثالهای گوناگونی نیز به منظور نمایش مفاهیم در هر بخش آورده شده است. خواننده می‌تواند بدون ایجاد گستاخی در موضوع، مطالب مربوط به رؤیت پذیری در بخش ۴-۷، طراحی رؤیتگر در بخش ۷-۵-۲ و طراحی سیستم‌های کنترل با رؤیتگر در بخش ۳-۵-۷ را حذف نماید. این مطالب در سرفصل ارائه شده دروس مهندسی کنترل در دوره کارشناسی مهندسی گنجانده نشده‌اند.

در تألیف این کتاب، همکاران بسیاری اینجانب را یاری نموده‌اند که از تمامی آنها تشکر و قدردانی می‌نمایم. بویژه جناب آقای دکتر حسن شناسا استادیار دانشکده فنی و مهندسی دانشگاه گیلان که ویراستاری علمی کتاب را به عهده داشته‌اند و باتدریس متن اولیه آن، نظرات سودمندی در جهت بهبود کیفیت کتاب ارائه نموده‌اند. همچنین آقای مهندس کیان حائری با شبیه‌سازی در پاره‌ای از مثالها و آقای مهندس افضلی در رسم برخی از شکلها، اینجانب را یاری نموده‌اند. همچنین از آقای مهندس نصری و دست‌اندرکاران مرکز نشر دانشگاه پیام‌نور و سرکار خانم شریلو بخاطر تایپ آن، صمیمانه قدردانی می‌کنم. در خاتمه از خانواده خود که در مدت طولانی تألیف این کتاب همواره مشوق و همافرین اینجانب بوده‌اند، کمال تشکر را دارم.

تایستان ۱۳۷۷

علی خاکی صدیق

دانشیار دانشکده برق

دانشگاه صنعتی خواجه نصیرالدین طوسی

# ۱

## آشنایی با سیستم‌های کنترل

اهداف فصل:

- ۱- آشنایی با ایده کنترل: کنترل به معنی عام و کنترل اتوماتیک
- ۲- معرفی سه استراتژی اصلی در سیستم‌های کنترل: کنترل حلقه - باز، کنترل پیش خور و کنترل حلقه - بسته
- ۳- مروری مختصر بر تاریخچه کنترل اتوماتیک
- ۴- معرفی چند سیستم کنترل اتوماتیک مهندسی
- ۵- تعاریف برخی لغات بکار گرفته شده در متن کتاب

## ۱-۱ اصول کنترل

در جامعه صنعتی و پیشرفته امروز سیستم‌های کنترل اتوماتیک جزو لایفکی از زندگی روزمره ما بشمار می‌آیند. اگرچه تاریخچه اولین سیستم کنترل ساخت بشر را به چند صد سال قبل از میلاد نسبت می‌دهند، لیکن مسلم آنست که تحول اساسی در زمینه طراحی و ساخت سیستم‌های کنترل اتوماتیک، با طراحی و ساخت اولین گاورنر توسط جیمزوات در دوران انقلاب صنعتی رخ داده است. امروزه اکثر وسایل خانگی مانند ماشین لباس‌شویی، آبگرمکن، خشککن، توستر، حرارت مرکزی ساختمانها و غیره و یا در اتوبوس‌ها، هواپیماهای مسافربری و جنگنده، کشتیهای بزرگ و کوچک، ربات‌ها، وسایل پیشرفته مهندسی و پژوهشکی و ... همگی از نوعی سیستم کنترل بهره‌مند هستند و عملکرد آنها بدون سیستم کنترل، به کلی مختل و یا بسیار ضعیف می‌گردد.

لغت «کنترل» را مهندسین، حسابدارها، افسران ارتش، مدیران کارخانه‌ها و صنایع، مردمان ورزشی، و بسیاری از افراد دیگر استفاده می‌کنند. اگرچه هر کدام از این افراد با زمینه‌های کاری بسیار متفاوت، در محیط‌های مختلف، با اهداف و وسایل مختلف کار می‌کنند، لیکن همگی آنها به نوعی در محدوده‌های مختلف کاری اعمال کنترل کرده و ایده‌های اولیه این افراد از کنترل مشابهت‌هایی نیز دارد.

مهندسين کنترل، که مخاطبان اصلی این کتاب هستند، به اعمال کنترل در سیستم‌های مهندسی می‌پردازنند. این سیستم‌ها و یا فرایندهای صنعتی می‌توانند موشكهای پیشرفته هدایت شونده، ماشین‌های کاغذ یا شیشه‌سازی، اقمار مصنوعی در فضا، نیروگاههای قدرت، پالایشگاههای نفت، موتورهای الکتریکی (و یا دیزلی)، ربات‌ها، آتن‌های ردیاب و یا بسیاری از ماشین‌ها و فرایندهای دیگر باشند. تفاوت‌های عمده‌ای بین ساختار ایده‌های کنترلی مهندسین کنترل و سایر استفاده کنندگان از ایده کنترل، به طور عام وجود دارد. مهندسین کنترل ایده کنترل را در کنترل فرایندهای صنعتی بکار می‌گیرند. در واقع آنان (برخلاف سایر موارد ذکر شده) خود کنترل کننده یک موشك، قمر مصنوعی و یا پالایشگاه نفت نیستند، بلکه سیستم‌های کنترل اتوماتیکی را طراحی می‌کنند و با اعمال این سیستم‌های طراحی شده، به کنترل سیستم مورد نظر خواهند پرداخت.

قبل از آنکه بتوان کنترل را به هر مفهوم در هر نوع سیستمی اعمال کرد باید یک هدف و

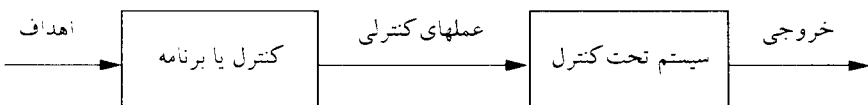
انگیزه مشخص برای اعمال کنترل وجود داشته باشد که ما آنرا مشخصه های عملکرد سیستم می نامیم. برای مثال مدیر کارخانه سعی دارد تا با اعمال یک سری قوانین و برقاری نظمی خاص در کارخانه به تولید بیشتر یا کیفیت بهتر با قیمت ارزانتر برسد. بدینهی است که برای انجام تا با انجام یکسری تمرینات و دستورات، بر تیم مقابله پیروز گردد. بدینهی است که برای انجام این عملیات و اجرای برنامه های مناسب، کنترل کننده باید آزادی عمل کافی در تغییر دادن سیستم تحت کنترل داشته باشد. مدیر کارخانه با ارایه برنامه هایی به قسمتهای مختلف کارخانه انتظار انجام آنها را داشته و مربی ورزشی نیز به ورزشکاران تحت نظر خود دستوراتی را می دهد. باید توجه داشت که تقریباً هیچگاه در عمل آزادی کامل به کنترل کننده داده نمی شود و همواره محدودیتها باید در راه رسیدن به هدف و اجرای برنامه و اعمال کنترل وجود دارد که غیرقابل تغییر می باشند. مدیر کارخانه نمی تواند برای پایین آوردن قیمت از مواد اولیه ایده اال استفاده کند (به دلایل اقتصادی) و یا اینکه به کارگران مزدی پرداخت نکند و یا اینکه ابزار و ماشین آلات مورد نیاز را به طور آنی فراهم آورد، هم چنین مربی ورزشی نمی تواند از ورزشکاران انتظار داشته باشد که تمامی روز را بدون وقفه به انجام تمرینات بگذراند و یا اینکه عکس العملهای خارق العاده ای از خود نشان دهند. تمامی این موارد محدودیتها کنترل را شامل می شود و ماهیت این محدودیتها ممکن است به گونه ای باشند که دسترسی به کلیه اهداف تعیین شده را به طور سریع امکان پذیر نسازد. برای رسیدن به یک کارخانه مطلوب یا تیم ورزشی نمونه با مشخصه های عملکرد داده شده، مدیر کارخانه و یا مربی ورزشی ممکن است که ماهها و یا حتی سالها وقت لازم داشته باشد. هم چنین ممکن است که برآورده کوئی کلیه مشخصات عملکرد نیز امکان پذیر نباشد که در اینصورت باید با بازنگری در اهداف سیستم، آنها را به اهدافی قابل دسترسی تغییر داد.

برای کنترل کننده (مدیر کارخانه یا مربی ورزشی) یا طراح سیستم کنترل (مهندس کنترل) بسیار مهم است که بتواند دنباله حوادث را پس از اعمال یکسری برنامه ها و دستورات پیش بینی کند. با این پیش بینی او قادر خواهد بود که دستورات خود را تعدیان کند و یا برنامه کلی سیستم را در جهت مطلوب تغییر دهد. این پیش بینی با در دست داشتن یک مدل از سیستم که نشان دهنده رفتار آن است، امکان پذیر است. مدلی که مدیر کارخانه از کارخانه خود دارد ممکن است شامل قابلیت مدیران و کارگران، ظرفیت و کیفیت تولید ماشین آلات

کارخانه و ... باشد. مدلی که مربی ورزشی استفاده می‌کند ممکن است شامل آب و هوا و شرایط محیطی برگزاری مسابقه، توانایی افراد تیم خود و تیم مقابله با بررسی بازیهای قبلی آنها و ... باشد. وقت کنید که ممکن است مدلسازی در این موارد ارادی نباشد لیکن کنترل کننده قطعاً به این چنین چارچوبی برای طراحی و برنامه‌ریزی نیاز داشته و آنرا حداقل در ذهن خویش خواهد ساخت.

**سه استراتژی اساسی اعمال کنترل.** سه استراتژی اساسی اعمال کنترل که کلیه روشهای کنترلی به نحوی جزء یکی از آنها هستند، عبارتند از: کنترل حلقه - باز<sup>۱</sup>، کنترل پیش‌خور<sup>۲</sup> و کنترل فیدبک<sup>۳</sup> یا پس‌خور.

**کنترل حلقه - باز.** اگر هدف تعیین شده برای یک مدیر کارخانه بهینه کردن سطح تولید کارخانه تحت نظر او باشد، بر اساس عملکرد گذشته کارخانه و مدلی که از آن در دسترس دارد، یک برنامه معین برای عملیات کارخانه جهت رسیدن به هدف مشخص شده، تعیین می‌کند. این برنامه به صورت دستورات کنترلی به سیستم تحت کنترل (کارخانه و اجزاء آن) اعمال می‌گردد. موقتیت این استراتژی به دقت و صحبت مدل و اطلاعات موجود در رابطه با عملکرد سیستم بستگی دارد و کنترل کننده فرض می‌کند که عوامل خارجی اثر چندانی بر عملکرد سیستم ندارند و هیچگونه بررسی در حین عمل از رفتار سیستم به عمل نمی‌آورد. اساس این استراتژی در شکل ۱-۱ نشان داده شده است.



شکل ۱-۱ کنترل حلقه - باز

استراتژی کنترل که در آن خروجی هیچ نقشی بروی عمل کنترل ندارد، سیستم کنترل حلقه - باز نامیده می‌شود. به عبارت دیگر، در کنترل حلقه - باز خروجی سیستم (تولید کارخانه، بازی

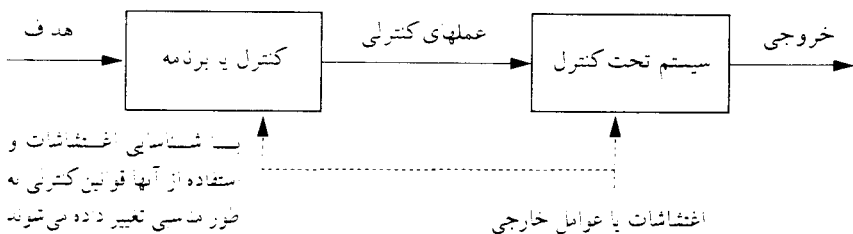
1- Open-loop control

2- Feedforward control

3- Feedback control

بازیگان و نتیجه آن) برای مقایسه با اهداف و مشخصه‌های مطلوب عملکرد داده شده به کار گرفته نمی‌شود.

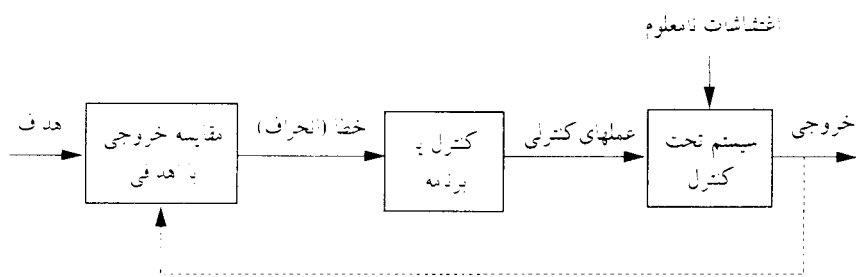
**کنترل پیش‌خور.** بدینهی است اگر عوامل خارجی بر سیستم تحت کنترل اثر قابل توجهی داشته باشد، نادیده گرفتن آنها توسط کنترل کننده، به اختلال در عملکرد سیستم منجر می‌گردد. ممکن است در شرایط خاصی، بتوانیم این عوامل خارجی را از بین برده و یا آنها را تضعیف کنیم، در غیر اینصورت برای اجتناب از اختلال در عملکرد سیستم، باید استراتژی کنترل را عوض کنیم. در واقع با تغییر و بهبود مدل، اثر این عوامل خارجی یا اغتشاشات را پیش‌بینی می‌کنیم و با در نظر گرفتن آنها قوانین کنترلی را مجدداً بررسی می‌نماییم. در این بررسیها، فرامین کنترل به گونه‌ای طراحی خواهند شد تا اثر این اغتشاشات را به حداقل برسانند. به این چنین استراتژی کنترلی که در آن عوامل خارجی در نظر گرفته شده، و اعمال کنترلی برای مقابله با آنها طراحی می‌شوند، کنترل پیش‌خور گفته می‌شود. شکل ۲-۱ نحوه عملیات در استراتژی کنترل پیش‌خور را نشان می‌دهد.



شکل ۲-۱ کنترل پیش‌خور

**کنترل فیدبک یا کنترل حلقه - بسته.** کنترل پیش‌خور تنها در صورتی یک استراتژی کنترل کننده عملی است که اغتشاشات کم و یا معینی وجود داشته باشد و بتوان آنها را براحتی اندازه گرفت. لیکن اگر تعداد اغتشاشات بسیار زیاد و یا اینکه زمان وقوع و ماهیت آنها نامعلوم باشد، آنگاه از استراتژی کنترل پیش‌خور نمی‌توان استفاده کرد. در این حالت از استراتژی سوم کنترل استفاده می‌شود. در این استراتژی با مشاهده خروجی، انحراف رفتار کلی سیستم از رفتار مطلوب (مشخصه‌های عملکرد تعیین شده یا اهداف سیستم) را در نظر گرفته برای اصلاح این انحراف عمل می‌نماییم. اساس این استراتژی در شکل ۳-۱ نشان داده شده

است. دقت کنید که در اینجا نیز اختشاشات خارجی وجود دارند و بر رفتار سیستم اثر می‌گذارند. اگر خروجی سیستم با مشخصه‌ها و اهداف تعیین شده مطابقت نداشته باشد، خطای بوجود می‌آید و این خطای انحراف به سیستم کنترل اعمال می‌گردد و سیستم کنترل با توجه به خطای فرمان کنترلی مناسبی را صادر می‌کند. همانطور که در شکل ۳-۱ مشاهده می‌گردد در این سیستم کنترل خروجی سیستم اندازه‌گیری شده و توسط یک مقایسه کننده با اهداف سیستم یا مشخصه‌های عملکرد تعیین شده مقایسه می‌گردد. خطای ایجاد شده از این مقایسه به سیستم کنترل برای صدور فرامین کنترلی مناسب، اعمال می‌گردد. به عنوان مثال، مدیر کارخانه می‌تواند دائمًا مقدار تولید را اندازه‌گرفته و با میزان مطلوب مقایسه نماید و در صورتیکه بیشتر و یا کمتر از میزان مطلوب باشد، بر اساس آن دستورات لازم را جهت تصحیح خطای ایجاد شده صادر نماید.



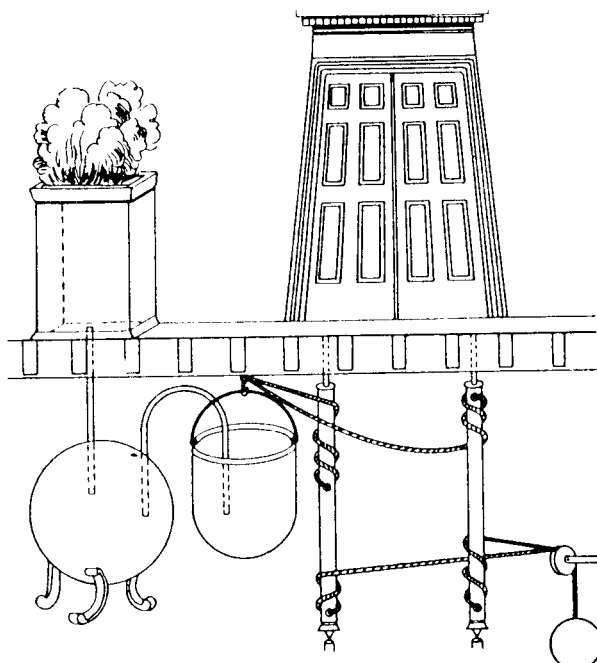
شکل ۳-۱ کنترل فیدبک پ- حلقه - بسته

عبارت کنترل فیدبک برای توصیف این استراتژی به کار گرفته می‌شود. در کنترل فیدبک فرامین کنترلی اعمال شده به سیستم براساس مقدار و میزان خطای موجود در پاسخ سیستم محاسبه می‌شوند. بدین معنی که پس از مشاهده و اندازه‌گیری خروجی سیستم، این خروجی با مقدار مطلوب آن مقایسه می‌گردد و اختلاف به سیستم کنترل ارایه می‌شود، به جای عبارت کنترل فیدبک از عبارت کنترل حلقه - بسته<sup>۱</sup> نیز استفاده می‌شود. (عبارت حلقه - بسته در مقابل عبارت حلقه - باز بکار گرفته می‌شود).

توجه کنید که در استراتژی کنترل حلقه - بسته (برخلاف کنترل حلقه - باز و پیش خور)، اطلاع از یک مدل کاملاً دقیق از سیستم الزامی نیست. زیرا خطاهای ایجاد شده در خروجی سیستم تحت کنترل بدليل اطلاعات ناکافی از مدل سیستم، با تصحیح کنترل کننده کاهش پیدا می‌کنند (همانند موقعیکه سیستم تحت اختشاش قرار گیرد).

## ۱-۲ تاریخچه مختصر کنترل اتوماتیک

در رابطه با اولین سیستم کنترل اتوماتیک و یا طراح آن اطلاع دقیقی در دست نیست و در واقع با کندوکاو در زوایای تاریخ علم نمی‌توان شخص یا اشخاصی را پیدا کرد که بتوان پیدايش اولین سیستم کنترل را منسوب به آنها دانست. لیکن آنچه که مسلم است، اولین مثالهای عملی از سیستم‌های کنترل به سالهای قبل از میلاد مسیح بر می‌گردد. به عنوان نمونه یکی از اولین سیستم‌های کنترل حلقه - باز، برای باز کردن دربهای یک معبد بوده است. این سیستم کنترل باز کردن اتوماتیک درب، در شکل ۱-۴ نشان داده شده است. ورودی به سیستم همانظر که از



شکل ۱-۴ اولین سیستم کنترل برای باز کردن دربهای معبد

شکل ۴-۱ مشاهده می شود، روشن کردن آتشی بروی محراب بوده است. با گرم شدن هوای زیر آتش، هوای به حرکت درآمده آب را از مخزن به داخل سطحی هدایت می کرده است. با سنگین شدن سطل و حرکت آن به طرف پایین، توسط طبابهایی که به اهرم‌هایی وصل شده بودند، وزنه طرف مقابل به سمت بالا به حرکت درمی آمده است. به همین ترتیب می توان با خاموش کردن آتش، دربهای معبد را بست. با کم کردن آتش و سردهتر شدن هوای داخل مخزن، فشار هوکاهاش پیدا می کند و آب از سطل به داخل مخزن منتقل می شود. بنابراین، سطل سبکتر شده و با سنگین‌تر بودن وزنه مخالف به سمت پایین حرکت می کند، که خود باعث بسته شدن دربهای می گردد. به نظر می رسد که با پایین آمدن حاکم معبد و حرکت به سوی دربهای این دربهای طور خودکار (با سیستم کنترلی بدور از چشم حاضران) باز و بسته می شدند و لذا برای آنان تجلی از قدرت خدایانشان بوده است!

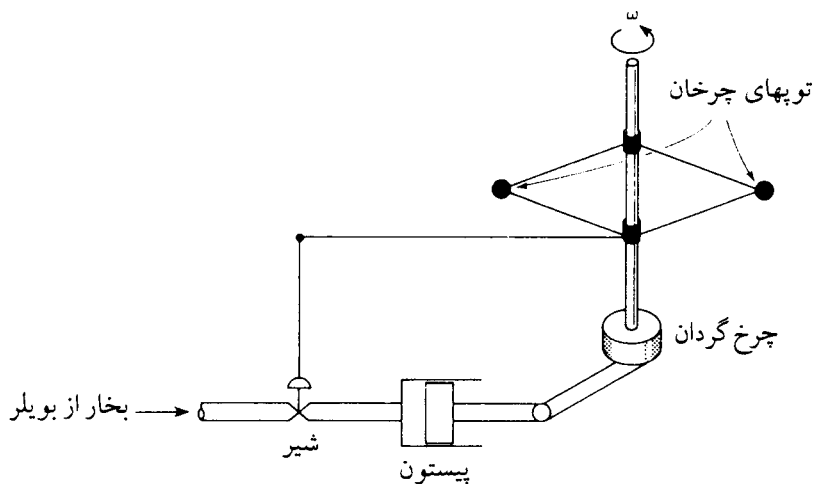
در بین سالهای ۱۷۶۷ تا ۱۷۸۸ (تاریخ دقیق آن معلوم نیست)، جیمز وات اولین سیستم کنترل اتوماتیک (بدون دخالت بشر) را برای کنترل سرعت اختراع کرد. این سیستم را گاورنر توب گردان<sup>۱</sup> جیمز وات<sup>۲</sup> می نامند. گاورنر توب گردان جیمزوات در شکل ۵-۱ نشان داده شده است. هدف این سیستم کنترل، ثابت نگه داشتن سرعت چرخش است. ایده کلی این سیستم کنترل بدین ترتیب است که با چرخش توپهای گردان، مقدار ورودی بخار به سیستم توسط شیر نشان داده شده در شکل ۵-۱ تعیین می گردد. در واقع هر چه این توپها سریعتر بچرخند، بخار کمتری وارد سیستم می گردد. همچنین و به طور همزمان نرخ فشار بخار به روی پیستون و چرخ گردان سرعت چرخش توپها را تعیین می کند. یکی از اشکالات فراوان این سیستم نوسانات سرعت چرخشی آن حول یک مقدار نامی سرعت است. در حدود سالهای ۱۸۶۸ ماکسول<sup>۳</sup> با پایه ریزی یک چارچوب نظری برای تحلیل سیستم، توانست با بکارگیری نظریه معادلات دیفرانسیل پایداری سیستم گاورنر جیمزوات را بررسی و دلایل نوسانات داخل سیستم را بر حسب عبارات ریاضی بخوبی بیان دارد. بدنبال مطالعات ماکسول یک مهندس روسی به نام ویشنگرادسکی<sup>۴</sup> پاسخ دقیقتری را برای پایداری یک گاورنر توب گردان درجه سوم ارایه کرد. از اولین کاربردهای تئوریهای توسعه یافته کنترل

1- Flyball governer

2- James watt

3- Maxwell

4- Wischnegradsky



شکل ۵-۱ گاورنر توب گردان جیمزوات

می‌توان از بکارگیری آنها برای مطالعه هدایت اتوماتیک کشتی توسط مینورسکی<sup>۱</sup> در سال ۱۹۲۲ نامبرد.

دهه‌های ۱۹۲۰ و ۱۹۳۰ شاهد توسعه چشمگیر در زمینه کنترل اتوماتیک بوده است. این پیشرفتها بطور عمده در سایه ارتباط دادن علوم مخابرات و الکترونیک با کنترل اتوماتیک حاصل گردید. از افراد شاخص این زمانها می‌توان از هوی ساید<sup>۲</sup> در دهه ۱۹۲۰ و نایکوئیست<sup>۳</sup> در دهه ۱۹۳۰ نامبرد. هوی ساید توансست با ادامه مطالعات تئوری یک قرن پیش لابلس و فوریه، ابزار ریاضی مناسب را برای مطالعه سیستم‌های مخابراتی توسعه دهد و واحد بسیار مهم لگاریتمی را برای اهداف مهندسی بکار گیرد. نایکوئیست نیز که یک فیزیکدان به شمار می‌آمد، پس از مطالعات فراوان در رابطه با پدیده نویز به مسئله پایداری در آمپلی فایرها تکرار کننده<sup>۴</sup> پرداخت و موفق شد که با استفاده از نظریه آنالیز مختلط، یکی از معترضین روشهای بررسی پایداری را پایه گذاری کند.

1- Minorsky

2- Heaviside

3- Nyquist

4- Repeater

در سال ۱۹۳۴، هیزن<sup>۱</sup> مقاله‌ای تحت عنوان "نظریه سرومکانیزم‌ها" در مجله انتستیتوی فرنکلین منتشر شد و این اولین استفاده از لغت سرومکانیزم<sup>۲</sup> بود که بعدها برای توصیف بسیاری از سیستم‌های کنترل فیدبک بکار گرفته شد. می‌توان گفت که مقاله هیزن<sup>۳</sup> غازی برای مطالعه بسیار جدی در این زمینه جدید مهندسی بود. لغت سرومکانیزم از دو لغت خدمتکار (یا برد) و مکانیزم مشتق شده است و لذا سرومکانیزم یک مکانیزم برد مانند را تلقی می‌کند.

جنگ دوم جهانی زمینه بسیار مناسب را برای پیشرفت‌های بسیاری در زمینه مهندسی کنترل اتوماتیک ماده کرد. در این دوران با صرف هزینه‌های بسیار زیاد بر روی پروژه‌های نظامی مانند ردیابی آتش، کنترل توب ضد هوایپما و اتوپایوت‌های پیشرفت‌ههای برای هوایپیماهای جنگی به شکوفایی مهندسی کنترل کمک بسیار زیادی شد. زیرا در این پروژه‌ها، سیستم کنترل طراحی شده می‌باشد سرعت و دقیقت را به عنوان دو مشخصه عمنکرد پاسخ، به خوبی برآورده سازد. البته در بین سالهای ۱۹۴۵ تا ۱۹۴۰ بسیاری از پیشرفت‌های چشمگیر بدست مده در زمینه کنترل اتوماتیک بدليل ماهیت نظامی تحقیقات انجام شده محرومانه تلقی می‌شوند و در دسترس عموم محققین در این زمینه قرار نمی‌گرفتند. در سالهای بعد از جنگ و برداشتن مقررات امنیتی دوران جنگ، حجم وسیعی از اطلاعات در اختیار دانشمندان این رشته قرار گرفت و دستاوردهای بسیار زیادی نیز در این زمینه بدست مده. از سال ۱۹۴۵ تا کنون در کمی بیش از نیم قرن، صدها کتاب و هزاران مقاله و گزارش‌های فنی در این زمینه نوشته شده است. همچنین سیستم‌های کنترل به بسیاری از سیستم‌های صنعتی با ماهیتها و کاربردهای فوق العاده متفاوت با موقفيت اعمال گردیده‌اند.

تا قبل از سالهای دهه ۱۹۶۰ (سالهای ۱۹۳۵ تا اوخر ۱۹۵۰) روش‌های اصیل در تحلیل و طراحی سیستم‌های کنترل، روش‌های پاسخ فرکانسی مانند بود<sup>۴</sup> و روش‌های تبدیل لاپلاس همراه با روش مکان ریشه توسعه ایوانز<sup>۵</sup> بودند. در سالهای ۱۹۶۰ به بعد با پیشرفت‌های حاصله در پروژه پولو و مسافرت به کره ماه، روش‌های مدرن فضای حالت که توسعه کالمان<sup>۶</sup>، باسی<sup>۷</sup> و چند نفر دیگر معرفی گردیده بودند، با موقفيت در چندین پروژه، به کار گرفته شدند. این تاریخ تولد کنترل مدرن<sup>۸</sup> را رقم می‌زند. با توسعه سریع در طراحی و ساخت کامپیوترهای بزرگ، بسیاری

۱- Hazen

2- Servomechanism

3- Bode

4- Evans

5- Kalman

6- Bucy

7- Modern control

از محاسبات که تا آن زمان انجام آنها غیرممکن به نظر می‌رسید، با این کامپیووترها سادگی انجام داده می‌شدند. در این دهه روشها و الگوریتمهای پیچیده و مشکل بهینه‌سازی به کمک همین کامپیووترها پیشرفت شایانی نمودند.

دهه ۱۹۷۰ شاهد پیشرفت‌های بیشتری در زمینه کامپیووتر با معرفی میکروپروسسورها بود. توسط میکروپروسسورها اعمال تکنیک‌های بسیار پیچیده کنترلی به سادگی و ارزانی امکان‌پذیر گشت. کنترل دیجیتال<sup>۱</sup> و سیستم‌های کنترل دیجیتال مستقیم<sup>۲</sup> در این دوران رونق فراوانی پیدا کردند. دهه‌های ۱۹۷۰ به بعد، شاهد پیشرفت‌های بسیار زیادی در زمینه نظریه سیستم‌های کنترل چند متغیره<sup>۳</sup>، کنترل تطبیقی<sup>۴</sup>، کنترل مقاوم<sup>۵</sup>، کنترل هوشمند<sup>۶</sup> و غیره نیز بوده است.

### ۱- چند مثال عملی از سیستم‌های کنترل

در این بخش چند مثال عملی از کاربرد سیستم‌های کنترل در قسمتهای مختلف صنعت ارایه می‌شود.

آنتن‌های ردیاب. در صنعت مخابرات آنتن‌هایی وجود دارند که توسط یک ماهواره با هم در ارتباط می‌باشند. داده‌های مختلف، همانطور که در شکل ۱-۶ نشان داده شده است، از یک آنتن فرستاده شده و توسط آنتن دیگری دریافت می‌گردد. ماهواره سیگنانالی را که حاوی آندها است از یک آنتن دریافت کرده و آن را به آنتن دیگری که در نقطه دیگری روی زمین قرار دارد ارسال می‌کند. برای برقراری و تداوم این ارتباط زادیویی، دو آنتن مستقر بروی زمین همواره باید به سمت قمر مصنوعی قرار گرفته باشند و برای این کار بکارگیری یک سیستم کنترل مؤثر الزامی است. مسئله کنترل در این حالت حرکت دادن دقیق آنتن به طرف جبهت و زاویه مناسب است. شکل ۱-۷-۱ یک آنتن ماهواره مخابراتی را نشان می‌دهد. حرکتهای چرخشی این آنتن به طرف بالا یا پایین یا چرخش حول محور عمود بر زمین است. برای

1- Digital control

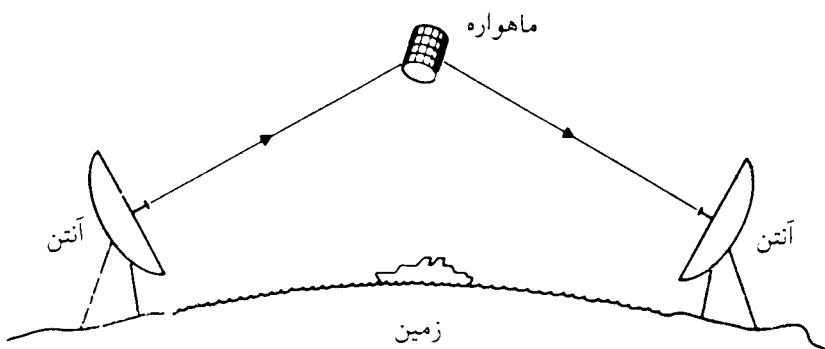
2- Direct digital control

3- Multivariable control

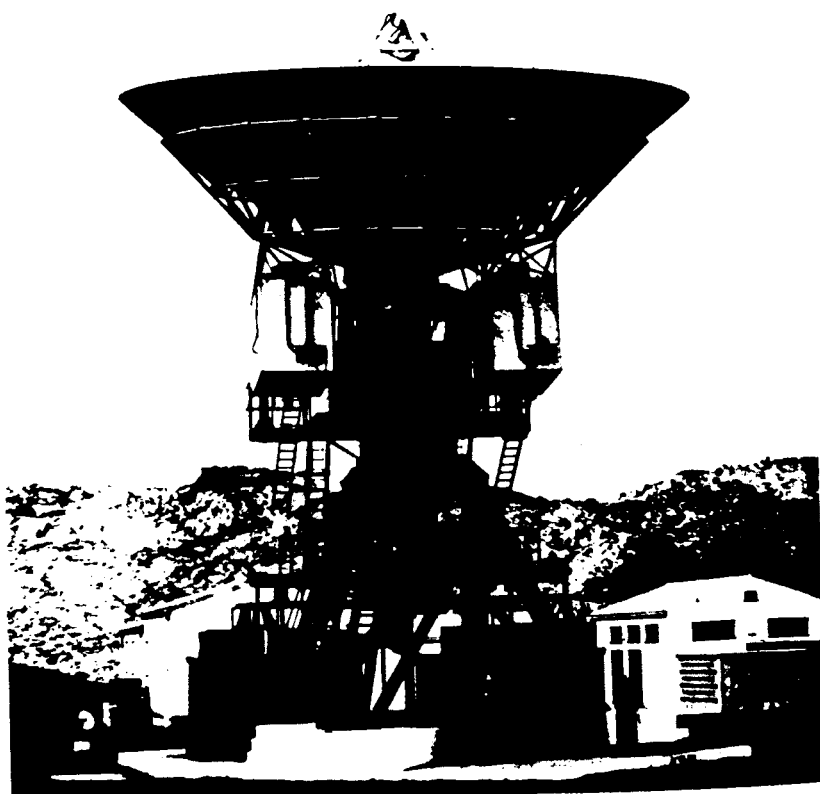
4- Adaptive control

5- Robust control

6- Intelligent control

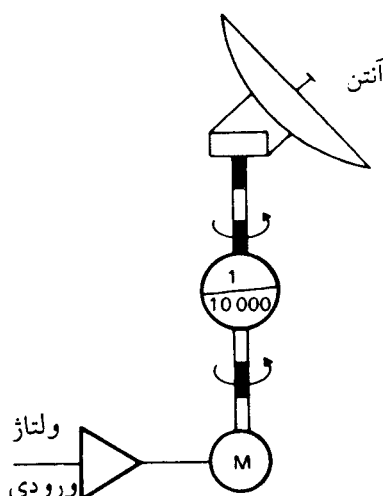


شکل ۱-۶ ارتباط دو آنتن برای ارسال و دریافت داده توسط یک ماهواره.



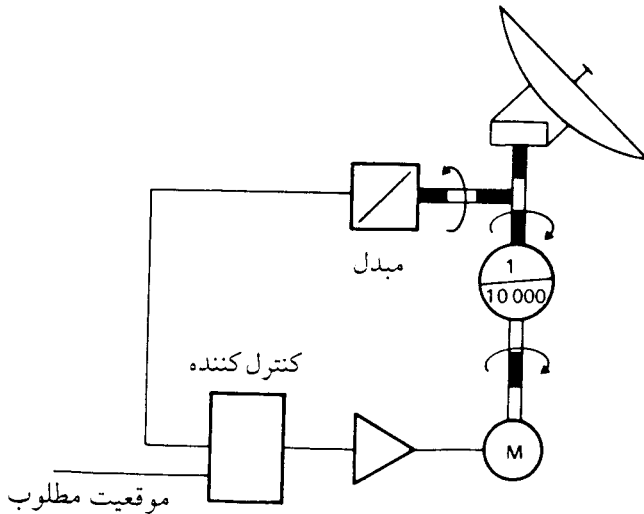
شکل ۱-۷ یک آنتن ماهواره مخابراتی

هر کدام از این دو حرکت یک سیستم کنترل وجود دارد. سیستم‌های کنترل موجود در آتن بسیار شبیه به هم عمل می‌کنند و لذا در اینجا تنها به بررسی یکی از این سیستم‌ها می‌پردازیم. محرک، یا وسیله‌ای که آتن را می‌چرخاند یک موتور الکتریکی است که در شکل ۸-۱ با یک دایره که در وسط آن حرف M نوشته شده نشان داده شده است. شفت موتور با یک خط را دراه نشان داده شده است و پیکان روی آن جهت حرکت چرخش را نشان می‌دهد. شفت موتور یک جعبه دنده که به صورت دایره دوم رسم شده است را به حرکت در می‌آورد. نسبت دنده ۱۰۰۰۰ به ۱ بر روی آن نشان داده شده است. شفت بعد از جعبه دنده، باعث چرخش آتن می‌شود. قدرت محرکه موتور از یک تقویت‌کننده قدرت الکتریکی تأمین می‌شود که با یک مثلث نشان داده شده است. ولتاژ اعمال شده به ورودی تقویت‌کننده قدرت باعث چرخش آتن حول محور افقی می‌شود. بدینهی است که آتن باید در برابر تغییرات ایجاد شده توسط جریان باد همواره به سمت ماهواره نشانه رود و از این‌رو کنترل حلقه - باز برای این سیستم مناسب نیست. یک سیستم کنترل حلقه - بسته برای کنترل موقعیت چرخشی آتن در شکل ۹-۱ نشان داده شده است. یک مبدل موقعیت بر روی آتن برای اندازه‌گیری موقعیت خروجی  $\theta_0$  که جهت افقی آتن بوده، سوار شده است. مبدل موقعیت چرخشی با یک بلوك مربعی در



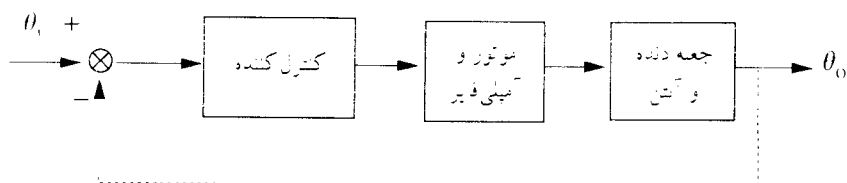
شکل ۸-۱ دیاگرام سیستم محرک آتن

سمت چپ شفت محرك آنتن نشان داده شده است. سистем کنترل نيز در شکل ۹-۱ آورده شده است.



شکل ۹-۱ سیستم حلقه - بسته آنتن

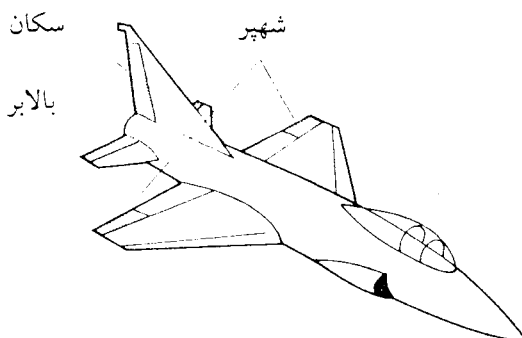
خروجی مبدل، ولتاژی متناسب با زاویه افقی  $\theta_0$  است. ولتاژ به بلوک کنترل پس از مقایسه با زاویه مطلوب  $\theta_0$  ارسال می‌گردد. در صورتیکه خطای موقعیت بین  $\theta_0$  و  $\theta_1$  وجود داشته باشد، یک ولتاژ خطا متناسب با تفاضل  $(\theta_1 - \theta_0)$  توسط یک مقایسه کننده تولید می‌گردد. براساس این ولتاژ خطا، فرآیند کنترلی از سیستم کنترل ارسال می‌گردد که با ایجاد گشتاوری برای کاهش خطا، آنتن را در جهت مناسب به چرخش درمی آورد. دیگرام بلوکی سیستم کنترل موقعیت آنتن در شکل ۱۰-۱ نشان داده شده است.



شکل ۱۰-۱ دیگرام بلوکی سیستم کنترل ردیب موقعیت.

کنترل پرواز هواپیما. شکل ۱۱-۱ یک هواپیما و سطوح کنترلی آن را نشان می‌دهد. سطوح کنترل یک هواپیما همانطور که در شکل ۱۱-۱ نشان داده شده‌اند، عبارتند از بالابر<sup>۲</sup>، شهپر<sup>۳</sup> و سکان<sup>۴</sup>. این سطوح نیروها و ممانهای لازم را جهت حرکت در آوردن هواپیما در جهتهای مورد نظر خلبان، فراهم می‌کنند. در واقع بالابر حرکت فراز<sup>۵</sup> (حرکت به طرف بالا یا پایین در طول محور افقی هواپیما)، شهپر حرکت چرخشی و سکان حرکت به طرف زاویه راست و یا چپ هواپیما را تولید می‌کند. کنترل چهارمی که در این نوع هواپیماها بکار گرفته می‌شود، تغییر در پیشرانه<sup>۶</sup> است که از موتورهای هواپیما بدست می‌آید. بدیهی است که برای کنترل پرواز یک هواپیما، کلیه این امکانات کنترلی بکار گرفته می‌شوند و در جنگکده‌های پیشرفته‌تر سطوح کنترلی دیگری نیز به آنها افزوده شده‌اند. پرواز دقیق و مطمئن یک هواپیما بستگی کامل به دقت و کارایی سیستم کنترل آن دارد و در صورت از کار افتادن یک یا چند ابزار کنترلی، پرواز هواپیما بسیار مشکل و خطروناک خواهد بود.

علاوه بر سطوح کنترلی که برای هدایت هواپیما از آنها استفاده می‌شود، کلیه هواپیماها سنسورهای حرکتی دارند که مقیاسی از تغییرات در متغیرهای حرکت که در اثر عوامل مختلفی ایجاد می‌شوند را فراهم می‌آورند. سیگنال‌های این سنسورها توسط یک واحد نمایش در



شکل ۱۱-۱ هواپیما با سطوح کنترلی آن

1- Control surfaces

2- Elevator

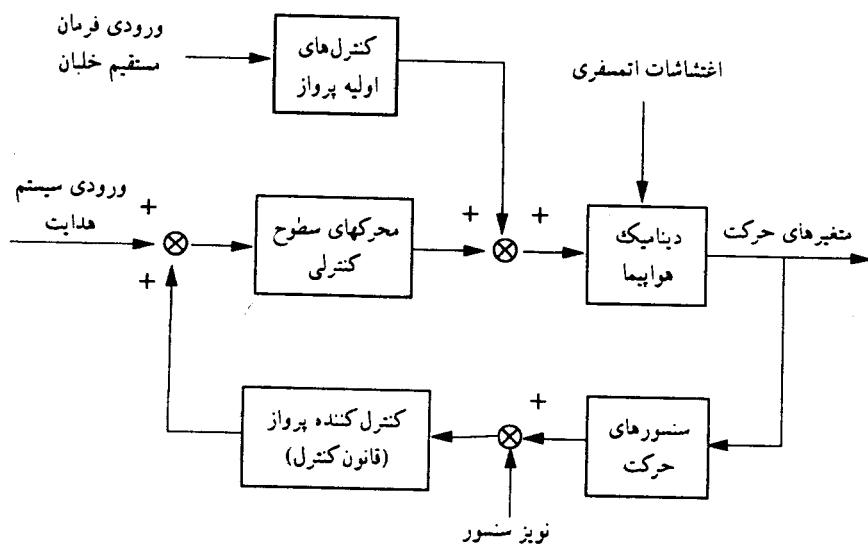
3- Aileron

4- Rudder

5- Pitch

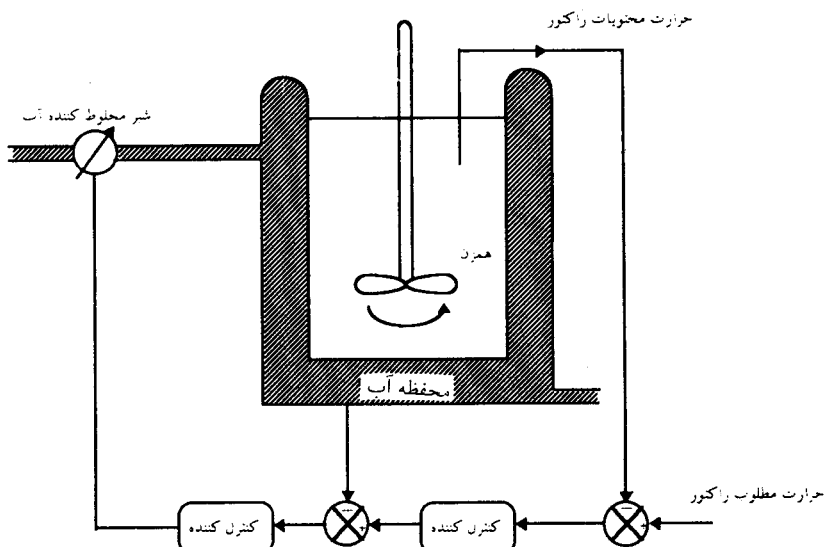
6- Thrust

اختیار خلبان گذاشته شده است و از طرف دیگر به سیستم کنترل پرواز فیدبک می‌شوند. ساختار کلی یک سیستم کنترل پرواز در شکل ۱۲-۱ نشان داده شده است. هدف کنترل کننده، مقایسه حرکت دستور داده شده (حرکت مورد نظر خلبان) با حرکت اندازه‌گیری شده است. در صورت بروز خطا، دستور کنترلی لازم توسط کنترل کننده برای تصویح خطای ایجاد شده صادر می‌گردد. فرامین کنترلی با ارسال سیگنال‌های فرمان به محرکها، باعث انحرافاتی در سطوح کنترلی شده که خود موجب اعمال نیرو یا ممان کنترلی مناسب می‌شوند. لذا با تولید این نیرو یا ممان کنترلی، هواپیما بر مسیر صحیح و مطلوب حرکتی قرار خواهد گرفت. مسئله مورد بررسی در این کتاب علاوه بر تحلیل سیستم، طراحی کنترل کننده نشان داده شده در شکل ۱۲-۱ می‌باشد.



شکل ۱۲-۱ ساختار کلی یک سیستم کنترل پرواز

کنترل درجه حرارت یک راکتور حفاظت‌دار. شکل ۱۳-۱ یک راکتور را نمایش می‌دهد که برای کنترل درجه حرارت محتویات آن، از یک پوشش محتوی آب گرم استفاده می‌شود. اگرچه با اندازه‌گیری درجه حرارت داخل راکتور و پس خواراندن مستقیم آن می‌توان با



شکل ۱۲-۱ کنترل درجه حرارت راکتور

یک کنترل کننده، شیر آب گرم ورودی به حفاظ دربرگرفته راکتور را کنترل کرد، لیکن با اعمال دو حلقة کنترل به صورت نشان داده شده در شکل ۱۲-۱ می‌توان در عمل کنترل بهتری بدست آورد. درجه حرارت حفاظ پوششی راکتور در یک حلقة داخلی کنترل می‌شود. مقدار مطلوب درجه حرارت این محفظه، خروجی کنترل کننده اول می‌باشد. ورودی کنترل کننده اول نیز خطای ایجاد شده از مقایسه درجه حرارت مطلوب راکتور و درجه حرارت محتویات آن می‌باشد. برای مؤثر بودن سیستم کنترلی آرایه شده، پاسخ محفظه دربرگرفته راکتور در مقایسه با پاسخ محتویات راکتور به تغییرات و تنظیمهای کنترلی، باید بسیار سریعتر باشد. با تنظیم کنترل کننده دوم هرگونه خطای ایجاد شده بین درجه حرارت محفظه و درجه حرارت مطلوب آن به سرعت با اجرای فرامین کنترلی مناسب توسط شیر کنترلی با کم و زیاد کردن ورودی آب گرم به درون محفظه از بین خواهد رفت. وظیفه کنترل کننده اول نیز صفر کردن خطای ایجاد شده بین درجه حرارت مطلوب و درجه حرارت راکتور از طریق تعیین یک ورودی مطلوب برای کنترل کننده دوم است.

## ۴-۱ تعاریف

در این بخش برخی از تعاریف و اصطلاحات را که در مطالعه سیستم‌های کنترل به آنها برخوردهای داشت، جهت مراجعه سریع خواننده ارایه می‌کنیم (شکل ۱۴-۱ را ببینید).

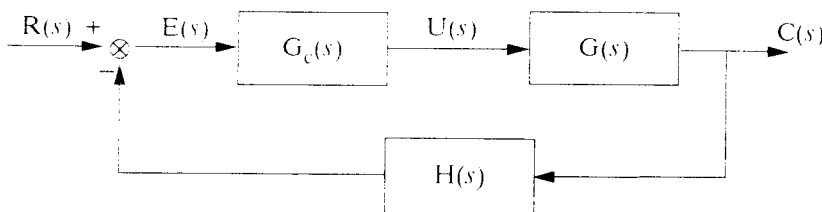
سیستم، مجموعه‌ای از عناصر است که با هم عمل می‌کنند تا کار معینی را انجام دهند به طوریکه انجام این کار توسط هیچکدام از عناصر به تنها یک امکان پذیر نباشد. سیستم تحت کنترل ( $G(s)$ ) را دستگاه<sup>۱</sup> یا فرایند<sup>۲</sup> نامیده و در این کتاب با عنوان سیستم، نامیده شده است.

ورودی مرجع ( $R(s)$ ) که نقطه نشانده<sup>۳</sup> یا خروجی مطلوب<sup>۴</sup> نیز نامیده می‌شود، نشان دهنده پاسخ مطلوب سیستم است. به عبارت دیگر هدف یا مشخصه عملکرد مطلوب سیستم موقعی برآورده می‌گردد که خروجی سیستم به این مقدار برسد.

خروجی سیستم، خروجی سیستم ( $C(s)$ ) که خروجی کنترل شده<sup>۵</sup> نیز نامیده می‌شود، سیگنالی است که از سیستم تحت کنترل بدست می‌آید و مایل به اندازه‌گیری و کنترل آن می‌باشیم. خروجی در حقیقت پاسخ واقعی سیستم در هر واحد زمانی است.

خطای سیستم، سیگنال خطای ( $E(s)$ )، تفاوت بین خروجی مطلوب سیستم (ورودی مرجع) و خروجی واقعی آن است. در شکل ۱۴-۱،  $E(s) = R(s) - C(s)$  تعریف می‌شود.

کنترل کننده ( $G_c(s)$ ) عنصری است که برای تعیین سیگنال کنترلی مناسب جهت اعمال به سیستم بکار گرفته می‌شود.



شکل ۱۴-۱ یک سیستم کنترل

- |                      |                   |
|----------------------|-------------------|
| 1- Plant             | 2- Process        |
| 3- Set-point         | 4- Desired output |
| 5- Controlled output |                   |

عنصر فیدبک. عنصری است که در مسیر خروجی به مقایسه کننده قرار می‌گیرد. اگر  $H(s) = 1$  باشد، سیستم را حلقه - بسته با فیدبک واحد می‌نامند. اگر  $H(s) \neq 1$  باشد، سیستم حلقه - بسته با فیدبک غیر واحد خواهد بود. در این حالت خطای سیستم تفاضل ورودی مرجع و خروجی واقعی سیستم است و نه تفاضل خروجی عنصر فیدبک و ورودی مرجع. ورودی کنترل. ورودی کنترل  $(s)U$  که عمار کنترلی<sup>۱</sup> یا سیگنال کنترلی<sup>۲</sup> نیز نامیده می‌شود، خروجی سیستم کنترل و ورودی اعمال شده به سیستم تحت کنترل است. مسیر پیشرو. مسیر از سیگنال خطای  $E(s)$  تا خروجی  $C(s)$  را مسیر پیشرو می‌نامند و  $G_c(s)$  را شامل می‌گردد.

مسیر فیدبک. مسیری از خروجی است که از  $H(s)$  عبور می‌کند. اغتشاش یا نویز. سیگنال اغتشاش<sup>۳</sup> یا نویز، یک سیگنال ورودی به سیستم است که در هر نقطه‌ای بجز ورودی مرجع می‌تواند وارد سیستم گردد و اثر نامعینی بر روی عملکرد طبیعی سیستم بگذارد.

سیستم خطی و سیستم غیر خطی. سیستم خطی سیستمی است که اصل جمع آثار<sup>۴</sup> در آن صادق باشد. اصل جمع آثار بیان می‌دارد که خروجی یک سیستم خطی  $y(t)$  ناشی از ورودیهای مختلف مانند  $x_1(t), x_2(t), \dots, x_n(t)$  که همزمان عمل می‌کنند، برابر با مجموع پاسخها بر اثر عمل کردن هر ورودی به تنهایی است. به عبارت دیگر اگر  $y(t)$  پاسخ ناشی شده از  $x_i(t)$  باشد، آنگاه

$$y(t) = \sum_{i=1}^n y_i(t)$$

سیستمی را غیر خطی<sup>۵</sup> گویند که اصل جمع آثار در آن صادق نیست. تقریباً اکثریت سیستمهای بجز سیستم‌های ساده، در عمل غیر خطی هستند. لیکن این سیستم‌ها را عموماً می‌توان در حول یک نقطه کار معین خطی کرد و از مدل خطی شده برای تحلیل و طراحی سیستم در گسترهٔ خطی استفاده نمود.

1- Control action

2- Control signal

3- Disturbance signal

4- Superposition principle

5- Nonlinear

سیستم تغییر ناپذیر با زمان و تغییر پذیر با زمان. سیستم تغییر ناپذیر با زمان<sup>۱</sup> سیستمی است که در آن پارامترها و مشخصه‌های سیستم با زمان تغییر پیدا نمی‌کنند و حال آنکه در سیستم تغییر پذیر با زمان<sup>۲</sup>، پارامترها و مشخصه‌های سیستم با زمان تغییر پیدا می‌کنند. سیستم زمان - پیوسته و سیستم زمان - گسته. سیستم زمان - پیوسته<sup>۳</sup> سیستمی است که در آن سیگنال‌ها، تابع پیوسته‌ای از زمان می‌باشند. سیستم زمان - گسته<sup>۴</sup> سیستمی است که در آن سیگنال‌ها به صورت گسته، پالسی ظاهر شده و به عبارت دیگر سیگنال‌ها برخلاف حالت پیوسته تنها در لحظه‌های مختلف زمانی مقدار پیدا می‌کنند.

سرومکانیزم. به آن از دسته سیستم‌های مکانیکی اطلاق می‌شود که در آنها خطاًی حالت - ماندگار برای یک سیگنال ثابت ورودی صفر است. به عبارت دیگر در سیستم‌های سرو<sup>۵</sup> حالت دنبال روندگی ورودی مرجع توسط خروجی وجود دارد. در این سیستم‌ها خروجی الزاماً باید ورودی مرجع را دنبال کند.

رگلاتور.<sup>۶</sup> به سیستم‌هایی اطلاق می‌شود که در آنها خروجی حالت - ماندگار برای سیگنال ثابت، مقداری ثابت دارد. در این سیستم‌ها حالت دنبال روندگی در پاسخ سیستمه وجود ندارد.

سیستم کنترل حلقه - باز. سیستمی که در آن خروجی اثری بر روی سیگنال ورودی ندارد. سیستم کنترل حلقه - بسته. سیستمی است که در آن خروجی به گونه‌ای بر ورودی اثر می‌گذارد که خروجی در مقداری مطلوب باقی بماند.

در این کتاب تنها سیستم‌های خطی، تغییر ناپذیر با زمان و زمان - پیوسته در نظر گرفته خواهند شد.

## مسایل

۱-۱- در یک نانوایی مشخصه عملکرد مطلوب سیستم میزان برشتگی نان است. ورودی به سیستم که توسط یک شیر کنترل می‌شود، نرخ گازوییل وارد شده به منبع تولید

1- Time invariant

2- Time varying

3- Continuous-time

4- Discrete-time

5- Servo

6- Regulator

حرارت برای گرم کردن تنور است. دو نوع سیستم کنترل حلقه - باز و حلقه - بسته برای سیستم کنترل نانوایی را توسط نانوا توضیح دهد.

-۲-۱ کدامیک از بندهای (الف) تا (و) برای کنترل حلقه - باز، کنترل حلقه - بسته و کنترل پیش خور الزامی است؟

(الف) یک مدل برای تعیین اثرات اعمال کنترل.

(ب) یک مدل برای تعیین اثرات عوامل خارجی.

(ج) یک هدف.

(د) اندازه‌گیری اثرات عوامل خارجی.

(ه) اندازه‌گیری اثر کنترل.

(و) مقایسه بین هدف و اثر کنترل.

-۳-۱ از یک ترمومترات برای کنترل درجه حرارت آب گرم یک مخزن استفاده می‌شود. اگر آب را از موقعیکه سرد است گرم کنند، با استفاده از رسم درجه حرارت آب بر حسب زمان، اساس عملکرد چنین وسیله‌ای را توضیح دهد. چرا از یک سیستم ساده حلقه - باز به جای این سیستم استفاده نمی‌شود؟

-۴-۱ کنترل سیگنال‌های ترافیک را در چهارراه به دو روش حلقه - باز و حلقه - بسته توضیح دهد.

-۵-۱ یک سیستم کنترل دست ربات را با رسم شکل‌های مناسب توضیح دهد.

-۶-۱ در یک سیستم کنترل سطح مایع، چه مشکلاتی ممکن است با استفاده از کنترل حلقه - باز رخ دهد؟ آیا می‌توان این مشکلات را با بکارگیری یک روش حلقه - بسته بر طرف کرد.

-۷-۱ اساس کار سیستم کنترل آسانسورها را توضیح دهد.

-۸-۱ به سیستمی که چند ورودی و چند خروجی داشته باشد، سیستم چند متغیره گویند. یک سیستم عملی را مثال بزنید که تعداد ورودی و خروجی‌های آن از یک بیشتر است.

## مراجع فصل اول

- [1-1] Bennett, S., *A history of control engineering 1800-1930*, Peter peregrinus Ltd, 1986.
- [1-2] Bode, H. W., *Feedback - The history of an idea*, in selected papers on mathematical trends in control theory, Dover, New York, pp 106-123, 1964.
- [1-3] Maskrey, R. H. and Thayer, W. J., *A brief history of electrohydraulic servomechanisms*, ASME J. of Dynamic Systems, Measurement and control, pp 110-116, 1978.
- [1-4] Mayr, O., *Origins of feedback control*, MIT press, Cambridge, Mass., 1971.
- [1-5] Singh, M., *Encyclopedia of systems and control*, Pergamon press, 1987.
- [1-6] IEEE Standard dictionary of Electrical and Electronics terms, Wiley - Interscience, New York, 1972.
- [1-7] Black, H.S., *Inverting the negative feedback amplifier*, IEEE Spectrum, pp 55-60, 1977.
- [1-8] Hazen, H. L., *Theory of servomechanisms*, J. Franklin Institute, 218, pp 543-580, 1934
- [1-9] Maxwell, J. C., *On governors*, Proceedings of the Royal Society (London), 16, pp 270-283, 1868.
- [1-10] Minorsky, N., *Control problems*, J. Franklin Institute., 232, p. 451, 1941.

## کتاب شناسی

در اکثر کتابهای مهندسی کنترل مقدمه‌ای در رابطه با مفاهیم کنترل، تعاریف و تاریخچه کنترل وجود دارد. مرجع [1] تعاریف و اصطلاحات مهندسی کنترل را بر حسب استاندارد IEEE ارایه کرده است. در مراجع [1] تا [5] می‌توان مثالهای عملی از سیستم‌های کنترل را پیدا کرد. مرجع [11] مثالهای عملی از کنترل در مهندسی پزشکی دارد. واحد (1) از مرجع [24] مقدمه‌ای جامع بر مهندسی کنترل است. مراجع [1-1] تا [1-4] در رابطه با تاریخچه مهندسی کنترل فوق العاده سودمند می‌باشند. مرجع [1-5] دایرة المعارفی از کلیه مباحث کنترلی تا سال ۱۹۸۷ است که در رابطه با مقدمه‌ای بر کنترل و تاریخچه آن بسیار جامع است. مرجع [1-6] کتاب لغت استاندارد IEEE در مهندسی برق و الکترونیک است. مراجع [1-7] تا [1-10] نیز تنها چند نمونه از نمونه‌های زیاد مقالات کلاسیک و پایه در نظریه کنترل اتوماتیک محسوب می‌شوند.

## ۲

# نمایش سیستم‌های کنترل خطی

اهداف فصل:

- ۱- آشنایی با مفهوم تابع تبدیل و بدست آوردن توابع تبدیل سیستم‌های کنترل و اجزاء آنها.
  - ۲- رسم دیاگرام‌های بلوکی و نمودارهای گذر سیگنال برای یک سیستم کنترل و بررسی چگونگی کاربرد آنها.
  - ۳- آشنایی با نمایش سیستم توسط متغیرهای حالت و مفاهیم اولیه فضای حالت.
  - ۴- مدلسازی سیستم‌های فیزیکی.
  - ۵- آشنایی با مدلسازی موتورهای DC، به عنوان یک نمونه سیستم صنعتی.
- توجه: قبل از مطالعه این فصل آشنایی با تبدیل لاپلاس و کاربردهای آن الزامی است.

## ۱-۲ مقدمه

در مسایل عملی مهندسی کنترل، قبل از شروع تحلیل سیستم به منظور طراحی سیستم کنترل، در دست داشتن یک مدل دقیق ریاضی از سیستم الزامی است. در واقع اولین قدم در راه طراحی سیستم کنترل برای یک سیستم، مدل‌سازی آن سیستم توسط بیان مشخصه‌های آن با معادلات ریاضی است. لذا بدست آوردن مدل ریاضی سیستم که نمایانگر مشخصه‌های آن است، از اهمیت فوق العاده‌ای برخوردار می‌باشد.

بدون شک توصیف کامل عملکرد و عملیات سیستم فیزیکی بر حسب معادلات ریاضی، یک مجموعه بسیار پیچیده از تعداد زیادی معادله و روابط ریاضی را بهمراه خواهد داشت که به علت پیچیدگی بیش از اندازه برای تحلیل و طراحی سیستم مناسب نخواهد بود. از طرف دیگر، مدل ریاضی سیستم فیزیکی نباید بیش از اندازه ساده باشد، ساده سازی بیش از اندازه موجب می‌شود که مشخصه‌های مهم سیستم در مدل آن وارد نشود و تحلیل انجام شده بر اساس مدل، غلط یا غیرکافی باشد و هم‌چنین سیستم کنترل طراحی شده براساس این چنین مدلی نامناسب خواهد بود. بنابراین در تعیین مدل ریاضی یک سیستم فیزیکی، باید مشخصه‌های مهم و اساسی سیستم در مدل‌سازی در نظر گرفته شوند و در این انتخاب مقدار متناسبی تجربه و دید عملی لازم است.

برای سیستم‌های دینامیکی مورد بررسی در این کتاب، معادلات دیفرانسیل یک صورت متناسب برای توصیف ریاضی سیستم است.

## ۲-۲ توابع تبدیل

همانطور که در مقدمه اشاره شد، برای تحلیل درست و دقیق یک سیستم، بدست آوردن مدل آن لازم است. این مدل می‌تواند توسط روش‌های پیشرفته شناسایی سیستم<sup>۱</sup> از داده‌های ورودی - خروجی<sup>۲</sup> سیستم، یا با ترکیب اطلاعات اجزاء جداگانه تشکیل دهنده سیستم بددست آورده شود. در هر دو صورت، با تعیین مدل می‌توان پاسخ<sup>۳</sup> سیستم به ورودی‌های وارد به آن را بددست آورد. به عبارت دیگر، خروجی مدل ریاضی سیستم در پاسخ به ورودی اعمال

1- System identification

2- Input-output data

3- Response

شده به آن باید با خروجی سیستم واقعی در پاسخ به همان ورودی، یکسان باشد. مدل ریاضی را می‌توان به صورت تابعی در نظر گرفت که به ازاء ورودیهای مختلف، خروجیهای متناظر با سیستم واقعی را نشان می‌دهد. این چنین تابعی را تابع تبدیل<sup>۱</sup> می‌نامند.

در سیستم‌های دینامیکی رابطه بین ورودی سیستم ( $t$ ) $u$  و خروجی سیستم ( $t$ ) $y$  را می‌توان به صورت یک معادله دیفرانسیل به صورت زیر نوشت

$$(D^n + a_{n-1}D^{n-1} + \dots + a_1D + a_0)y(t) = (b_mD^m + b_{m-1}D^{m-1} + \dots + b_1D + b_0)u(t) \quad (1-2-2)$$

که در آن

$$Dy(t) = \frac{dy}{dt}(t), D^2y(t) = \frac{d^2y}{dt^2}(t), \dots$$

هم چنین ضرایب  $a_0, a_1, \dots, a_{n-1}, a_n$  و  $b_0, b_1, \dots, b_{m-1}, b_m$  مقادیر حقیقی هستند که توسط مشخصه‌های سیستم تعیین می‌گردند، مرتبه‌های  $n$  و  $m$  نیز مستقیماً با ساختار سیستم ارتباط دارند.

توجه کنید که با مشخص کردن اعداد صحیح  $n$  و  $m$ ، همراه با ضرایب  $a_1, \dots, a_{n-1}$  و  $b_1, \dots, b_{m-1}$  برای یک دسته داده شده مقادیر اولیه در  $t=0$  پاسخ سیستم برای هر  $t > 0$  را می‌توان با حل معادله دیفرانسیل داده شده با معادله (1-2-2) بدست آورد. لیکن حل این معادله دیفرانسیل در حالت کلی کار ساده‌ای نیست و با بزرگ شدن اعداد صحیح  $n$  و  $m$  مشکل خواهد بود. به این دلیل برای پیدا کردن پاسخ سیستم‌های فیزیکی و صنعتی از این روش نمی‌توان استفاده نمود.

یک راه حل بسیار ساده، استفاده از تبدیل لاپلاس است. با گرفتن تبدیل لاپلاس از طرفین معادله (1-2-2) و فرض شرایط اولیه صفر در  $t=0$  داریم

$$(s^n + a_{n-1}s^{n-1} + \dots + a_1s + a_0)Y(s) = (b_ms^m + b_{m-1}s^{m-1} + \dots + b_1s + b_0)U(s) \quad (2-2-2)$$

که در آن  $U(s)$  و  $Y(s)$  نیز به ترتیب مقادیر تبدیل شده سیگنال‌های ورودی ( $t$ ) $u$  و خروجی ( $t$ ) $y$  هستند.

معادله (۲-۲-۲) را می‌توان به صورت زیر نوشت

$$Y(s) = G(s)U(s) \quad (3-2-2)$$

که در آن  $G(s)$  مستقل از سیگنال‌های ورودی و خروجی، تابعی است که ورودی  $(s)U$  را به خروجی  $(s)Y$  تبدیل می‌کند (یا انتقال می‌دهد). بنابراین در حالت کلی، تابع تبدیل را می‌توان به صورت نسبت دو چند جمله‌ای با شرایط اولیه صفر به صورت زیر در نظر گرفت

$$G(s) = \frac{b_m s^m + b_{m-1} s^{m-1} + \dots + b_1 s + b_0}{s^n + a_{n-1} s^{n-1} + \dots + a_1 s + a_0} \quad (4-2-2)$$

درجه چندجمله‌ای مخرج  $G(s)$  را مرتبه سیستم<sup>۱</sup> نامیده و سیستم را یک سیستم مرتبه  $n-m$ <sup>۲</sup> می‌نامند. ضرایب  $a_i$  ها و  $b_i$  ها در تابع تبدیل  $G(s)$ ، ثابت و تغییرناپذیر با زمان هستند. کاربرد ایده تابع تبدیل به سیستم‌های خطی تغییرناپذیر با زمان محدود می‌شود. در اینجا مراحل بدست آوردن تابع تبدیل یک سیستم فیزیکی را بیان می‌کنیم:

- ۱- معادله دیفرانسیل سیستم را بنویسید.
- ۲- با فرض صفر بودن کلیه شرایط اولیه، تبدیل لaplas معادله دیفرانسیل را پیدا کنید.
- ۳- نسبت خروجی  $(s)Y$  به ورودی  $(s)U$  را پیدا کنید. این نسبت، تابع تبدیل است.

### مثال ۱-۲-۲

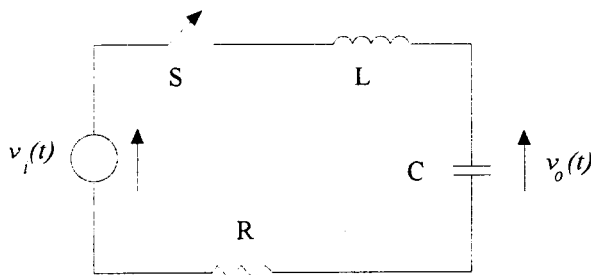
مدار سری RLC نشان داده شده در شکل ۱-۲ را در نظر بگیرید. فرض کنید که تا قبل از سته شدن کلید S در زمان  $t=0$ ، جریان  $(t)$  وجود ندارد و هم‌چنین خازن C نیز شارژ نشده باقی می‌ماند. مطلوب است تابع تبدیل مدار با ولتاژ ورودی  $(t)$  و ولتاژ خروجی  $v(t)$  را برای  $t \geq 0$  تعیین کنیم.

نخست معادله دیفرانسیل مدار را با استفاده از قانون ولتاژ کیرشاف<sup>۳</sup> می‌نویسیم. با استفاده از این قانون ولتاژ ورودی  $(t)$  باید برابر مجموع افت ولتاژهای دو سر سلف، خازن و مقاومت باشد. یعنی آنکه

1- System order

2- n-th order system

3- Kirchhoff's voltage law



شکل ۱-۲ مدار RLC سری با ورودی  $v_i(t)$

$$v_i(t) = L \frac{di(t)}{dt} + \frac{1}{C} \int^t i(\tau) d\tau + Ri(t)$$

برای از بین بردن عبارت انتگرالی، با مشتق گیری از طرفین معادله بالا داریم.

$$Dv_i(t) = (LD + RD + \frac{1}{C})i(t)$$

اکنون با گرفتن تبدیل لاپلاس از طرفین معادله بالا داریم

$$CsV_i(s) = (LCs + RC + 1)I(s)$$

یا

$$I(s) = \frac{Cs}{LCs + RC + 1} V_i(s)$$

تابع تبدیل بدست آمده، ولتاژ ورودی  $V_i(s)$  را به جریان  $I(s)$  ارتباط می‌دهد. در مرحله بعد

باید تابع تبدیل بین جریان و ولتاژ خروجی  $V_o(s)$  را بدست آوریم.

ولتاژ دو سر خازن  $C$ ، که ولتاژ خروجی نیز هست، عبارتست از

$$V_o(t) = \frac{1}{C} \int^t i(\tau) d\tau$$

یا

$$Dv_o(t) = \frac{1}{C} i(t)$$

که تبدیل لاپلاس آن عبارتست از

$$V_o(s) = \frac{1}{Cs} I(s)$$

با جایگزینی برای  $I(s)$  از معادله بالا، تابع تبدیل بین ولتاژ خروجی و ورودی چنین است

$$V_o(s) = \frac{1}{LCs^2 + RCs + 1} V_i(s)$$

مثال ۲-۲-۲

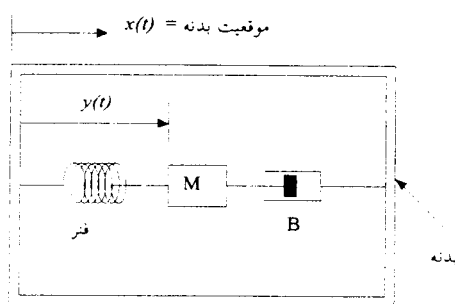
سیستم مکانیکی نشان داده شده در شکل ۲-۲ یک شتاب سنج<sup>۱</sup> ساده است. موقعیت جرم M نسبت به شتاب سنج ( $t$ )<sup>۲</sup> متناسب با شتاب بدنه است. تابع تبدیل بین شتاب ورودی A(s) و خروجی Y(s) را پیدا کنید.

معادله دیفرانسیل حاکم بر سیستم، از مساوی قرار دادن مجموع نیروهای عمداً کننده بر روی جرم M، با شتاب اینرسی آن بدست می‌آید. از قانون دوم نیوتون داریم

$$-B \frac{dy(t)}{dt} - Ky(t) = M \frac{d^2}{dt^2}(y(t) - x(t))$$

یا

$$M \frac{d^2y(t)}{dt^2} + B \frac{dy(t)}{dt} + Ky(t) = M \frac{d^2x(t)}{dt^2} = Ma(t)$$



شکل ۲-۲ شتاب سنج مثال ۲-۲-۲

که در آن  $a(t)$  شتاب ورودی است. با فرض شرایط اولیه صفر، یس از تبدیل لاپلاس داریم

$$(Ms^2 + Bs + K)Y(s) = MA(s)$$

بنابراین تابع تبدیل شتاب سنج عبارتست از

$$\frac{Y(s)}{A(s)} = \frac{1}{s^2 + (B/M)s + K/M}$$

- در اینجا، چند نکته مهم را در رابطه با توابع تبدیل عنوان می‌کنیم:
- ۱- تابع تبدیل یک سیستم، یک مدل ریاضی از آن سیستم است که رابطه بین متغیر ورودی و متغیر خروجی را بیان می‌دارد.
  - ۲- تابع تبدیل یک خاصیت از خود سیستم است و مستقل از اندازه و ماهیت ورودی به آن می‌باشد.
  - ۳- توابع تبدیل سیستم‌های فیزیکی مختلف می‌توانند یکسان باشند. در واقع توابع تبدیل ارتباط بین ورودی و خروجی را بدست می‌دهند و هیچ‌گونه اطلاعاتی در رابطه با ساختار داخلی سیستم در اختیار ما نمی‌گذارد.
  - ۴- با در دست داشتن تابع تبدیل یک سیستم، می‌توان از ماهیت سیستم توسط بررسی پاسخهای آن به ورودیهای مختلف، اطلاعات مفیدی به دست آورد.

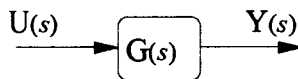
### ۳-۲ دیاگرام‌های بلوکی

در بخش ۲-۲ توصیف ریاضی سیستم را بر حسب نمایش تابع تبدیل بررسی کردیم. اگر تنها با سیستم‌های ساده همچون مثالهای قبل سروکار داشته باشیم، ضرورتی برای نمایش‌های دیگر از سیستم احساس نخواهیم کرد. لیکن اگر سیستم ساده قبل، جزیی از یک مجموعه از سیستم‌ها باشد که با هم ارتباط خاصی داشته باشند، آنگاه تابع تبدیل کل سیستم، تابع پیچیده‌ای خواهد بود که به ارتباط بین این سیستم‌ها بستگی خواهد داشت. اگر چه می‌توان با ارتباط بین سیستم‌های مختلف به صورت کاملاً جبری برخورد کرد، لیکن با زیاد شدن اجزاء سیستم، ارتباط دادن معادله‌های مختلف با سیستم‌هایی که آنها را نمایش می‌دهند، بسیار مشکل خواهد بود. یک راه حل این مشکل، نمایش دادن سیستم مورده نظر توسط دیاگرام بلوکی<sup>۱</sup> است، که یک نمایش گرافیکی می‌باشد. با استفاده از این نمایش، بسادگی می‌توان سیستم‌های (یا کنترل کننده‌های) دیگری را به مجموع سیستم کنترل اضافه و یا کم کرد. یک مزیت استفاده از دیاگرام‌های بلوکی آن است که می‌توان با سرعت و دقت زیاد، ترکیب‌های مختلفی برای سیستم کنترل در نظر گرفت.

### ۱-۳-۲ اجزاء اصلی دیاگرام‌های بلوکی

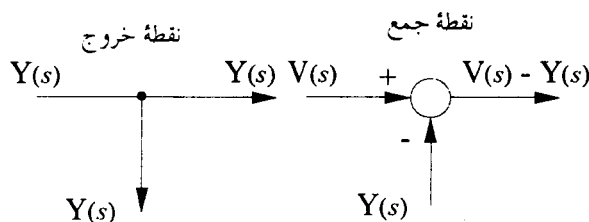
تصویف سیستم توسط تابع تبدیل که در بخش ۲-۲ معرفی گردید، به صورت دیاگرام بلوکی نشان داده شده در شکل ۳-۲ نمایش داده می‌شود. از این‌رو دیاگرام بلوکی شکل ۳-۲ معادله  $(s)U(s)=G(s)Y(s)$  نمایشهای مختلف از یک سیستم هستند و دقیقاً یک معنی را بیان می‌کنند.

همانطور که از شکل ۳-۲ مشاهده می‌گردد، سیگنال‌های  $(s)U$  و  $(s)Y$  بر حسب یک جهت که به پیکانها داده شده است، نشان داده شده‌اند و بلوک نیز مدل سیستم که با  $(s)G$  نشان داده شده است را دربرمی‌گیرد.



شکل ۳-۲ دیاگرام بلوکی یک تابع تبدیل

دو جزء اصلی دیگر یک نمایش دیاگرام بلوکی، نقطه جمع<sup>۱</sup> و نقطه خروج<sup>۲</sup> هستند. این دو نقطه در شکل ۴-۲ نشان داده شده‌اند.



شکل ۴-۲ نقاط جمع و خروج

نقطه جمع که معمولاً با یک دایره نمایش داده می‌شود (در بعضی از کتابها از علامتهای  $\Sigma$  یا  $\times$  در داخل دایره استفاده می‌شود) می‌تواند هر چند تعداد سیگنال ورودی داشته باشد، هر

1- Summing point

2- Take-off point

کدام از این سیگنال‌ها یک علامت + یا - را با خود دارند که نشان دهنده عمل جمع یا تفریق آن سیگنال با سایر سیگنال‌ها است. نقطه جمع تنها یک خروجی دارد که به سایر قسمتهای دیاگرام بلوکی وارد می‌شود. در صورت لزوم استفاده از یک متغیر در چندین محل، می‌توان از تعداد مناسبی نقاط خروج استفاده نمود.

### ۲-۳-۲ عملیات جبری بلوک دیاگرامی

دیاگرام‌های بلوکی سیستم‌های کنترل عملی اغلب بسیار پیچیده هستند. این دیاگرام‌های بلوکی عموماً چندین حلقه فیدبک و پیش‌خور و چندین ورودی دارند. با استفاده از روش سیستماتیک کاهش بلوک‌ها و حلقه‌ها، می‌توان این دیاگرام‌های بلوکی را به صورت ساده تبدیل کرد و توابع تبدیل قسمتهای مختلف و یا تابع تبدیل کل سیستم را بدست آورد. یک دسته از عملیات جبری دیاگرام بلوکی در جدول ۱-۲ آورده شده‌اند. برای تمرین، با بکارگیری قواعد اجزاء اصلی دیاگرام‌های بلوکی، قواعد ۱ تا ۱۳ جدول ۱-۲ را می‌توانید بسادگی اثبات کنید.

مراحل زیر را می‌توان برای کاهش دیاگرام‌های بلوکی بکار بست. در این مراحل از قواعد جدول ۱-۲ استفاده شده است.

مرحله ۱: با استفاده از قاعدة ۴ جدول ۱-۲، کلیه بلوک‌های سری را ترکیب کنید.

مرحله ۲: با استفاده از قاعدة ۵ جدول ۱-۲، کلیه بلوک‌های موازی را ترکیب کنید.

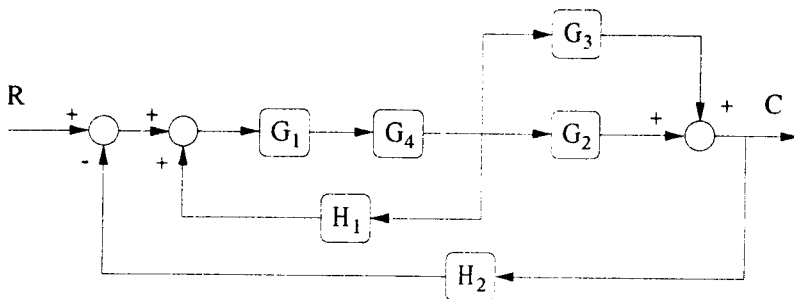
مرحله ۳: با استفاده از قاعدة ۱۳ جدول ۱-۲، کلیه حلقه‌های فیدبک جزئی را حذف کنید.

مرحله ۴: با استفاده از قواعد ۶ و ۷ جدول ۱-۲، نقاط جمع را به طرف چپ و نقاط خروج را به طرف راست حلقه اصلی انتقال دهید.

مرحله ۵: مراحل ۱ تا ۴ را در صورت لزوم تکرار کنید، تا دیاگرام بلوکی به صورت استاندارد فیدبک تبدیل شود.

### ۱-۳-۲ مثال

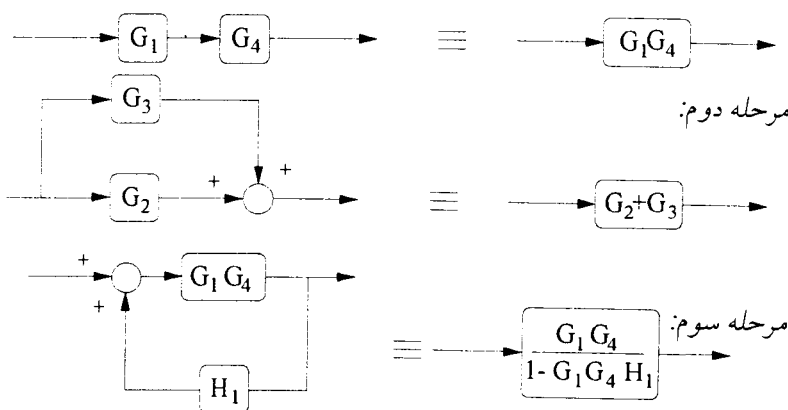
دیاگرام بلوکی نشان داده شده در شکل ۵-۲ را به صورت یک حلقه فیدبک تبدیل کنید.



شکل ۵-۲ دیاگرام بلوکی مثال ۱-۳-۲

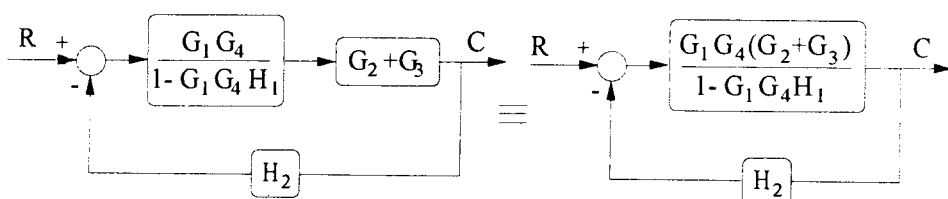
اکنون مراحل کاهش دیاگرام بلوکی را اجرا می‌کنیم.

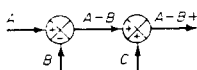
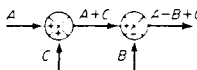
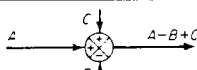
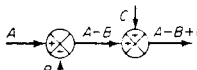
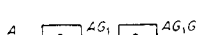
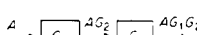
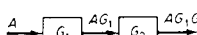
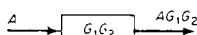
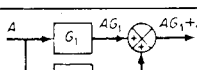
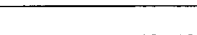
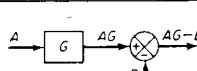
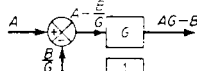
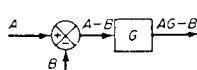
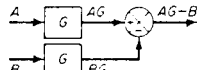
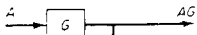
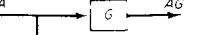
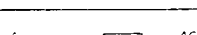
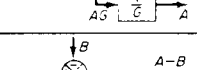
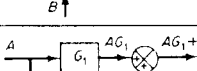
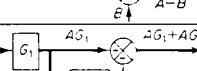
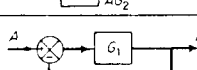
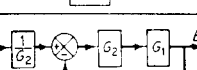
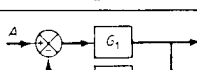
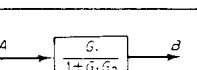
مرحله اول:



مرحله چهارم: در این مثال موردی ندارد

مرحله پنجم:



دیاگرامهای بلوکی اصلی		دیاگرامهای بلوکی معادل
1		
2		
3		
4		
5		
6		
7		
8		
9		
10		
11		
12		
13		

جدول ۱-۲ توانعند جبر دیاگرام بلوکی

توجه کنید که در صورت لزوم با اعمال قاعده ۱۳ از جدول ۱-۲، می‌توان تابع تبدیل حلقه -  
بسته را بدست آورد.

### ۳-۳-۲ رسم دیاگرام بلوکی سیستم‌های فیزیکی

در اینجا مراحل رسم دیاگرام بلوکی برای یک سیستم را ارایه می‌کنیم:

مرحله ۱: معادلات توصیف کننده رفتار هر عنصر را بنویسید.

مرحله ۲: تبدیل لاپلاس معادلات بدست آمده از مرحله اول را بگیرید (شرط اولیه را صفر فرض کنید).

مرحله ۳: هر کدام از معادلات تبدیل لاپلاس گرفته شده را به صورت یک بلوک مجزا رسم کنید.

مرحله ۴: بلوک‌های بدست آمده در مرحله ۳ را در یک دیاگرام بلوکی کامل، ترکیب کنید.

### مثال ۲-۳-۲

مدار RC نشان داده شده در شکل ۶-۲ (الف) را در نظر بگیرید. دیاگرام بلوکی مدار را رسم کنید.

نخست معادلات مدار را می‌نویسیم. داریم

$$i = \frac{e_i - e_o}{R}$$

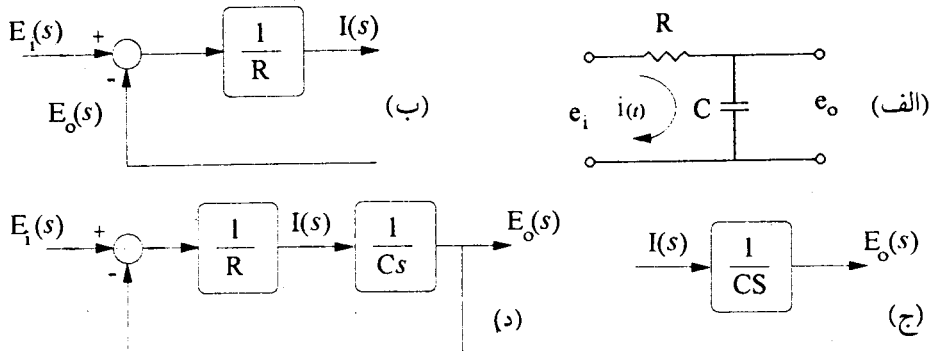
$$e_o = \int i dt$$

تبدیل لاپلاس این معادله‌ها، با شرط صفر بودن شرایط اولیه، عبارتند از

$$I(s) = \frac{E_i(s) - E_o(s)}{R}$$

$$E_o(s) = \frac{I(s)}{Cs}$$

معادله (۱) یک عمل جمع را نشان می‌دهد و دیاگرام بلوکی متناظر آن در شکل ۶-۲ (ب)  
نشان داده شده است. معادله (۲) دیاگرام بلوکی شکل ۶-۲ (ج) را نشان می‌دهد. در آخرین



شکل ۲-۶ (الف) مدار RC (ب) دیاگرام بلوکی معادله (c)

(ج) دیاگرام بلوکی معادله (d) دیاگرام بلوکی مدار RC

مرحله با سرهم کردن این دو عنصر، دیاگرام بلوکی کلی نشان داده شده در شکل ۲-۶ (د) را بدست می‌آوریم.

## مثال ۲-۳-۲

سیستم مکانیکی نشان داده شده در شکل ۲-۷ را در نظر بگیرید. برای این سیستم یک دیاگرام بلوکی رسم کنید. با ساده کردن دیاگرام بلوکی بدست آمده، تابع تبدیل بین (s) و (x) را پیدا کنید. فرض کنید که جابجا باید باز موقعیت تعادل هنگامیکه \$x=0\$ است، اندازه گرفته می‌شود.

نخست معادلات دیفرانسیل اجزاء سیستم را می‌نویسیم. مجموع نیروهای عمل کننده بر روی جرم \$m\$ را به صورت \$F\$ تعریف کنید. معادلات سیستم عبارتند از

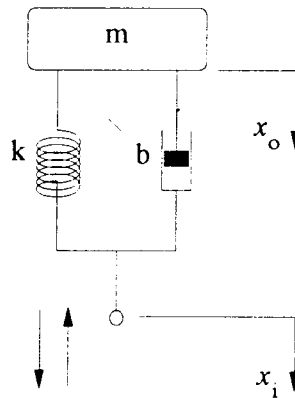
$$mD^2x = F$$

$$F = -b(Dx_s - Dx_i) - k(x_s - x_i)$$

با گرفتن تبدیل لاپلاس از این معادله‌ها، با فرض شرایط اولیه صفر، داریم

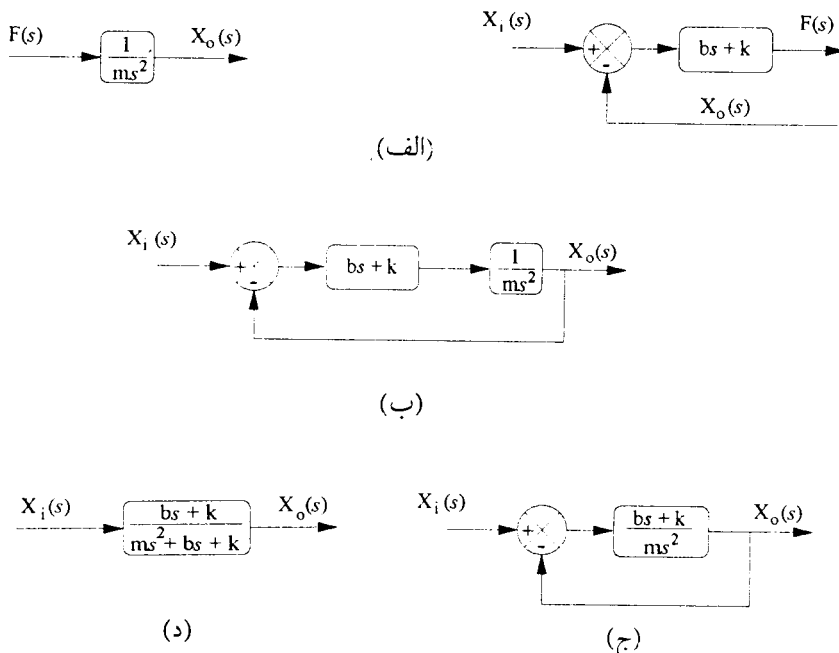
$$ms^2X_s(s) = F(s)$$

$$\begin{aligned} F(s) &= -b[sX_s(s) - sX_i(s)] - k[X_s(s) - X_i(s)] \\ &= (bs + k)[X_i(s) - X_s(s)] \end{aligned}$$



شکل ۲-۷ سیستم مکانیکی مثال ۲-۳-۲

از معادلات تبدیل لاپلاس گرفته شده، عناصر دیاگرام بلوکی نشان داده شده در شکل ۲-۸



شکل ۲-۸ (الف) عناصر یک دیاگرام بلوکی، (ب) دیاگرام بلوکی حاصل از ترکیب عناصر، (ج) دیاگرام‌های بلوکی ساده شده، (د) دیاگرام‌های بلوکی ساده شده.

(الف) را بدست می‌آوریم. با سرهم کردن مناسب این دو دیاگرام بلوکی، همانطور که در شکل ۸-۲ نشان داده شده است، دیاگرام بلوکی سیستم بدست می‌آید. با استفاده از قواعد ۴ و ۱۳ از جدول ۲-۱، دیاگرام بلوکی ورودی - خروجی و تابع تبدیل تبدیل سیستم، همانند شکل ۸-۲ (ج) و (د)، بدست می‌آید. لذا داریم

$$\frac{X_o(s)}{X_i(s)} = \frac{bs+k}{ms^2+bs+k}$$

## ۴-۲ نمودارهای گذر سیگنال

نمایش ترسیمی سیستم‌های کنترل به صورت دیاگرام‌های بلوکی در بخش ۳-۲ ارایه شد. یک روش دیگر برای نمایش ترسیمی سیستم‌های کنترل، روش نمودار گذر سیگنال<sup>۱</sup> است. باید توجه داشت که هر دو روش حاوی اطلاعات مشابهی در رابطه با سیستم می‌باشند و لذا از این نظر مزیتی بر یکدیگر نخواهند داشت.

نمودار گذر سیگنال، نمایشی تصویری از دستگاه معادلات جبری است که سیستم را توصیف می‌کنند. لذا باید برای اعمال روش نمودار گذر سیگنال در تحلیل سیستم‌های کنترل، نخست معادلات دیفرانسیل خطی سیستم را به معادلات جبری در ۴ تبدیل کرد. در واقع، همانند دیاگرام‌های بلوکی، نمودارهای گذر سیگنال انتقال سیگنال را در سیستم به صورت تصویری نمایش می‌دهند. لیکن رسم آن ساده‌تر از رسم دیاگرام‌های بلوکی است و بنابراین کار کردن با آن ساده‌تر می‌باشد.

یک نمودار گذر سیگنال از یک شبکه تشکیل می‌شود، که در آن گره‌ها توسط شاخه‌های جهت داده شده به هم متصل می‌باشند. هر گره نشان دهنده یک متغیر سیستم است و هر شاخه بین دو گره به صورت یک ضرب کننده سیگنال عمل می‌کند. در هر شاخه سیگنال فقط در یک جهت حرکت می‌کند و این جهت توسط پیکانی که بروی شاخه سوار است نشان داده می‌شود. برای مثال معادله ساده  $z_1 = z_2$  را در نظر بگیرید، که در آن  $z_1$  و  $z_2$  می‌توانند توابعی از زمان، فرکانس مختلط و یا هر کمیت دیگری باشند،  $z_1$  نیز یک عمل ریاضی است که  $z_2$  را به  $z_1$  انتقال می‌دهد. نمودار گذر سیگنال این معادله ساده در شکل ۹-۲ نشان داده شده است.



شکل ۹-۲ گراف جریان سیگنال معادله  $\sum_{j \neq i} t_{ij} = 0$

قبل از آنکه به بحث بیشتری در رابطه با نمودارهای گذر سیگنال و کاربرد آنها پردازیم، به تعاریف مقدماتی زیر توجه کنید.

**گره<sup>۱</sup>:** گره نقطه‌ای است که یک متغیر یا سیگنال رانشان می‌دهد.

**انتقال<sup>۲</sup>:** انتقال یک بهره حقیقی یا بهره مختلط بین دو گره است. این چنین بهره‌هایی را می‌توان بر حسبتابع تبدیل بین دو گره بیان کرد.

**شاخه<sup>۳</sup>:** شاخه یک پاره خط جهت داده شده است که دو گره را به هم متصل می‌کند. بهره یک شاخه، انتقال است.

**گره ورودی<sup>۴</sup> یا منبع<sup>۵</sup>:** یک گره ورودی یا منبع گره‌ای است که تنها شاخه‌هایی به آن متصل است که از آن خارج می‌شوند. این گره متناظر با یک متغیر مستقل است.

**گره خروجی<sup>۶</sup> یا سینک<sup>۷</sup>:** یک گره خروجی یا سینگ گره‌ای است که تنها شاخه‌هایی به آن متصل است که به آن وارد می‌شوند. این گره متناظر با یک متغیروابسته است.

**گره مخلوط<sup>۸</sup>:** یک گره مخلوط گره‌ای است که شاخه‌هایی دارد که هم به آن وارد و هم از آن خارج می‌شوند.

**مسیر<sup>۹</sup>:** مسیر یک پیمایش از شاخه‌های متصل در جهت پیکانهای شاخه است. اگر هیچ گره‌ای بیش از یکبار قطع نشود، مسیر باز است. اگر مسیر در گره‌ای که آغاز شده است، خاتمه یابد و هیچ گره‌ای دیگری بیش از یک بار قطع نشود، مسیر بسته است. اگر مسیری بعضی از گره‌ها را بیش از یک بار قطع کند و در گره‌ای غیر از گره‌ای که از آن آغاز کرده خاتمه یابد، نه باز است و نه بسته.

1- Node	2- Transmittance
3-Branch	4- Input node
5- Source	6- Output node
7- Sink	8- Mixed node
9- Path	

حلقه<sup>۱</sup>: مسیر بسته را حلقه گویند.

بهره حلقه<sup>۲</sup>: بهره حلقه حاصلضرب انتقالهای شاخه یک حلقه است.

حلقه‌های مجزا<sup>۳</sup>: حلقه‌ها را مجزا گویند اگر گره مشترکی نداشته باشند.

مسیر پیشرو<sup>۴</sup>: مسیر پیشرو، مسیری است از یک گره ورودی (منبع) به یک گره خروجی (سینک) بطوریکه هیچ گره‌ای را بیش از یکبار قطع نکند.

بهره مسیر پیشرو<sup>۵</sup>: بهره مسیر پیشرو حاصلضرب انتقالهای شاخه از یک مسیر پیشرو است.

#### مثال ۱-۴-۲

نمودار گذر سیگنال شکل ۱۰-۲ را در نظر بگیرید. در این نمودار گذر سیگنال داریم

مسیرها (به عنوان نمونه):  $x_1 \xrightarrow{a_{21}} x_2 \xrightarrow{a_{32}} x_3 \xrightarrow{a_{23}} x_4$  به  $x_1$  بازگشت به  $x_2$  و  $x_1 \xrightarrow{a_{41}} x_4$  به  $x_1$

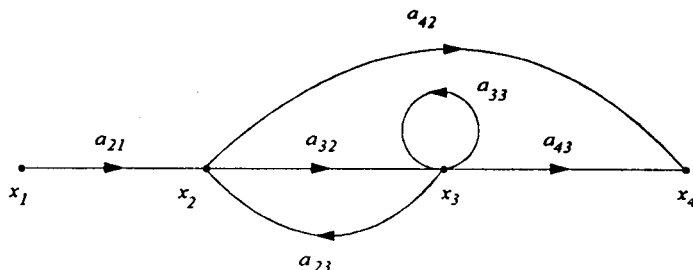
گره ورودی (منبع):  $x_1$

گره خروجی (سینک):  $x_4$

مسیر پیشرو:  $x_1 \xrightarrow{a_{21}} x_2 \xrightarrow{a_{32}} x_3 \xrightarrow{a_{23}} x_4$  و  $x_1 \xrightarrow{a_{41}} x_4$

بهره مسیر: بهره مسیر از  $x_1$  به  $x_2$  به  $x_3$  به  $x_4$  برابر است با  $a_{21}a_{32}a_{23}$

بهره حلقه: بهره حلقه از  $x_2$  به  $x_3$  و بازگشت به  $x_2$  برابر است با  $a_{32}a_{23}$



شکل ۱۰-۲ نمودار گذر سیگنال مثال ۱-۴-۲

1- Loop

2- Loop gain

3- Nontouching loops

4- Forward path

5- Forward path gain

خواص نمودارهای گذر سیگنال. چند خاصیت مهم از نمودارهای گذر سیگنال عبارتند از:

۱- یک شاخه نشان دهنده وابستگی تابعی<sup>۱</sup> یک سیگنال به سیگنال دیگر است. سیگنال تنها در جهتی عبور خواهد کرد که توسط پیکان شاخه مشخص گردیده است.

۲- یک گره، سیگنال‌های کلیه شاخه‌های ورودی به آن را با هم جمع می‌کند و این مجموع را به کلیه شاخه‌هایی که از آن خارج می‌شوند، انتقال می‌دهد.

۳- هر شاخه با انتقال واحد، یک گره مانند  $x_i$  را به گره دیگری، نشان داده شده با  $x_i$  وصل می‌کند. این شاخه‌ها را می‌توان برای تبدیل یک گره مخلوط به یک گره خروجی (سینک) استفاده کرد.

۴- نمودار گذر سیگنال یک سیستم داده شده منحصر بفرد نمی‌باشد. با نوشتен معادلات سیستم به صورتهای مختلف می‌توان نمودارهای گذر سیگنال متفاوتی برای یک سیستم رسم کرد.

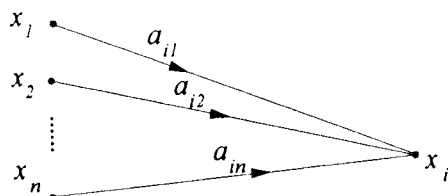
## ۱-۴-۲ جبر نمودار گذر سیگنال

### ۱- قاعده جمع

مقدار متغیر در یک گره برابر است با مجموع کلیه سیگنال‌هایی که به آن گره وارد می‌شوند. به عبارت دیگر، معادله زیر

$$x_i = \sum_{j=1}^n a_{ij} x_j$$

توسط نمودار گذر جریان سیگنال در شکل ۱-۲ نشان داده شده است.

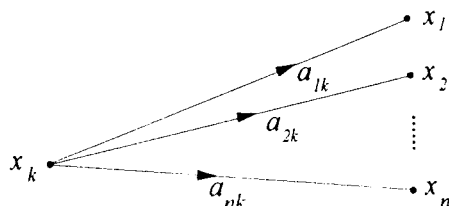


شکل ۱۱-۲ نمودار گذر سیگنال

#### ۲- قاعده انتقال

هنگامی که از یک گره، همانطور که در شکل ۱۲-۲ نشان داده شده است، شاخه‌های خارج شوند، مقدار متغیر در آن گره با ضرب در بهره بین دو گره (تابع تبدیل یا انتقال) به گره بعد انتقال پیدا می‌کند. به عبارت دیگر متغیرهای  $x_1, x_2, \dots, x_n$  در گره‌های نشان داده شده در شکل ۱۲-۲ عبارتند از

$$x_i = a_{ik} x_k \quad (i = 1, \dots, n)$$



شکل ۱۲-۲ نمودار گذر سیگنال (k ثابت) ۱۲-۲

#### ۳- قاعده ضرب

یک اتصال سری از  $n-1$  شاخه با انتقالهای  $a_{n(n-1)}, a_{n(n-2)}, a_{n(n-3)}, \dots, a_{21}$  را می‌توان با یک شاخه، با انتقال جدید برابر با حاصل ضرب کلیه انتقالهای قبلی، جایگزین کرد. یعنی

$$x_n = a_{21} a_{32} a_{43} \dots a_{n(n-1)} x_1$$

برای نمایش تصویری قاعده ضرب به شکل ۱۳-۲ مراجعه کنید.



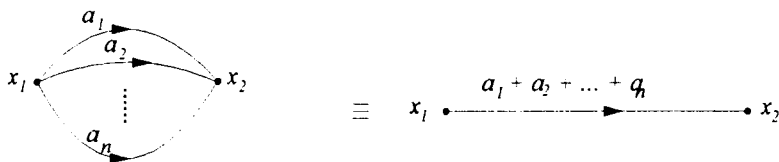
شکل ۱۳-۲ قاعده ضرب ۱۳-۲

#### ۴- قاعده شاخه‌های موازی

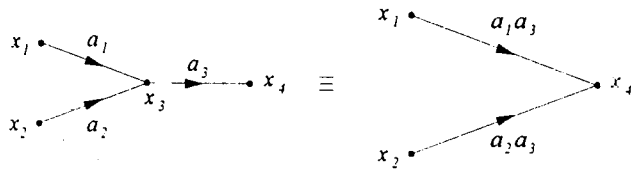
شاخه‌های موازی را می‌توان همانند شکل ۱۴-۲، با جمع کردن انتقالهای آنها با یک شاخه معادل جایگزین کرد.

#### ۵- قاعده حذف گره مخلوط

یک گره مخلوط را می‌توان همانند شکل ۱۵-۲ حذف کرد.



شکل ۱۴-۲ قاعده شاخه‌های موازی



شکل ۱۵-۲ قاعده حذف گره مخلوط

## ۶. قاعده حذف حلقه

یک حلقه را می‌توان همانند شکل ۱۶-۲ حذف کرد. توجه کنید که

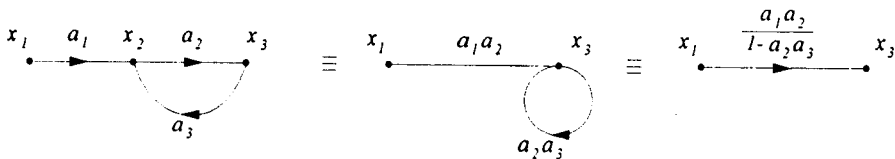
$$x_3 = a_3 x_2 \quad , \quad x_2 = a_2 x_1 + a_3 x_3$$

از اینرو

$$x_3 = a_1 a_2 x_1 + a_2 a_3 x_3$$

یا

$$x_3 = \frac{a_1 a_2}{1 - a_2 a_3} x_1$$



شکل ۱۶-۲ قاعده حذف حلقه

## ۲-۴-۲ نمایش نمودار گذر سیگنال سیستم‌های خطی

از نمودارهای گذر سیگنال به طور گسترده‌ای برای تحلیل سیستم‌های خطی استفاده می‌شود. نمودار را می‌توان از معادلات سیستم و یا بطور مستقیم از سیستم فیزیکی ترسیم

کرد. با بکارگیری قواعد جبری بخش ۱-۴-۲ می‌توان رابطه بین متغیر خروجی و ورودی را بدست آورد.

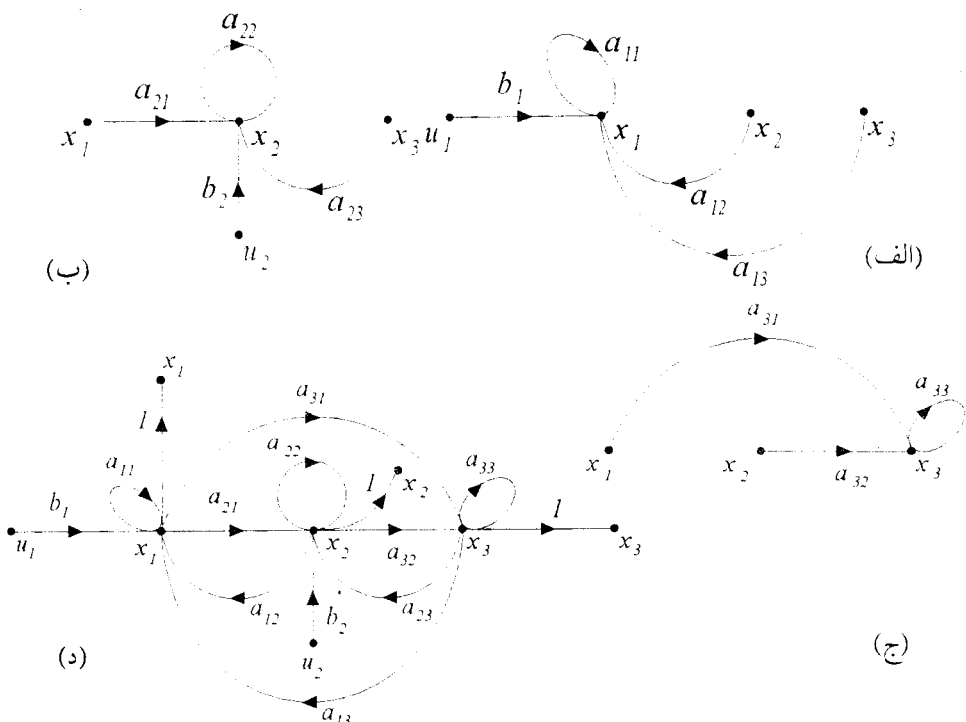
سیستم تعریف شده با مجموعه معادلات زیر را در نظر بگیرید:

$$x_1 = a_{11}x_1 + a_{12}x_2 + a_{13}x_3 + b_1 u_1 \quad (1-4-2)$$

$$x_2 = a_{21}x_1 + a_{22}x_2 + a_{23}x_3 + b_2 u_2 \quad (2-4-2)$$

$$x_3 = a_{31}x_1 + a_{32}x_2 + a_{33}x_3 \quad (3-4-2)$$

که در آن  $u_1$  و  $u_2$  متغیرهای ورودی و  $x_1$ ،  $x_2$  و  $x_3$  متغیرهای خروجی هستند. نمایش نمودار گذر سیگنال سیستمی که با این معادلات توصیف شده است را می‌توان به صورت زیر بدست آورد: نخست گرههای  $x_1$ ،  $x_2$  و  $x_3$  را مانند شکل ۱۷-۲ (الف) جایابی کنید. توجه کنید که  $a_{ij}$



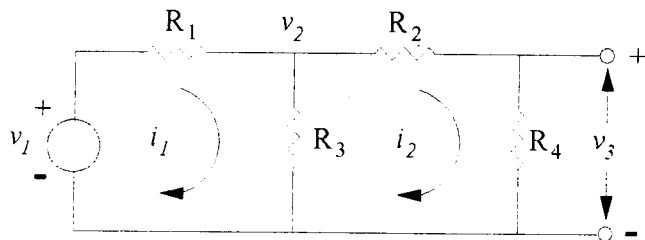
شکل ۱۷-۲ نمودارهای گذر سیگنال نشان دهنده (الف) معادله (۱-۴-۲)، (ب) معادله (۲-۴-۲)، (ج) معادله (۳-۴-۲)؛ (د) نمودار گذر سیگنال کامل نشان دهنده سیستم تعریف شده با معادلهای (۱-۴-۲) تا (۳-۴-۲).

انتقال بین  $x_1$  و  $x_2$  است. توجه کنید که معادله (۲-۴-۱) بیان می‌دارد که  $x_1$  برابر با مجموع چهار سیگنال  $a_{11}x_1$ ،  $a_{12}x_2$ ،  $a_{21}x_3$  و  $a_{22}x_4$  است. نمودار گذر سیگنال نشان دهنده این معادله در شکل ۱۷-۲ (الف) نشان داده شده است. معادله (۲-۴-۲) بیان می‌دارد که  $x_2$  برابر با مجموع  $a_{21}x_1$ ،  $a_{22}x_2$ ،  $a_{31}x_3$  و  $a_{32}x_4$  است. نمودار گذر سیگنال متناظر در شکل ۱۷-۲ (ب) نشان داده شده است. به طور مشابهی، نمودار گذر سیگنال متناظر با معادله (۳-۴-۲) در شکل ۱۷-۲ (ج) نشان داده شده است.

نمودار گذر سیگنال نشان دهنده معادله‌های (۱-۴-۲)، (۲-۴-۲) و (۳-۴-۲) با ترکیب شکل‌های ۱۷-۲ (الف)، (ب) و (ج) بدست می‌آید. سرانجام، نمودار گذر سیگنال کامل برای دستگاه معادلات داده شده در شکل ۱۷-۲ (د) نشان داده شده است.

#### ۲-۴-۲ مثال

یک نمودار گذر سیگنال برای سیستم نشان داده شده در شکل ۱۸-۲ رسم کنید. همانطور که از شکل ۱۸-۲ مشاهده می‌شود، این سیستم چهار متغیر دارد که عبارتند از:  $v_1$ ،  $v_2$ ،  $v_3$  و  $v_4$ .



شکل ۲-۴-۲ سیستم مثال ۱۸-۲

۴-۲ معادلات حاکم بر این سیستم عبارتند از:

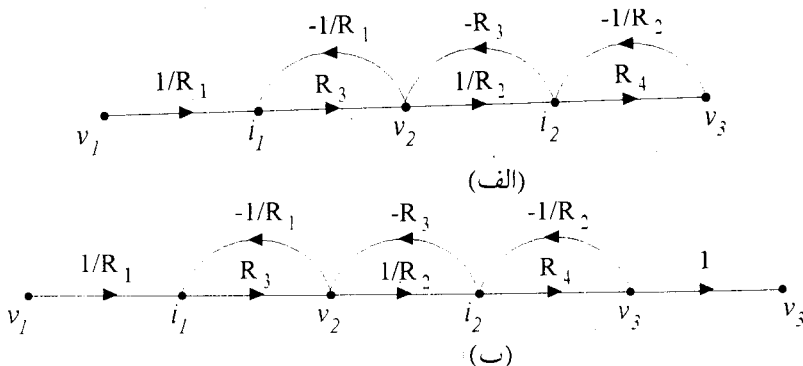
$$i_1 = \left( \frac{1}{R_1} \right) v_1 - \left( \frac{1}{R_1} \right) v_2$$

$$v_2 = R_1 i_1 - R_1 i_2$$

$$i_2 = \left( \frac{1}{R_2} \right) v_2 - \left( \frac{1}{R_2} \right) v_3$$

$$v_3 = R_2 i_2 - R_2 i_4$$

دقیت کنید که معادله‌ای برای ۱، گره ورودی، نوشته نشده است. با قرار دادن پیچ گره برای چهار متغیر و یک گره ورودی و وصل کردن شاخه‌های مناسب از معادلات حاکم بر سیستم، نمودار گذر سیگنال نشان داده شده در شکل ۱۹-۲ (الف) بدست خواهد آمد. اگر بخواهیم ۷ را به صورت یک گره خروجی نشان دهیم، با اضافه کردن یک شاخه با انتقال واحد، نمودار گذر سیگنال نشان داده شده در شکل ۱۹-۲ (ب) بدست خواهد آمد.



شکل ۱۹-۲ نمودار گذر سیگنال سیستم شکل ۱۸-۲

فرمول بهره میسن برای نمودارهای گذر سیگنال، در بسیاری از کاربردهای عملی و صنعتی، مطلوب است که تابع تبدیل (وابطه بین ورودی و خروجی) سیستم را با بکارگیری نمودار گذر سیگنال آن بدست آوریم. در نمودار گذر سیگنال، انتقال بین گره ورودی و گره خروجی، بهره کلی یا انتقال کلی نمودار بین دو گره است. برای پیدا کردن این انتقال یا بهره می توان از عملیات جبری ارایه شده در بخش ۱-۴-۲ برای کاهش نمودار گذر سیگنال استفاده کرد.

لیکن برای نمودارهای گذر سیگنال با تعداد زیادی گره، شاخه و حلقه، این کار مشکل شده و احتمال اشتباه در محاسبات بسیار بالا می‌رود. یک راه حل عملی و سیستماتیک برای این مسئله، استفاده از فرمول بهره میسن<sup>۱</sup> است.

فرمول بهره میسن، به صورت زیر است

$$P = \frac{1}{\Delta} \sum_k P_k \Delta_k \quad (1-4-2)$$

1- Mason's gain formula

که در آن

$P_k =$  بهره مسیر یا انتقال  $k$  امین مسیر پیش رو

$\Delta =$  دترمینان نمودار

$=$  (مجموعه کلیه بهره های تک حلقه های مجزا) - ۱

(مجموع حاصلضریب های بهره کلیه ترکیبی های ممکن از دو حلقه های مجزا) +

(مجموع حاصلضریب های بهره کلیه ترکیبی های ممکن از سه حلقه های مجزا) - ...

$$= 1 - \sum_a L_a + \sum_{b,c} L_b L_c - \sum_{d,e,f} L_d L_e L_f + \dots$$

مجموع کلیه بهره های تک حلقه های مجزا =  $\sum_a L_a$

مجموع حاصلضریب های بهره کلیه ترکیبی های ممکن از دو حلقه های مجزا =  $\sum_{b,c} L_b L_c$

مجموع حاصلضریب های بهره کلیه ترکیبی های ممکن از سه حلقه های مجزا =  $\sum_{d,e,f} L_d L_e L_f$

کوفاکتور<sup>۱</sup>، دترمینان  $k$  امین مسیر پیش رو نمودار، پس از حذف حلقه هایی است

که با آن مسیر پیش رو گره مشترک دارند. یعنی آنکه، کوفاکتور  $\Delta_k$  از  $\Delta$  بعد از حذف حلقه هایی که مسیر  $P_k$  را قطع می کنند، بدست می آید.

توجه کنید که جمعهای بالا بروی کلیه مسیر های ممکن از ورودی به خروجی گرفته شده است. برخلاف آنکه ممکن است استفاده از این فرمول در اولین بروخورد مشکل به نظر رسد، با اندکی تمرین مشخص خواهد شد که کاربرد آن بسیار ساده تر است از آنچه که به نظر می رسد. به مثالهای زیر برای روشنتر شدن این مطلب توجه کنید.

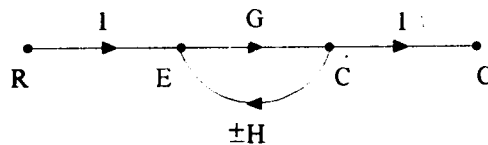
### مثال ۳-۴-۲

سیستم فیدبک نشان داده شده در شکل ۲-۲۰ را در نظر بگیرید. در این شکل برای  $H$  فیدبک مثبت و برای  $-H$  فیدبک منفی خواهیم داشت. در این نمودار تنها یک مسیر پیش رو وجود دارد. از اینرو

$$P_1 = G$$

و لذا  $P_2 = P_3 = \dots = P_r = 0$ . هم چنین تنها یک حلقه وجود دارد. بنابراین

$$L_1 = \pm GH$$



شکل ۲۰-۲ نمودار گذر سیگنال مثال ۳-۴-۲

واضح است که در این مثال  $L_1 = L_2 = \dots = L_m$  دترمینان نمودار عبارتست از

$$\Delta = 1 - (L_1)$$

$$= 1 \mp GH$$

کوفاکتور  $\Delta_1$  از  $\Delta$  بعد از حذف حلقه‌ایی که مسیر  $P_1$  را قطع می‌کند (با آن گره مشترک دارند)، بدست می‌آید. بنابراین

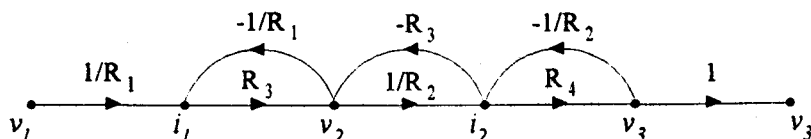
$$\Delta_1 = 1$$

سرانجام، تابع تبدیل حلقه - بسته  $C(s)/R(s)$  عبارتست از

$$\frac{C(s)}{R(s)} = P = \frac{1}{\Delta} (P_1 \Delta_1) \\ = \frac{G}{1 \mp GH}$$

#### مثال ۴-۴-۲

نمودار گذر سیگنال سیستم مثال ۳-۴-۲ که در شکل ۱۸-۲ رسم شده است را در نظر بگیرید. این نمودار گذر سیگنال، در شکل ۲۱-۲ داده شده است. با استفاده از نمودار شکل ۲۱-۲ تابع تبدیل حلقه - بسته را تعیین کنید.



شکل ۲۱-۲ نمودار گذر سیگنال مثال ۴-۴-۲

در اینجا مطلوب است که بهره ولتاژ  $G = v_2/v_1$  را تعیین کنیم. در این نمودار تنها یک مسیر پیش رو نشان داده شده در شکل ۲۲-۲ وجود دارد.

از شکل ۲۲-۲ داریم که بهره مسیر پیشرو عبارتست از

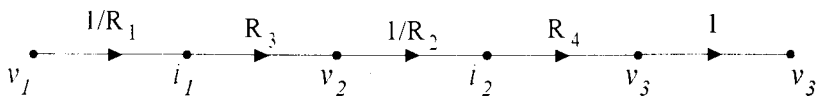
$$P_1 = \frac{1}{R_1} \cdot R_2 \cdot \frac{1}{R_2} \cdot R_4$$

$$= \frac{R_2 R_4}{R_1 R_2}$$

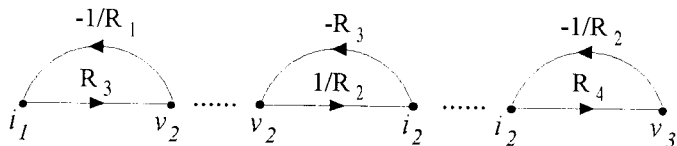
در این گراف سه حلقه به صورت نشان داده شده در شکل ۲۳-۲ وجود دارد

بهره‌های حلقه‌های گراف از شکل ۲۳-۲ عبارتند از:

$$L_1 = -\frac{R_2}{R_1} \quad L_2 = -\frac{R_2}{R_2} \quad L_3 = -\frac{R_4}{R_2}$$



شکل ۲۲-۲



شکل ۲۳-۲

همانطور که از شکل ۲۱-۲ مشاهده می‌شود، تنها دو حلقه غیر محزا وجود دارد (دو حلقه که

گره مشترکی ندارند) و لذا داریم

$$L_1 L_2 = \frac{R_2 R_4}{R_1 R_2}$$

بنابراین، دترمینان نمودار  $\Delta$  عبارتست از:

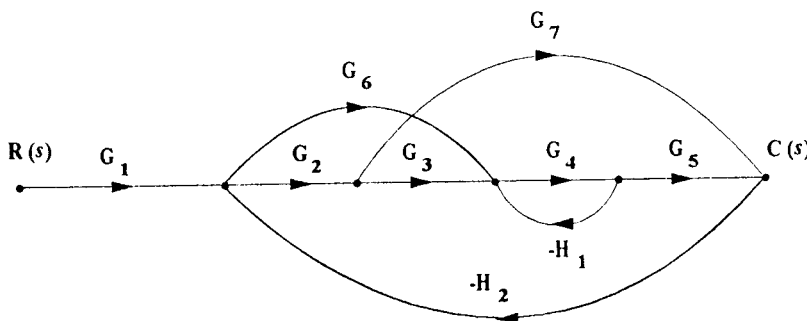
$$\begin{aligned} \Delta &= 1 - (L_1 + L_2 + L_3) + L_1 L_2 \\ &= 1 + \frac{R_2}{R_1} + \frac{R_2}{R_2} + \frac{R_4}{R_2} + \frac{R_2 R_4}{R_1 R_2} \\ &= \frac{R_1 R_2 + R_1 R_2 + R_1 R_4 + R_2 R_3 + R_2 R_4}{R_1 R_2} \end{aligned}$$

از آنجاییکه کلیه حلقه‌ها مسیر پیشرو  $P_i$  را قطع می‌کنند،  $\Delta = \Delta_1$  سرانجام

$$\frac{P_1 \Delta_1}{\nu_1} = \frac{\Delta_1}{\Delta} = \frac{R_1 R_4}{R_1 R_2 + R_1 R_3 + R_2 R_4 + R_2 R_3 + R_3 R_4}$$

#### مثال ۴-۲

سیستم نشان داده شده در شکل ۴-۲ را در نظر بگیرید.تابع تبدیل حلقه بسته  $C(s)/R(s)$  را با استفاده از قانون بهره میسن بدست آورید.



شکل ۴-۲ نمودار گذر سیگنال برای سیستم مثال ۴-۲

در این سیستم، سه مسیر پیشرو بین ورودی  $R(s)$  و خروجی  $C(s)$  وجود دارد. بهره‌های مسیر پیشرو عبارتند از

$$P_1 = G_1 G_2 G_3 G_4 G_5$$

$$P_2 = G_1 G_5 G_4 G_3$$

$$P_3 = G_1 G_4 G_5$$

در نمودار گذر سیگنال نشان داده شده، چهار حلقه وجود دارد و بهره‌های آنها عبارتند از

$$L_1 = -G_4 H_1$$

$$L_2 = -G_1 G_5 H_1$$

$$L_3 = -G_5 G_4 G_3 H_2$$

$$L_4 = -G_1 G_3 G_4 G_5 H_2$$

توجه کنید که دو حلقه  $L_1$  و  $L_2$  همدیگر را قطع نمی‌کنند (و یا گره مشترکی ندارند). از این‌رو، دترمینان  $\Delta$  بدین صورت داده می‌شود

$$\Delta = 1 - (L_1 + L_2 + L_3 + L_4) + L_1 L_2$$

کوفاکتور  $\Delta_1$  با حذف حلقه‌هایی که مسیر  $P_1$  را قطع می‌کنند، بدست می‌آید. بنابراین، با حذف  $L_1$ ,  $L_2$ ,  $L_3$  و  $L_4$ ، بدست می‌آوریم

$$\Delta_1 = 1$$

به طور مشابهی، کوفاکتور  $\Delta_2$  عبارتست از

$$\Delta_2 = 1$$

کوفاکتور  $\Delta_3$  با حذف حلقه‌هایی که مسیر  $P_2$  را قطع می‌کنند، بدست می‌آید. بنابراین، با حذف  $L_2$ ,  $L_3$  و  $L_4$ ، داریم

$$\Delta_3 = 1 - L_1$$

تابع تبدیل حلقه - بسته  $C(s)/R(s)$  عبارتست از

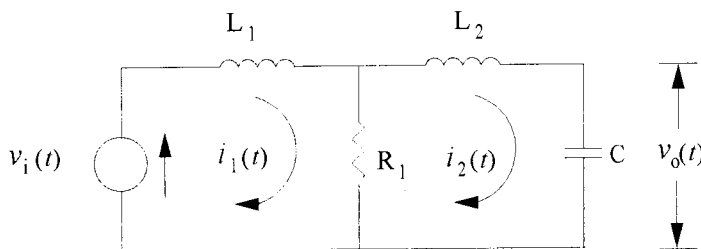
$$\begin{aligned} \frac{C(s)}{R(s)} &= P = \frac{1}{\Delta} (P_1 \Delta_1 + P_2 \Delta_2 + P_3 \Delta_3) \\ &= \frac{G_1 G_2 G_3 G_4 G_5 + G_1 G_2 G_4 G_5 + G_1 G_3 G_4 G_5 (1 + G_4 H_1)}{1 + G_4 H_1 + G_2 G_3 H_2 + G_2 G_4 G_5 H_2 + G_2 G_3 G_4 G_5 H_2 + G_4 H_1 G_2 G_3 H_2} \end{aligned}$$

## ۵-۲ توصیف فضای حالت سیستم‌های کنترل

در بخش‌های قبل به توصیف ورودی - خروجی سیستم به صورت تابع تبدیل در حوزه  $s$  پرداختیم. مدل‌سازی سیستم با تابع تبدیل، براساس معادلات دیفرانسیل توصیف کننده رابطه بین ورودی و خروجی اجزاء دینامیکی تشکیل دهنده سیستم است. هدف از این بخش معرفی متغیر دیگری به نام حالت سیستم است و با بکارگیری این متغیر، توصیف فضای حالت سیستم را ارایه خواهیم کرد.

برای مثالی از حالت یک سیستم، یک مسابقه فوتبال را در نظر بگیرید، که در آن ورودی سیستم تلاشی است که تیم‌ها در بازی بکار می‌برند. خروجی نیز تعداد گلهای بدست آمده در پایان مسابقه است. یک انتخاب برای حالت سیستم می‌تواند نتیجه مسابقه در هر لحظه از زمان در طول مسابقه باشد. همانطور که مشخص است از رابطه ورودی - خروجی سیستم تنها یک دیدکلی از مسابقه پیدا می‌کنیم، در حالیکه با بکارگیری حالت سیستم می‌توان از جزئیات مسابقه در هر لحظه از زمان در طول مسابقه اطلاع پیدا کرد. برای مثال دیگر، مدار RLC شکل

۲۵-۲ را در نظر بگیرید. از روش‌های بخش‌های قبل می‌توان یک رابطه ورودی - خروجی برای این مدار با ورودی  $v_i(t)$  و خروجی  $v_o(t)$  پیدا کرد و تابع تبدیل آنرا تعیین نمود. این تابع تبدیل تنها تغییرات  $i_1(t)$  را برای ولتاژ‌های مختلف  $v_i(t)$  نشان خواهد داد. لیکن با مشاهده این رابطه نمی‌توان به تغییرات جریانهای ورودی  $i_1(t)$  و  $i_2(t)$  در دو حلقه مدار پی برد. در واقع برای زیر نظر داشتن تغییرات جریانهای دو حلقه (که به عنوان متغیرهای حالت سیستم



شکل ۲۵-۲ مدار RLC

می‌توانند در نظر گرفته شوند) باید از توصیفی از سیستم استفاده نمود که متغیرهایی از داخل و ساختار داخلی سیستم را نیز شامل شود. این چنین امکانی با استفاده از مدلسازی فضای حالت بدست خواهد آمد. در حالت کلی "حالت" یک مجموعه از مقادیر است، که اگر همراه با ورودی سیستم معلوم باشد (مقادیر آنها در دسترس باشد)، آنگاه می‌توان از رفتار و تغییرات حالت‌های آینده و خروجی به طور دقیق اطلاع حاصل کرد.

حالت یک سیستم لزوماً منحصر بفرد نیست. برای نمونه، در مثال مسابقه فوتبال متغیرهای حالت می‌توانند روحیات تیم در طول مسابقه باشند و همانطور که در این مثال مشهود است، برخلاف خروجی و ورودی، حالت همیشه یک متغیر قابل اندازه‌گیری نیست. برای یک سیستم می‌توان تعداد بسیار زیادی نمایش فضای حالت در نظر گرفت و این نمایشها به متغیرهای حالت انتخاب شده بستگی خواهند داشت.

در اینجا، حالت<sup>۱</sup>، متغیرهای حالت<sup>۲</sup>، بردار حالت<sup>۳</sup>، و فضای حالت<sup>۴</sup> را تعریف می‌کنیم. حالت. حالت یک سیستم دینامیکی کوچکترین مجموعه از متغیرها (به نام متغیرهای

1- State

2- State variables

3- State vector

4- State space

حالت) است که اطلاع از این متغیرها در زمان  $t = 0$  همراه با اطلاع از ورودی برای  $t \geq 0$  رفتار سیستم را برای هر زمان  $t \geq 0$  به طور کامل توصیف می‌کند.

بنابراین، حالت یک سیستم دینامیکی در زمان  $t$  توسط حالت در زمان  $0$  و ورودی برای  $t \geq 0$  به طور منحصر بفردی تعیین می‌شود و مستقل از حالت و ورودی قبل از  $0$  است. در این کتاب  $t$  عموماً برابر صفر در نظر گرفته خواهد شد.

توجه کنید که مفهوم و اینده حالت به هیچ وجه منحصر به سیستم‌های فیزیکی نیست و قابل اعمال به سیستم‌های بیولوژیکی، اقتصادی، اجتماعی و سایر سیستم‌ها نیز است. متغیرهای حالت، متغیرهای داده و حالت سیستم دینامیکی، متغیرهایی هستند که کوچکترین مجموعه متغیرها را تشکیل داده و حالت سیستم دینامیکی را تعیین می‌کنند. اگر حداقل  $n$  متغیر  $x_1, x_2, \dots, x_n$  لازم است تا رفتار یک سیستم دینامیکی را بطور کامل توصیف کند، آنگاه  $n$  چنین متغیرهایی یک مجموعه از متغیرهای حالت هستند.

بردار حالت. اگر  $n$  متغیر حالت برای توصیف کامل رفتار یک سیستم داده شده کافی باشد، آنگاه این  $n$  متغیرهای حالت را می‌توان به صورت  $\mathbf{x}$  مولفه‌های یک بردار در نظر گرفت. این چنین برداری را یک بردار حالت می‌نامند. بنابراین، بردار حالت برداری است که حالت سیستم  $(t)$  را برای زمان  $t > 0$  با دادن حالت در  $t = 0$  و ورودی  $(t)$  برای  $t > 0$  بطور منحصر بفردی تعیین می‌کند.

فضای حالت. فضای  $n$ -بعدی که محورهای مختصات آن شامل محور  $x_1, x_2, \dots, x_n$  محور  $\mathbf{x}$  است، فضای حالت نامیده می‌شود. هر حالت در فضای حالت به صورت یک نقطه نمایش داده می‌شود.

## ۱-۵-۲ بدست آوردن معادلات حالت از تابع تبدیل

سیستمی را با یک ورودی و یک خروجی در نظر بگیرید. فرض کنید که خروجی این سیستم نه تنها به ورودی آن بلکه به نرخ تغییر خروجی نیز بستگی داشته باشد. یعنی آنکه

$$(1-5-2) \quad y(t) = \frac{1}{a} \dot{y}(t) - \frac{b}{a} u(t)$$

که در آن  $a$  و  $b$  مقادیر اسکالر،  $(t)$  اخراجی سیستم در زمان  $t$  و  $(t)$  ورودی سیستم در زمان  $t$  است. همچنین  $(t) = \frac{d}{dt} y(t) = Dy(t)$  معادله (۱-۵-۲) را به صورت زیر نیز می‌توان

نوشت

$$\dot{y}(t) = ay(t) + bu(t) \quad (2-5-2)$$

حال اگر حالت  $x_1(t)$  را به صورت خروجی  $y(t)$  تعریف کنیم، آنگاه

$$\dot{x}_1(t) = ax_1(t) + bu(t) \quad (3-5-2)$$

$$y(t) = x_1(t) \quad \text{و}$$

معادلات بالا یک صورت بسیار ساده از معادلات حالت و خروجی و یا توصیف فضای حالت سیستم می‌باشند. اکنون این توصیف را به حالت‌های کلی تری تعمیم می‌دهیم. نمایشهای ماتریسی. یک حالت کلی تر از معادله (۲-۵-۲)، عبارت است از

$$D^T y(t) + a_1 D^T y(t) + a_2 D y(t) + a_3 y(t) = b_0 u(t) \quad (4-5-2)$$

اکنون متغیرهای زیر را تعریف کنید

$$x_1(t) = y(t)$$

$$x_2(t) = Dx_1(t) = Dy(t)$$

$$x_3(t) = Dx_2(t) = D^T y(t)$$

آنگاه معادله (۴-۵-۲) را می‌توان به صورت زیر نوشت

$$\begin{bmatrix} \dot{x}_1(t) \\ \dot{x}_2(t) \\ \dot{x}_3(t) \end{bmatrix} = \begin{bmatrix} 0 & 1 & 0 \\ 0 & 0 & 1 \\ -a_3 & -a_2 & -a_1 \end{bmatrix} \begin{bmatrix} x_1(t) \\ x_2(t) \\ x_3(t) \end{bmatrix} + \begin{bmatrix} 0 \\ 0 \\ b_0 \end{bmatrix} u(t) \quad (5-5-2)$$

$$y(t) = [1 \quad 0 \quad 0] \begin{bmatrix} x_1(t) \\ x_2(t) \\ x_3(t) \end{bmatrix} \quad \text{و}$$

یا، به عبارت کلی تر

$$\dot{\mathbf{x}}(t) = A\mathbf{x}(t) + Bu(t) \quad (6-5-2)$$

$$y(t) = C\mathbf{x}(t) + Du(t)$$

که در آن A ماتریس ضریب بردار حالت  $(t)x$  است که آنرا ماتریس حالت<sup>۱</sup> می‌نامند، B را ماتریس ورودی<sup>۲</sup>، C را ماتریس خروجی<sup>۳</sup> و D را ماتریس انتقال مستقیم<sup>۴</sup> می‌نامند. انتقال مستقیم یک رابطه مستقیم بین خروجی و ورودی سیستم را نشان می‌دهد.

اکنون حالت کلی تر را در نظر می‌گیریم، که در آن مشتقات ورودی نیز در معادله دیفرانسیل سیستم حضور دارند. به عنوان مثال، معادله دیفرانسیل زیر را در نظر بگیرید

$$D^r y(t) + a_r D^{r-1} y(t) + \dots + a_1 D y(t) + a_0 y(t) = b_r D^r u(t) + b_{r-1} D^{r-1} u(t) + \dots + b_1 D u(t) + b_0 u(t) \quad (7-5-2)$$

یا

$$(D^r + a_r D^{r-1} + \dots + a_1 D + a_0)y(t) = (b_r D^r + b_{r-1} D^{r-1} + \dots + b_1 D + b_0)u(t) \quad (8-5-2)$$

اکنون متغیر  $(t)z$  را چنان تعریف می‌کنیم که

$$u(t) = (D^r + a_r D^{r-1} + \dots + a_1 D + a_0)z(t) \quad (9-5-2)$$

$$y(t) = (b_r D^r + b_{r-1} D^{r-1} + \dots + b_1 D + b_0)z(t)$$

و سپس حالتها را می‌توان به صورت زیر تعریف کرد

$$x_1(t) = z(t)$$

$$x_2(t) = Dz(t)$$

$$x_3(t) = D^2 z(t)$$

که نمایشی بدین صورت می‌دهند

$$\dot{x}(t) = \begin{bmatrix} 0 & 1 & 0 \\ 0 & 0 & 1 \\ -a_r & -a_{r-1} & -a_1 \end{bmatrix} x(t) + \begin{bmatrix} 0 \\ 0 \\ 1 \end{bmatrix} u(t) \quad (10-5-2)$$

$$y(t) = \begin{bmatrix} b_r & b_{r-1} & b_1 \end{bmatrix} x(t)$$

که در آن

$$x(t) = \begin{bmatrix} x_1(t) \\ x_2(t) \\ x_3(t) \end{bmatrix}$$

۱- State matrix

۲- Input matrix

۳- Output matrix

۴- Direct transmission

از معادله (۱۱-۵-۲)، مشاهده می شود که صورت کلی تابع تبدیل عبارتست از

$$(D^n + a_{n-1}D^{n-1} + \dots + a_1D + a_0)y(t) = (b_m D^m + b_{m-1}D^{m-1} + \dots + b_1D + b_0)u(t) \quad (11-5-2)$$

که در آن  $n < m$ . در این صورت بردار  $\mathbf{x}$ - بعدی حالت برابر است با

$$\mathbf{x}^T(t) = [x_1(t) \ x_2(t) \ \dots \ x_n(t)]$$

با فرض شرایط اولیه صفر و گرفتن تبدیل لاپلاس از معادله (۱۱-۵-۲)، داریم

$$\frac{Y(s)}{U(s)} = \frac{b_{n-1}s^{n-1} + b_{n-2}s^{n-2} + \dots + b_1s + b_0}{s^n + a_{n-1}s^{n-1} + \dots + a_1s + a_0}. \quad (12-5-2)$$

که معادلات حالت و خروجی را در حالت کلی بدین صورت می دهد

$$\begin{bmatrix} \dot{x}_1(t) \\ \dot{x}_2(t) \\ \vdots \\ \dot{x}_{n-1}(t) \\ \dot{x}_n(t) \end{bmatrix} = \begin{bmatrix} 0 & 1 & 0 & \dots & 0 \\ 0 & 0 & 1 & \dots & 0 \\ \vdots & \vdots & \vdots & \ddots & \vdots \\ 0 & 0 & 0 & \dots & 1 \\ -a_0 & -a_1 & -a_2 & \dots & -a_{n-1} \end{bmatrix} \begin{bmatrix} x_1(t) \\ x_2(t) \\ \vdots \\ x_{n-1}(t) \\ x_n(t) \end{bmatrix} + \begin{bmatrix} 0 \\ 0 \\ \vdots \\ 0 \\ 1 \end{bmatrix} u(t) \quad (13-5-2)$$

$$y(t) = [b_0 \ b_1 \ \dots \ b_{n-2} \ b_{n-1}] \begin{bmatrix} x_1(t) \\ x_2(t) \\ \vdots \\ x_{n-1}(t) \\ x_n(t) \end{bmatrix}$$

توجه کنید که معادلات بالا، تنها یک نمایش از تعداد بی شماری نمایش‌های ممکن فضایی حالت تابع تبدیل (۱۲-۵-۲) است. با نمایش‌های دیگر فضای حالت، در بخش بعد آشنا خواهیم شد. همانطور که قبلاً نیز اشاره شد، نمایش‌های مختلف فضای حالت از سیستم، ... روش تعریف متغیرهای حالت بستگی دارد.

## مثال ۱-۵-۲

تابع تبدیل سیستمی عبارتست از

$$\frac{Y(s)}{U(s)} = \frac{s^3 + 3s + 5}{s^3 + s^2 + 2s + 1}$$

از معادله‌های (۱۲-۲-۵) و (۱۳-۲-۵)، نمایش فضای حالت این سیستم عبارتست از

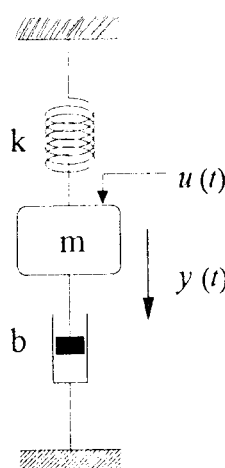
$$\begin{bmatrix} \dot{x}_1(t) \\ \dot{x}_2(t) \\ \dot{x}_3(t) \end{bmatrix} = \begin{bmatrix} 0 & 1 & 0 \\ 0 & 0 & 1 \\ -1 & -2 & -1 \end{bmatrix} \begin{bmatrix} x_1(t) \\ x_2(t) \\ x_3(t) \end{bmatrix} + \begin{bmatrix} 0 \\ 0 \\ 1 \end{bmatrix} u(t)$$

و

$$y(t) = \begin{bmatrix} 5 & 3 & 1 \end{bmatrix} \begin{bmatrix} x_1(t) \\ x_2(t) \\ x_3(t) \end{bmatrix}$$

## مثال ۲-۵-۲

سیستم مکانیکی نشان داده شده در شکل ۲-۲۶ را در نظر بگیرید. در این سیستم ( $u(t)$ ) خروجی سیستم (نیروی خارجی) و ( $y(t)$ ) (جایجاوی فنر) می‌باشد.



شکل ۲-۲۶ سیستم مکانیکی.

از قانون دوم نیوتون، معادله دیفرانسیل سیستم به صورت زیر است

$$m D^2 y + b D y + k y = u$$

با تعریف متغیرهای حالت به صورت زیر

$$x_1(t) = y(t)$$

$$x_2(t) = \dot{y}(t)$$

بدست می‌آوریم

$$\dot{x}_1 = x_2$$

$$\dot{x}_2 = -\frac{1}{m}(-k y - b \dot{y}) + \frac{1}{m} u$$

یا

$$\dot{x}_1 = x_2$$

$$\dot{x}_2 = -\frac{k}{m}x_1 - \frac{b}{m}x_2 + \frac{1}{m}u$$

معادله خروجی نیز عبارتست از

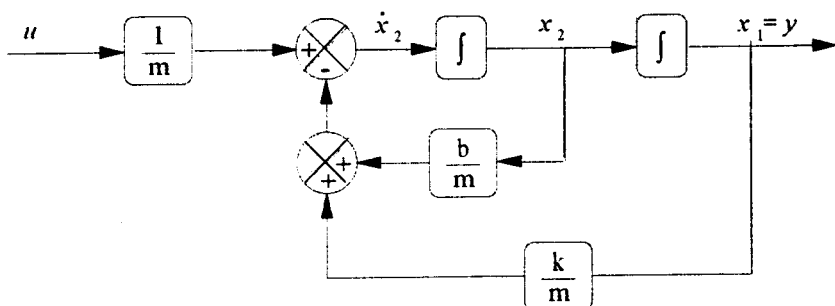
$$y = x_1$$

بنابراین معادله حالت و خروجی سیستم با تعریف بردار حالت  $x^T(t) = [x_1(t) \ x_2(t)]$  به صورت زیر است

$$\dot{x}(t) = \begin{bmatrix} 0 & 1 \\ -\frac{k}{m} & -\frac{b}{m} \end{bmatrix} x(t) + \begin{bmatrix} 0 \\ \frac{1}{m} \end{bmatrix} u(t)$$

$$y(t) = \begin{bmatrix} 1 & 0 \end{bmatrix} x(t)$$

دیاگرام بلوکی سیستم در شکل ۲۷-۲ رسم شده است.



شکل ۲۷-۲ دیاگرام بلوکی سیستم نشان داده شده در شکل ۲۶-۲

در دو مثال قبل، معادلات حالت و خروجی بدست آمده (توصیف فضای حالت سیستم)

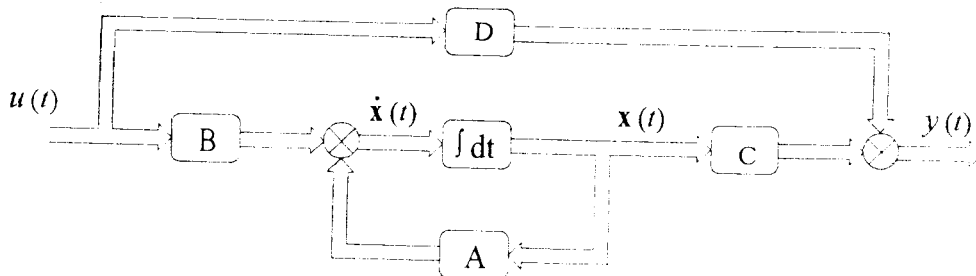
به صورت کلی زیر هستند

$$\dot{\mathbf{x}}(t) = \mathbf{A}\mathbf{x}(t) + \mathbf{B}\mathbf{u}(t) \quad (14-5-2)$$

$$\mathbf{y}(t) = \mathbf{C}\mathbf{x}(t) + \mathbf{D}\mathbf{u}(t) \quad (15-5-2)$$

در واقع معادله (۱۴-۵-۲)، معادله حالت و معادله (۱۵-۵-۲)، معادله خروجی سیستم خطی و تغییرنپذیر با زمان است.

از آنجا که توصیف فضای حالت سیستم توسط متغیرهای حالت آن، از رفتار و ساختار داخلی سیستم نیز تصویری دقیق و روشن به مهندس طراح سیستم کنترل ارایه می‌دهد، آنرا توصیف داخلی<sup>۱</sup> سیستم نیز نامیده‌اند. و از آنجاییکه توصیف تابع تبدیل سیستم تنها یک نمایش ورودی - خروجی از سیستم است، آنرا توصیف خارجی<sup>۲</sup> سیستم نامیده‌اند. یک نمایش دیاگرام بلوکی از سیستم داده شده با معادلات (۱۴-۵-۲) و (۱۵-۵-۲) در شکل ۲۸-۲ نشان داده شده است. در این شکل خطهای دوبل نشان دهنده برداری بودن متغیرها هستند.



شکل ۲۸-۲ دیاگرام بلوکی سیستم خطی زمان پیوسته تغییرنپذیر با زمان

#### ۲-۵-۳ انتخاب متغیرهای حالت

اولین قدم در راه بکارگیری مفاهیم فضای حالت، جهت تحلیل و طراحی سیستم‌های کنترل، انتخاب متغیرهای حالت سیستم است. همانطور که قبلاً اشاره شد، متغیرهای حالت

نشان دهنده ساختار یک سیستم، منحصر بفرد نیست و به هیچ وجه نیز راه منحصر بفردي برای تعین آنها وجود ندارد. اين مطلب را به خوبی در مثال مسابقه فوتبال مشاهده کردیم. دو دسته متغيرهای حالت انتخاب شده در آن مثال به ترتیب، نتیجه مسابقه در طول مسابقه و روحیات تیم در طول مسابقه بودند. هر کدام از این دو دسته متغيرهای حالت به نوبه خود می‌توانند اطلاعات مفیدی از ساختار داخلی مسابقه بدست دهند. در حالت کلی برای سیستم‌های فیزیکی، روش‌های مختلفی برای تعین متغيرهای حالت در دسترس می‌باشند که برای بررسی بیشتر آنها می‌توانید به مراجع و کتابشناسی فصل هفتمن مراجعه نمایید. در اینجا، انتخاب متغيرهای حالت بر اساس متغيرهای فیزیکی<sup>۱</sup> ارایه خواهد شد.

انتخاب متغيرهای حالت در روش متغيرهای فیزیکی بر اساس عناصر نگهدارنده - انرژی<sup>۲</sup> سیستم بنا نهاده شده است. جدول ۱-۲ بعضی از عناصر متداول نگهدارنده - انرژی را که در سیستم‌های فیزیکی وجود دارند، همراه با معادلات انرژی متناظر نشان می‌دهد. متغير فیزیکی در معادله انرژی برای هر عنصر نگهدارنده - انرژی می‌تواند به عنوان متغير حالت سیستم انتخاب شود. البته باید دقت کرد، همانطور که در تعریف متغيرهای حالت یک سیستم در اول بخش آورده شده است، این مجموعه کوچکترین مجموعه متغيرهای لازم برای تعیین حالت می‌باشد. به عبارت دیگر اگر  $n_{x_1, x_2, \dots, x_n}$  متغيرهای حالت یک سیستم باشند، آنگاه  $n$  حداقل تعداد متغيرهای لازم برای توصیف کامل ساختار داخلی آن سیستم خواهد بود. به این چنین مدلی، مدل حالت می‌نیمال گویند. در اکثر کاربردهای عملی، مدل‌های حالت غیر می‌نیمال، ارزش چندانی ندارد. مدل حالت می‌نیمال، با انتخاب متغيرهای فیزیکی ناوایسته به عنوان

جدول ۱-۲ عناصر نگهدارنده - انرژی

متغير فیزیکی	انرژی	عنصر
ولتاژ $v$	$Cv^2/2$	خازن C
جريان $i$	$Li^2/2$	سلف L
سرعت انتقالی $v$	$Mv^2/2$	جرم M
سرعت چرخشی $\omega$	$J\omega^2/2$	ممان اینرسی J
جابجایی $x$	$kx^2/2$	فنر k

متغیرهای حالت، بدست آورده می‌شود. متغیرهای حالت ناوابسته<sup>۱</sup>، متغیرهای حالتی هستند که نمی‌توان آنها را برابر حسب متغیرهای حالت تعیین شده دیگر بیان کرد. به عنوان نمونه اگر برای سه متغیر حالت  $x_1, x_2, x_3$  نوشتند یک متغیر مانند  $x_4$  بر حسب دو متغیر دیگر، مانند  $x_4 = \alpha x_1 + \beta x_2$  و  $\beta$  اسکالارهای غیر صفر)، امکان پذیر باشد این سه متغیر را وابسته و در غیر اینصورت ناوابسته می‌گویند.

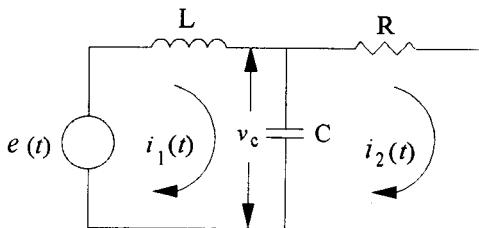
به مثالهای زیر برای تعیین مدل حالت می‌نیمال توجه کنید.

### مثال ۳-۵-۲

سیستم نشان داده شده در شکل ۲۹-۲ را در نظر بگیرید. با انتخاب متغیرهای حالت فیزیکی مناسب، معادلات حالت و خروجی سیستم را بنویسید. ورودی سیستم ولتاژ  $e(t)$  و خروجی آن ولتاژ خازن  $v_c(t)$  است.

معادلات دیفرانسیل حاکم بر مدار عبارتند از

$$\begin{aligned} e(t) &= L \frac{di_1(t)}{dt} + v_c(t) \\ &= Ri_2(t) - v_c(t) \end{aligned}$$



شکل ۲۹-۲ مدار الکتریکی مثال ۳-۵-۲

با انتخاب متغیرهای حالت به صورت  $x_1 = i_1(t)$  و  $x_2 = v_c(t)$ ، از معادله اول داریم

$$\dot{x}_1(t) = -\frac{1}{L}x_2(t) + \frac{1}{L}e(t)$$

معادله ولتاژ خازن عبارتست از

$$v_c(t) = \frac{1}{C} \int (i_1(t) - i_2(t)) dt$$

و بنابراین

$$\frac{dv_c}{dt} = \frac{1}{C} (i_1(t) - i_2(t))$$

$$= \frac{1}{C} \left( i_1(t) - \frac{1}{R} v_c(t) \right)$$

با جایگزینی برای  $v_c(t)$  و  $i_1(t)$ ، بدست می‌آوریم

$$\dot{x}_1(t) = \frac{1}{C} x_1(t) - \frac{1}{RC} x_2(t)$$

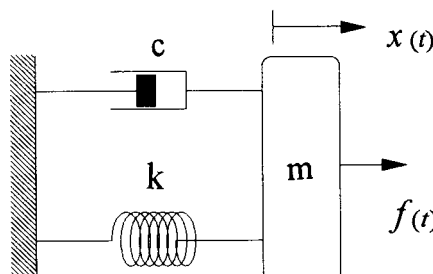
اکنون با نوشتتن معادله بردار ماتریسی برای  $x_1$  و  $x_2$  و با توجه به اینکه  $y(t) = x_1(t)$  داریم

$$\begin{bmatrix} \dot{x}_1(t) \\ \dot{x}_2(t) \end{bmatrix} = \begin{bmatrix} 0 & -\frac{1}{L} \\ \frac{1}{C} & -\frac{1}{RC} \end{bmatrix} \begin{bmatrix} x_1(t) \\ x_2(t) \end{bmatrix} + \begin{bmatrix} 1/L \\ 0 \end{bmatrix} e(t)$$

$$y(t) = \begin{bmatrix} 0 & 1 \end{bmatrix} \begin{bmatrix} x_1(t) \\ x_2(t) \end{bmatrix}$$

#### مثال ۴-۵-۲

سیستم مکانیکی نشان داده شده در شکل ۳۰-۲ را در نظر بگیرید. در این سیستم نیروی ورودی  $f(t)$  است و خروجی سیستم، جابجایی جرم  $x(t)$  است. معادلات حالت و خروجی



شکل ۳۰-۲ سیستم مکانیکی

سیستم را بنویسید. نخست معادله دیفرانسیل حاکم بر سیستم را بدست می‌آوریم. از قانون دوم نیوتون داریم که برایند کلیه نیروهای خارجی عمل کننده بر  $m$ ، برابر با  $mD^2x(t)$  می‌باشد، با فرض آنکه جرم از حالت سکون در  $x=0$  به طرف پایین به حرکت در آورده می‌شود،

نیروهای عملکرنده بر آن از طرف فنر و میرا کننده  $C$ ، در جهت بالا کشیدن آن، به ترتیب عبارتند از  $kx(t)$  و  $Dx(t)$ . بنابراین داریم

$$m \frac{d^2x(t)}{dt^2} = -kx(t) - C \frac{dx(t)}{dt} + f(t)$$

با انتخاب متغیرهای حالت به صورت  $x_1(t) = x(t)$  (جابجایی فنر و جرم) و  $x_2(t) = \dot{x}(t)$  (سرعت جرم)، معادلات حالت و خروجی سیستم عبارت خواهند بود از

$$\begin{bmatrix} \dot{x}_1(t) \\ \dot{x}_2(t) \end{bmatrix} = \begin{bmatrix} 0 & 1 \\ -\frac{k}{m} & -\frac{C}{m} \end{bmatrix} \begin{bmatrix} x_1(t) \\ x_2(t) \end{bmatrix} + \begin{bmatrix} 0 \\ \frac{1}{m} \end{bmatrix} u(t)$$

$$y(t) = \begin{bmatrix} 1 & 0 \end{bmatrix} \begin{bmatrix} x_1(t) \\ x_2(t) \end{bmatrix}$$

### مثال ۵-۵-۲

مدار الکتریکی نشان داده شده در شکل ۳۱-۲ را در نظر بگیرید. معادلات حالت و خروجی آن را برای ورودی جریان و خروجی  $v_1(t)$  بنویسید.

در این مدار پنج عنصر نگهدارنده انرژی وجود دارد. این پنج عنصر عبارتند از سلفهای  $L_1, L_2, L_3$  و خازن‌های  $C_1$  و  $C_2$ . لذا می‌توان پنج متغیر حالت فیزیکی برای آن در نظر گرفت.

معادلات دیفرانسیل حاکم بر مدار عبارتند از

$$v_1(t) = L_1 \frac{d}{dt} i_1(t)$$

$$v_2(t) = L_2 \frac{d}{dt} i_2(t) + v_1(t)$$

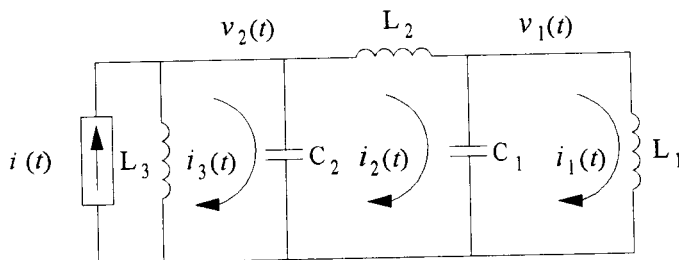
$$v_3(t) = L_3 \frac{d}{dt} i_3(t)$$

$$i_1(t) = C_1 \frac{d}{dt} v_1(t) + i_2(t)$$

$$i_2(t) = i_3(t) + C_2 \frac{d}{dt} v_3(t) + i_4(t)$$

با نوشتن معادله حلقه در برگیرنده  $L_1, L_2, L_3$  و انتگرال گیری از آن داریم

$$L_1 i_1(t) = L_2 i_2(t) + L_3 i_3(t) + k$$



شکل ۳۱-۲ مدار الکتریکی

که در آن ثابت  $k$  تابعی از شرایط اولیه است. این معادله نشان می‌دهد که سه متغیر جریان در سلف‌ها (با فرض معلوم بودن شرایط اولیه)، مستقل نمی‌باشند و در واقع یکی از این جریانها را می‌توان به صورت ترکیب خطی از دیگران نوشت. بنابراین این مدار تنها چهار متغیر حالت فیزیکی نوابسته دارد. این چهار متغیر را به صورت زیر انتخاب می‌کنیم

$$x_1(t) = v_1(t), \quad x_2(t) = v_2(t), \quad x_3(t) = i_1(t), \quad x_4(t) = i_2(t)$$

دقیق کنید که دو متغیر حالت  $x_3(t)$  و  $x_4(t)$  را می‌توانستیم به صورتهای دیگر (به عنوان نمونه با استفاده از  $i_3(t)$  و  $i_4(t)$ ) نیز بنویسیم. با حذف جریان وابسته انتخاب شده  $i_3(t)$  و  $i_4(t)$  استفاده از معادلات مدار (با فرض صفر بودن شرایط اولیه جریانها)، داریم

$$\begin{bmatrix} \dot{x}_1(t) \\ \dot{x}_2(t) \\ \dot{x}_3(t) \\ \dot{x}_4(t) \end{bmatrix} = \begin{bmatrix} 0 & 0 & -\frac{1}{C_1} & \frac{1}{C_1} \\ 0 & 0 & -\frac{L_1}{L_1 C_2} & -\frac{L_1 + L_2}{L_1 C_2} \\ \frac{1}{L_1} & 0 & 0 & 0 \\ -\frac{1}{L_1} & \frac{1}{L_2} & 0 & 0 \end{bmatrix} \begin{bmatrix} x_1(t) \\ x_2(t) \\ x_3(t) \\ x_4(t) \end{bmatrix} + \begin{bmatrix} 0 \\ 0 \\ \frac{1}{C_2} \\ 0 \end{bmatrix} u(t)$$

$$y(t) = \begin{bmatrix} 1 & 0 & 0 & 0 \end{bmatrix} \begin{bmatrix} x_1(t) \\ x_2(t) \\ x_3(t) \\ x_4(t) \end{bmatrix}$$

### ۳-۵-۲ رابطه بین تابع تبدیل و معادلات فضای حالت

در اینجا نشان خواهیم داد که چگونه از معادله فضای حالت، تابع تبدیل یک سیستم را بدست می آوریم. یک سیستم با تابع تبدیل زیر را در نظر بگیرید

$$\frac{Y(s)}{U(s)} = G(s) \quad (16-5-2)$$

این سیستم می تواند با معادلات زیر در فضای حالت نمایش داده شود:

$$\dot{x}(t) = Ax(t) + Bu(t) \quad (17-5-2)$$

$$y(t) = Cx(t) + Du(t) \quad (18-5-2)$$

که در آن  $x(t)$  بردار حالت،  $u(t)$  ورودی، و  $y(t)$  خروجی است. تبدیل لاپلاس معادله های

(۱۷-۵-۲) و (۱۸-۵-۲) عبارتست از

$$sX(s) - x(0) = AX(s) + BU(s) \quad (19-5-2)$$

$$Y(s) = CX(s) + DU(s) \quad (20-5-2)$$

با توجه به اینکه تابع تبدیل برای شرایط اولیه صفر تعریف شده است، لذا در معادله (۱۹-۵-۲)،  $x(0)$  را برابر صفر قرار می دهیم. آنگاه داریم

$$sX(s) - AX(s) = BU(s) \quad \text{یا}$$

$$(sI - A)X(s) = BU(s)$$

با پیش ضرب کردن طرفین معادله در  $(sI - A)^{-1}$ ، بدست می آوریم

$$X(s) = (sI - A)^{-1}BU(s) \quad (21-5-2)$$

جایگزینی معادله (۲۱-۵-۲) در معادله (۲۰-۵-۲)، می دهد

$$Y(s) = [C(sI - A)^{-1}B + D]U(s) \quad (22-5-2)$$

با مقایسه معادله های (۲۲-۵-۲) و (۱۶-۵-۲)، داریم

$$G(s) = C(sI - A)^{-1}B + D \quad (23-5-2)$$

این معادله، رابطه بین تابع تبدیل سیستم و ماتریس های  $A$ ,  $B$ ,  $C$  و  $D$  را نشان می دهد.

### مثال ۴-۵-۲

سیستم مکانیکی نشان داده شده در شکل ۲۶-۲ را در نظر بگیرید. معادله های فضای

حالت این سیستم در مثال ۲-۵-۲ بدست آورده شده‌اند. از مثال ۲-۵-۲، داریم

$$A = \begin{bmatrix} 0 & 1 \\ -\frac{k}{m} & -\frac{b}{m} \end{bmatrix}, \quad B = \begin{bmatrix} 0 \\ \frac{1}{m} \end{bmatrix}, \quad C = \begin{bmatrix} 1 & 0 \end{bmatrix}, \quad D = 0.$$

با جایگزینی A, B, C و D در معادله (۲۳-۵-۲)، بدست می‌آوریم

$$\begin{aligned} G(s) &= C(sI - A)^{-1}B + D \\ &= \begin{bmatrix} 1 & 0 \end{bmatrix} \left\{ \begin{bmatrix} s & 0 \\ 0 & s \end{bmatrix} - \begin{bmatrix} 0 & 1 \\ -\frac{k}{m} & -\frac{b}{m} \end{bmatrix} \right\}^{-1} \begin{bmatrix} 0 \\ \frac{1}{m} \end{bmatrix} + 0 \\ &= \begin{bmatrix} 1 & 0 \end{bmatrix} \begin{bmatrix} s & -1 \\ \frac{k}{m} & s + \frac{b}{m} \end{bmatrix}^{-1} \begin{bmatrix} 0 \\ \frac{1}{m} \end{bmatrix} \end{aligned}$$

از آنجاییکه

$$\begin{bmatrix} s & -1 \\ \frac{k}{m} & s + \frac{b}{m} \end{bmatrix}^{-1} = \frac{1}{s^2 + \frac{b}{m}s + \frac{k}{m}} \begin{bmatrix} s + \frac{b}{m} & 1 \\ -\frac{k}{m} & s \end{bmatrix}$$

داریم

$$\begin{aligned} G(s) &= \begin{bmatrix} 1 & 0 \end{bmatrix} \frac{1}{s^2 + \frac{b}{m}s + \frac{k}{m}} \begin{bmatrix} s + \frac{b}{m} & 1 \\ -\frac{k}{m} & s \end{bmatrix} \begin{bmatrix} 0 \\ \frac{1}{m} \end{bmatrix} \\ &= \frac{1}{ms^2 + bs + k} \end{aligned}$$

که تابع تبدیل سیستم است. توجه کنید که این تابع تبدیل را می‌توانستیم مستقیماً از معادله دیفرانسیل سیستم

$$mD^2y + bDy + ky = u$$

پس از گرفتن تبدیل لاپلاس با شرایط اولیه صفر بدست آوریم.

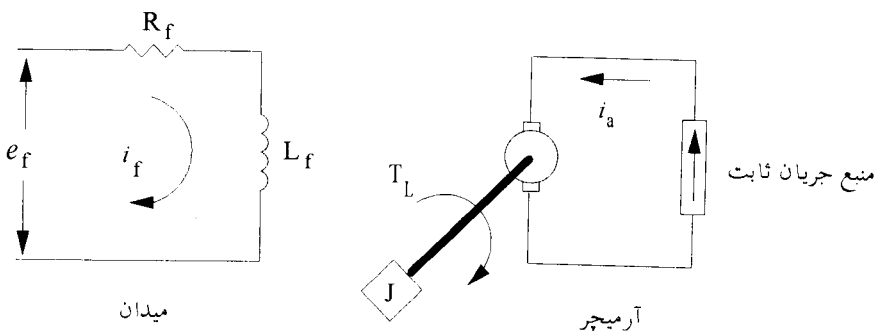
## ۲-۶ مدلسازی موتورهای DC

در این بخش با بکارگیری مفاهیم و ابزار توسعه یافته مدلسازی در بخش‌های قبل، به

مدلسازی موتورهای DC می‌پردازیم. موتورهای DC برای تبدیل کردن یک سیگنال ورودی الکتریکی به یک سیگنال خروجی مکانیکی بکار گرفته می‌شوند. این موتورها از لحاظ نحوه عملکرد به دو دسته کنترل میدان<sup>۱</sup> و کنترل آرمیچر<sup>۲</sup> تقسیم می‌شوند. در اینجا مدلسازی این دو دسته از موتورهای DC مورد بررسی قرار گرفته‌اند.

کنترل میدان. در کنترل میدان، همانطور که در شکل ۳۲-۲ نشان داده شده است، جریان آرمیچر ثابت نگه داشته شده است و در میدان از یک ولتاژ قابل تنظیم به عنوان ورودی به سیستم استفاده می‌شود. ولتاژ اعمال شده به میدان ( $e_f(t)$ ) است. گشتاور ایجاد شده توسط موتور متناسب با حاصلضرب جریان آرمیچر ( $i_a(t)$ )<sup>۳</sup> و فلوی<sup>۴</sup> میدان φ است. بنابراین

$$T(t) = K_f \phi i_a(t) \quad (1-6-2)$$



شکل ۳۲-۲ موتور DC با کنترل میدان

که در آن  $K_f$  برای هر موتوری ثابت است و به مجموع هادیهای آرمیچر، تعداد قطبها میدان و غیره بستگی دارد. ولتاژ اعمال شده به میدان ( $e_f(t)$ ) برای کاربردهای معمولی از خروجی یک آمپلی فایر یا یک ژنراتور DC در کار بردهایی که قدرت بیشتر مورد نیاز است، تأمین می‌گردد. در مدار میدان، مقاومت سیستم پیچها  $R_f$  و هدايت با  $L_f$  نشان داده می‌شوند. یک منحنی از فلو φ بر حسب جریان میدان  $i_a$  در شکل ۳۳-۲ نشان داده شده است. در محدوده‌ای که جریان میدان  $i_a$  به اندازه‌ای نرسیده است که باعث اشباع در میدان شود، رابطه φ

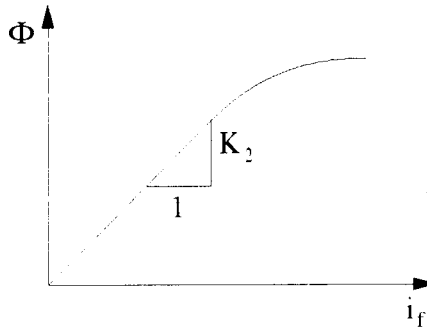
1- Field control

2- Armature control

3- Flux

4- Conductors

و آن خطی است. و بعد از اشباع از رابطه خطی تبعیت نمی‌کند. موتورهای مورد استفاده در سیستم‌های کنترل عموماً بر روی محدوده خطی بالا عمل خواهند کرد. لذا



شکل ۳۴-۲ نمودار فلو بر حسب جریان میدان

$$\phi = K_2 i_f \quad (2-6-2)$$

که در آن  $K_2$  شیب قسمت خطی منحنی نشان داده شده در شکل ۳۴-۲ است. با جایگزینی از معادله (۱-۶-۲) در معادله (۲-۶-۲)، داریم

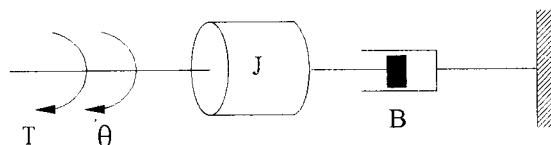
$$T = K_1 K_2 i_a i_f = K_m i_a i_f \quad (3-6-2)$$

که در آن  $K_m = K_1 K_2$

اگر همانطور که در شکل ۳۴-۲ نشان داده شده است، بار از یک ممان اینرسی و میراکننده تشکیل شده باشد و گشتاور بار  $T_L$  باشد، معادله گشتاور آرمیچر به صورت زیر نوشته می‌شود

$$T = BD\theta + JD^3\dot{\theta} + T_L \quad (4-6-2)$$

که در آن  $\theta$  موقعیت زاویه‌ای آرمیچر یا شفت موتور است. معادله ولتاژ مدار میدان عبارت است



شکل ۳۴-۲ مدل مار

$$L_f Di_f + R_f i_f = e_f \quad (5-6-2)$$

$$i_f = \frac{e_f}{R_f(\tau_f D + 1)} \quad (6-6-2)$$

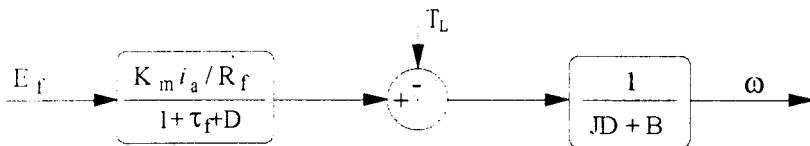
که در آن  $\tau_f = L_f/R_f$  ثابت زمانی مدار میدان است. با جایگزینی  $T$  از معادله (۴-۶-۲) و  $i_f$  از معادله (۶-۶-۲) در معادله (۳-۶-۲) و به دست آوردن  $\theta$ ، داریم

$$\theta = \frac{1}{JD + BD} \left[ \frac{(K_m i_a / R_f) e_f}{1 + \tau_f D} - T_L \right] \quad (7-6-2)$$

سرعت زاویه‌ای  $\omega$  را می‌توان با مشتق‌گیری از معادله (۷-۶-۲) بدست آورد

$$\omega = D\theta = \frac{1}{JD + BD} \left[ \frac{(K_m i_a / R_f) e_f}{1 + \tau_f D} - T_L \right] \quad (8-6-2)$$

نمایش دیاگرام بلوکی سیستم در شکل ۳۵-۲ نشان داده شده است.



شکل ۳۵-۲ دیاگرام بلوکی یک موتور DC با کنترل میدان

برای به دست آوردن معادلات فضای حالت با فرض  $\theta = 0$ ، از معادله‌های (۸-۶-۲) و (۹-۶-۲) داریم

$$JD\dot{\theta} = K_m i_a i_f - BD\theta \quad (9-6-2)$$

و

$$e_f = R_f i_f + L_f Di_f \quad (10-6-2)$$

با تعریف متغیرهای حالت  $x_1 = \theta$  و  $x_2 = i_f$  برای اعضاء نگهدارنده انرژی سیستم و  $e_f(t) = u(t)$  معادله‌های فضای حالت زیر را از معادله‌های (۹-۶-۲) و (۱۰-۶-۲) برای سیستم بدست می‌آوریم

$$\begin{bmatrix} \dot{x}_1(t) \\ \dot{x}_2(t) \end{bmatrix} = \begin{bmatrix} -\frac{B}{J} & \frac{K_m i_a}{J} \\ 0 & -\frac{R_f}{L_f} \end{bmatrix} \begin{bmatrix} x_1(t) \\ x_2(t) \end{bmatrix} + \begin{bmatrix} 0 \\ \frac{1}{L_f} \end{bmatrix} u(t) \quad (11-6-2)$$

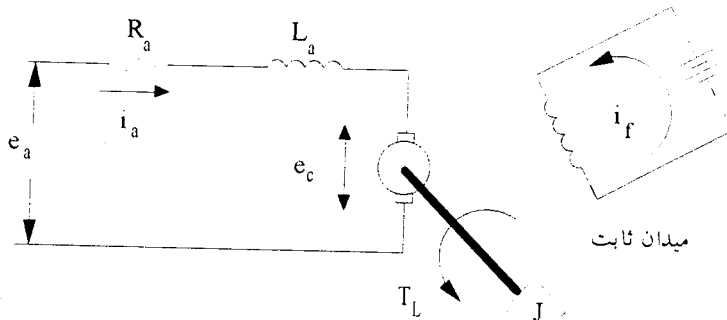
$$y(t) = \begin{bmatrix} 1 & 0 \end{bmatrix} \begin{bmatrix} x_1(t) \\ x_2(t) \end{bmatrix}$$

کنترل آرمیچر. در موتورهای DC با کنترل آرمیچر، سرعت توسط تنظیم ولتاژ اعمال شده به آرمیچر کنترل می‌شود. این ولتاژ معمولاً توسط یک ژنراتور فراهم می‌شود. یک موتور DC با کنترل آرمیچر در شکل ۳۶-۲ نشان داده شده است. هنگامیکه موتور آرمیچر در حال چرخش است ولتاژی برابر  $e_c$  متناسب با حاصلضرب فلو و سرعت القاء می‌شود. از آنجاییکه پلاریته این ولتاژ مخالف ولتاژ اعمال شده است، به آن نیروی محرک الکتریکی بازگشتی یا  $e_{emf}$  برگشتی<sup>۱</sup> می‌گویند. از آنجاییکه جریان میدان ثابت است، فلو ثابت بوده و بنابراین  $e_c$  متناسب با  $\omega$  می‌باشد. بنابراین

$$e_c = K_c \phi \omega \quad (12-6-2)$$

که در آن  $K_c$  یک ثابت است و برای هر موتوری مقداری مشخص دارد. با جایگزینی برای  $\phi$  از معادله (۲-۶-۲) در معادله (۱۲-۶-۲)، داریم

$$e_c = K_c K_t i_f \omega = K_c i_f \omega \quad (13-6-2)$$



شکل ۲-۳۶ موتور DC با کنترل آرمیچر

که در آن  $K_c = K_r K_\tau$ . معادله ولتاژ برای مدار آرمیچر عبارتست از

$$\begin{aligned} e_a - e_c &= R_a i_a + L_a D i_a \\ &= R_a (\tau_a D + 1) i_a \end{aligned} \quad (14-6-2)$$

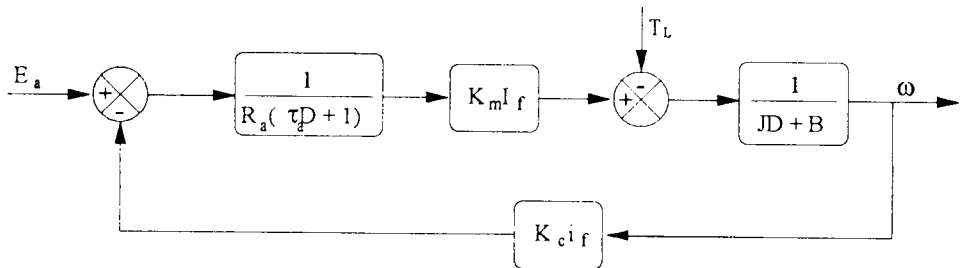
که در آن  $\tau_a = L_a / R_a$ , ثابت زمانی سیستم می‌باشد. گشتاور ایجاد شده توسط موتور عبارتست از

$$T = K_m i_f i_a \quad (15-6-2)$$

و معادله بالا نس گشتاور برای خروجی شفت عبارتست از

$$T = (BD + JD^\dagger) \theta + T_L \quad (16-6-2)$$

از معادله‌های (14-6-2)، (15-6-2) و (16-6-2)، دیاگرام بلوکی سیستم به صورت نشان داده شده در شکل ۳۷-۲ است.



شکل ۳۷-۲ دیاگرام بلوکی یک موتور DC با کنترل آرمیچر

برای بدست آوردن نمایش فضای حالت سیستم، با فرض  $\theta = 0$ , از معادله‌های (2-6-2) و (14-6-2)، همچنین از معادله‌های (15-6-2) و (16-6-2)، به ترتیب داریم

$$e_a = R_a i_a + L_a D i_a + K_c i_f D \theta \quad (17-6-2)$$

$$K_m i_f i_a = BD\theta + JD^\dagger \theta \quad (18-6-2)$$

با تعریف متغیرهای حالت فیزیکی  $x_1 = i_a$  و  $x_2 = D\theta$  (متغیرهای اعضای نگهدارنده انرژی در سیستم)، از معادله‌های (17-6-2) و (18-6-2)، بدست می‌آوریم

$$\dot{x}_1(t) = -\frac{K_c i_f}{L_a} x_2(t) - \frac{R_a}{L_a} x_1(t) + \frac{e_a}{L_a} \quad (19-6-2)$$

$$\dot{x}_2(t) = \frac{K_m i_f}{J} x_1(t) - \frac{B}{J} x_2(t) \quad (20-6-2)$$

با متغیرهای  $e_a$  و  $D\theta$  به عنوان متغیرهای ورودی و خروجی سیستم، از معادله‌های  
 $(19-6-2)$  و  $(20-6-2)$  داریم

$$\begin{bmatrix} \dot{x}_1(t) \\ \dot{x}_2(t) \end{bmatrix} = \begin{bmatrix} -\frac{R_a}{L_a} & -\frac{K_e i_f}{L_a} \\ \frac{K_m i_f}{J} & -\frac{B}{J} \end{bmatrix} \begin{bmatrix} x_1(t) \\ x_2(t) \end{bmatrix} + \begin{bmatrix} \frac{1}{L_a} \\ 0 \end{bmatrix} u(t) \quad (21-6-2)$$

$$y(t) = \begin{bmatrix} 1 & 0 \end{bmatrix} \begin{bmatrix} x_1(t) \\ x_2(t) \end{bmatrix}$$

### مسائل

$1-2$ - معادلات دیفرانسیل و شرایط اولیه حاکم بر سیستمی عبارتند از:

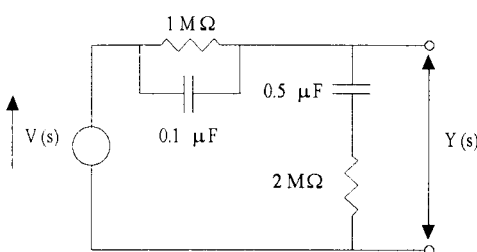
$$y(0) = 1, \quad Dy(0) = 4, \quad D^2y(t) + 6Dy(t) + 13y(t) = 5u(t) \quad (\text{الف})$$

$$y(0) = 1, \quad Dy(0) = 2, \quad D^2y(t) + 3Dy(t) + 4y(t) = vu(t) + 2t \quad (\text{ب})$$

$$y(0) = 4, \quad Dy(0) = 5, \quad D^2y(t) + 3Dy(t) + 4y(t) = 6 \sin \omega t \quad (\text{ج})$$

تابع تبدیل متناظر سیستم را تعیین کنید. پاسخهای سیستم را بر حسب تبدیل لaplas پیدا کنید.

$2-2$ - تابع تبدیل مدار الکتریکی نشان داده شده در شکل ۳۸-۲ را بدست آورید.



شکل ۳۸-۲ مدار الکتریکی مسئله ۲

$3-2$ - سیستم دو ورودی و دو خروجی نشان داده شده در شکل ۳۹-۲ را در نظر بگیرید. در

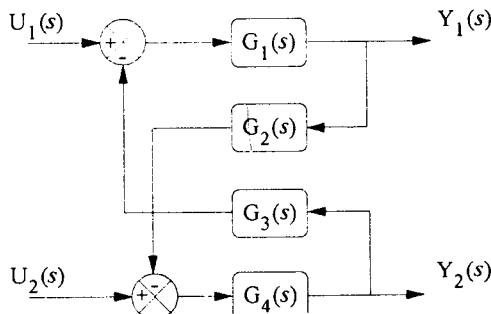
این سیستم ورودیها به ترتیب  $(s)U_1$ ,  $(s)U_2$  و خروجیها  $(s)Y_1$  و  $(s)Y_2$  می‌باشند.

الف - خروجی  $(s)Y_1$  را بر حسب ورودیها بدست آورید.

ب - خروجی  $(s)Y_2$  را بر حسب ورودیها بدست آورید.

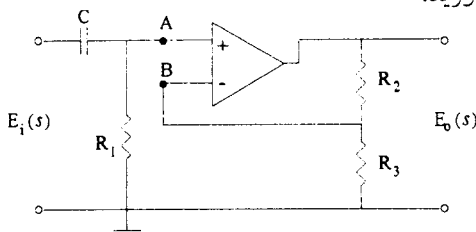
اثر برابر ساختن  $G_1G_4$  و  $G_2G_3$  چیست؟ با فرض  $G_1G_4 \neq (G_2G_3)^{-1}$ ، مقدار

$Y(s) = Y_1(s) + G_3Y_2(s)$  را چنان پیداکنید که  $Y(s) = G_1U_1(s)$ ، که در آن  $G_1$

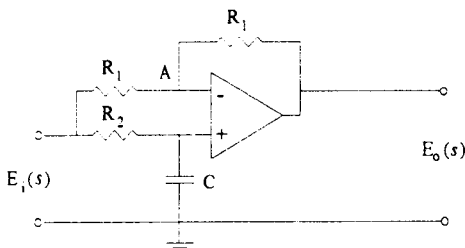


شکل ۳۹-۲ سیستم دو ورودی و دو خروجی مسئله ۳-۲

۴۰-۲ تابع تبدیل  $(s)E_o(s)/E_i(s)$  مدارهای op-amp نشان داده شده ذر شکل‌های ۴۰-۲ و ۴۱-۲ را بدست آورید.

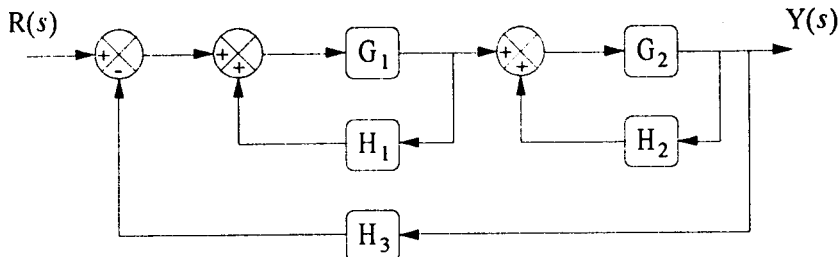


شکل ۴۰-۲ مدار تقویت کننده عملیاتی (op-amp)

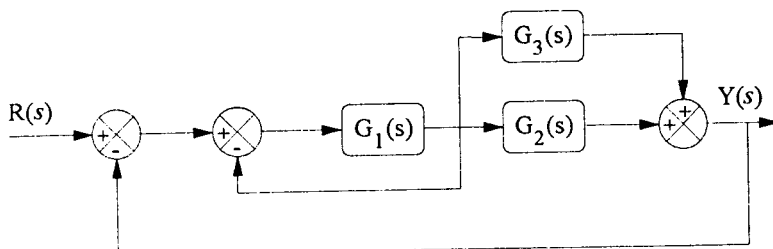


شکل ۴۱-۲ مدار تقویت کننده عملیاتی (op-amp)

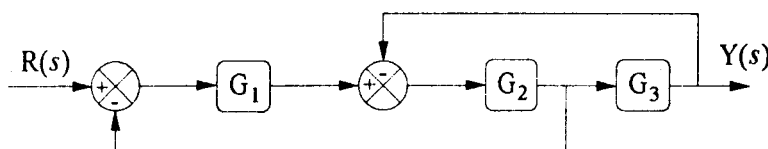
۵-۲ (الف) - با ساده کردن دیاگرام های بلوکی شکل های ۴۳-۲ ، ۴۲-۲ ، ۴۴-۲ و ۴۵-۲ تابع تبدیل کلی آنها را بدست آورید.



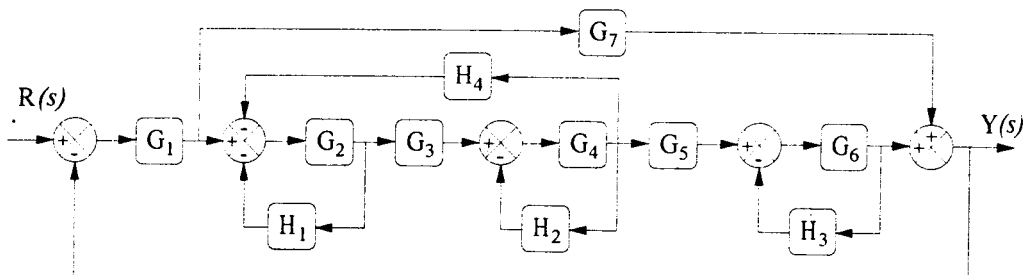
شکل ۴۲-۲ دیاگرام بلوکی مسئله ۵-۲



شکل ۴۳-۲ دیاگرام بلوکی مسئله ۵-۲



شکل ۴۴-۲ دیاگرام بلوکی مسئله ۵-۲



شکل ۴۵-۲ دیاگرام بلوکی مسئله ۵-۲

(ب) - با رسم نمودار گذر جریان متناظر دیاگرام‌های بلوکی قسمت الف - و استفاده از قانون میسن تابع تبدیل کلی دیاگرام‌های بلوکی را بدست آورید.

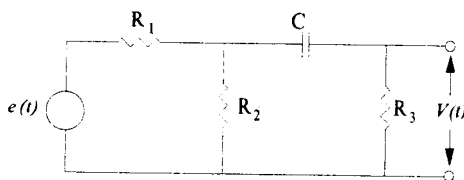
۴-۶- مدار نشان داده شده در شکل ۴۶-۲ را در نظر بگیرید. که در آن ورودی سیستم و

خروجی آن به ترتیب عبارتند از  $e(t)$  و  $v(t)$

الف - دیاگرام بلوکی مدار را رسم کنید.

ب - نمودار گذر سیگنال مدار را رسم کنید.

ج - با ساده کردن دیاگرام بلوکی و استفاده از قانون میسن، تابع تبدیل مدار را پیدا کنید.



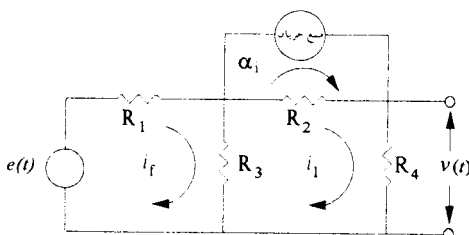
شکل ۴۶-۲ مدار مسئله ۴۶-۲

۴-۷- مدار نشان داده شده در شکل ۴۷-۲ را در نظر بگیرید. که در آن ورودی سیستم  $e(t)$  و

خروجی آن  $v(t)$  می‌باشند.  $\alpha$  نیز ثابت است.

الف - نمودار گذر سیگنال مدار را رسم کنید.

ب - تابع تبدیل مدار را پیدا کنید.

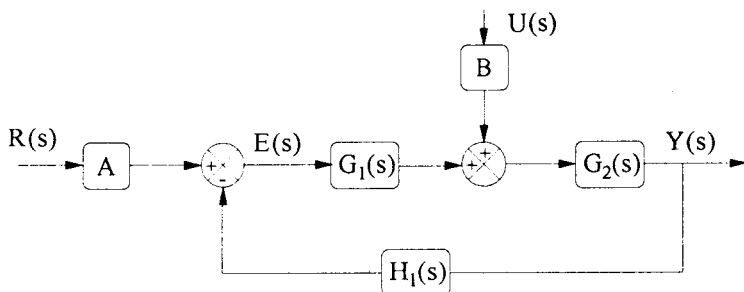


شکل ۴۷-۲ مدار مسئله ۴۷-۲

۴-۸- دیاگرام بلوکی نشان داده شده در شکل ۴۸-۲ را در نظر بگیرید.

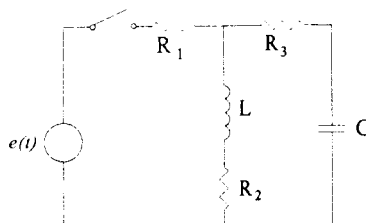
الف - نمودار گذر سیگنال معادل آنرا رسم کنید.

ب - توابع تبدیل  $E(s)/U(s)$  ،  $Y(s)/U(s)$  و  $Y(s)/R(s)$  را پیدا کنید.



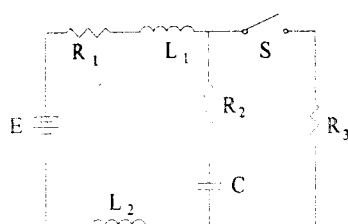
شکل ۴۸-۲ دیاگرام بلوکی مسئله ۲

۹-۲. معادلات حالت مدار نشان داده شده در شکل ۴۹-۲ را بعد از آنکه کلید بسته شد، بنویسید.



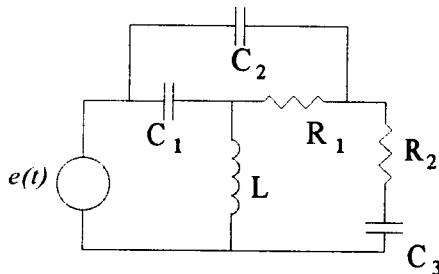
شکل ۴۹-۲ مدار مسئله ۲

۱۰-۲. مدار نشان داده شده در شکل ۵۰-۲ با کلید بسته در حالت ماندگار عمل می‌کند. در زمان  $t = 0$  کلید باز می‌شود، معادلات حالت مدار را بنویسید



شکل ۵۰-۲ مدار مسئله ۲

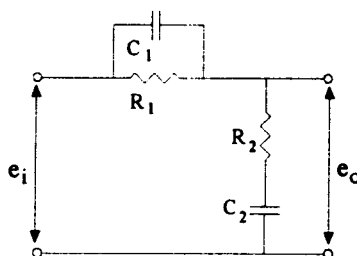
۱۱-۲- مدار نشان داده شده در شکل ۵۱-۲ را در نظر بگیرید. اگر ورودی مدار  $e(t)$  و خروجی آن ولتاژ دو سه خازن باشد، معادلات حالت و خروجی آنرا بنویسید.



شکل ۵۱-۲ مدار مسئله ۱۱-۲

۱۲-۲- مدار نشان داده شده در شکل ۵۲-۲ را در نظر بگیرید.

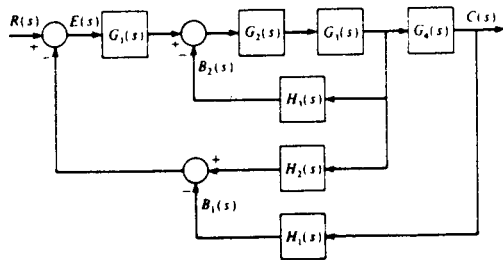
- الف - با انتخاب متغیرهای حالت مناسب، معادلات حالت و خروجی مدار را بنویسید.
- ب - با استفاده از معادلات حالت و خروجی بدست آمده از الف - و همچنین، مستقیماً معادلات دیفرانسیل مدار، تابع تبدیل آنرا بدست آورید.



شکل ۵۲-۲ مدار مسئله ۱۲-۲

۱۳-۲- دیاگرام بلوکی سیستمی در شکل ۵۳-۲ نشان داده شده است.

- الف - نمودار گذرسیگنال آنرا رسم کنید.
- ب - با بکارگیری قانون میسن تابع تبدیل سیستم را بدست آورید.

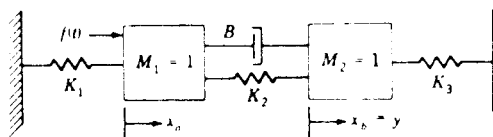


شکل ۵۳-۲ دیاگرام بلوکی مسئله ۱۳-۲

۱۴-۲- سیستم مکانیکی نشان داده شده در شکل ۵۴-۲ را در نظر بگیرید.

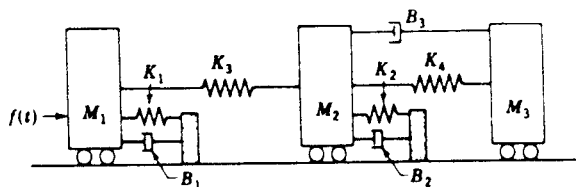
(الف) - تابع تبدیل بین ورودی  $f(t)$  و خروجی  $y(t)$  را بدست آورید.

(ب) - با انتخاب متغیرهای حالت مناسب، معادلات حالت و خروجی سیستم را بنویسید.



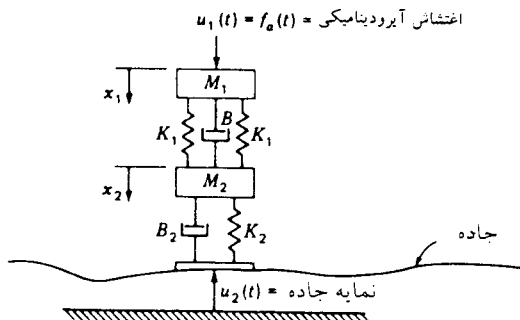
شکل ۵۴-۲ سیستم مکانیکی مسئله ۱۴-۲

۱۵-۲- معادلات حالت و خروجی سیستم مکانیکی نشان داده شده در شکل ۵۵-۲ را بدست آورید.



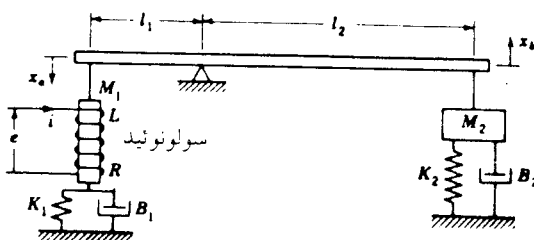
شکل ۵۵-۲ سیستم مکانیکی مسئله ۱۵-۲

۱۶-۲. مدل سیستم فنر عمودی یک اتومبیل در شکل ۵۶-۲ نشان داده شده است. (الف) - معادلات دیفرانسیل حاکم بر سیستم را بنویسید. (ب) - با انتخاب متغیرهای حالت مناسب، معادلات حالت و خروجی سیستم را بدست آورید. خروجیهای سیستم جابجایی جرم‌ها  $M_1, M_2$  می‌باشند. (ج) - تابع تبدیل بین  $\hat{u}_2, x_2$  را که در آن  $\hat{u}_2 = (B_2 D + K_2) u$ ، نیروی اعمال شده توسط جاده می‌باشد را پیدا کنید.



شکل ۵۶-۲ مدل سیستم فنر عمودی یک اتومبیل

۱۷-۲. یک محرک الکترومغناطیسی، یک سولونوئید<sup>۱</sup> را شامل می‌گردد که یک نیروی مغناطیسی متناسب با جریان کوییا<sup>۲</sup>،  $K_i = f_i i$  ایجاد می‌کند. کوییا یک مقاومت و یک هدايت<sup>۳</sup> دارد، به شکل ۵۷-۲ مراجعه کنید.



شکل ۵۷-۲ یک محرک الکترومغناطیسی

الف - معادلات دیفرانسیل سیستم را بنویسید.

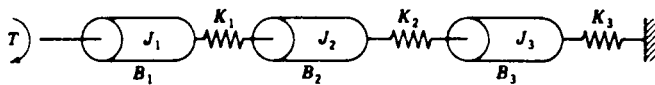
1- Solenoid

2- Coil

3- Inductance

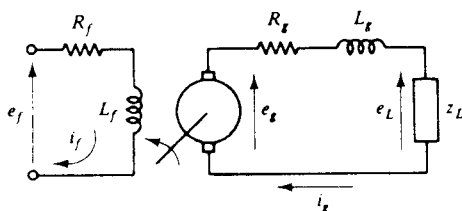
ب - با انتخاب متغیرهای حالت مناسب، معادلات حالت سیستم را بنویسید.

- ۱۸-۲- برای سیستم ممان ایزوسی، میراکننده و فنرنشان داده شده در شکل ۵۸-۲، (الف) - معادلات دیفرانسیل سیستم را بنویسید. (ب) - معادلات حالت را بنویسید.



شکل ۵۸-۲ سیستم مسئله ۱۸-۲

- ۱۹-۲- شکل شماتیک یک ژنراتور DC در شکل ۵۹-۲ نشان داده شده است. با فرض اینکه ولتاژ ژنراتور ایجاد شده  $e_g$  متناسب با جریان میدان است و همچنین با  $z_L = z_L(s)$  امپدانس بار<sup>۱</sup>، توابع تبدیل  $(E_f(s)/E_g(s))$  و  $E_f(s)/E_g(s)$  را پیدا کنید.



شکل ۵۹-۲ یک ژنراتور DC

- ۲۰-۲- دینامیک بسیاری از سیستم‌های صنعتی توسط یک دستگاه معادلات دیفرانسیل غیر خطی به صورت زیر توصیف می‌شود:

$$\dot{\mathbf{x}}(t) = \mathbf{f}[\mathbf{x}(t), u(t)]$$

که در آن  $\mathbf{x}(t)$  بردار  $n$  بعدی حالت و  $u(t)$  ورودی سیستم،  $\mathbf{f}$  نیز یک تابع غیر خطی است. برای اعمال تحلیل و تئوری‌های موجود سیستم‌های خطی به سیستم‌های غیر خطی، لازم است که یک مدل خطی از اینگونه دستگاه معادلات غیر خطی در حول نقطه کار<sup>۲</sup> بسته آوریم. اگر نقطه کار را با  $(\mathbf{x}_0, u_0)$  نشان دهیم، با بسط سری تیلور

1- Load impedance

2- Operating point

معادله دیفرانسیل غیر خطی سیستم حول نقطه کار و صرفنظر کردن از عبارات درجه

دوم و بالاتر، داریم

$$\dot{x}_i(t) = f_i(\mathbf{x}_*, u_*) + \sum_{j=1}^n \frac{\partial f_i}{\partial x_j}(\mathbf{x}, u) \left|_{(\mathbf{x}_*, u_*)} \right. (x_j - x_{*j}) + \frac{\partial f_i}{\partial u}(\mathbf{x}, u) \left|_{(\mathbf{x}_*, u_*)} \right. (u - u_*)$$

که در آن  $i = 1, 2, \dots, n$ . با تعریف

$$\Delta x_i = x_i - x_{*i}, \quad \Delta u = u - u_*$$

داریم

$$\dot{x}_i = \dot{x}_i - \dot{x}_{*i}$$

از آنجایی که

$$\dot{x}_{*i} = f_i(\mathbf{x}_*, u_*)$$

داریم

$$\dot{x}_i = \sum_{j=1}^n \frac{\partial f_i}{\partial x_j}(\mathbf{x}, u) \left|_{(\mathbf{x}_*, u_*)} \right. \Delta x_j + \frac{\partial f_i}{\partial u}(\mathbf{x}, u) \left|_{(\mathbf{x}_*, u_*)} \right. \Delta u$$

معادله فوق را می‌توان به صورت بردار - ماتریسی زیر نوشت

$$\dot{\mathbf{x}} = A \Delta \mathbf{x} + B \Delta u$$

که در آن

$$A = \begin{bmatrix} \frac{\partial f_1}{\partial x_1} & \frac{\partial f_1}{\partial x_2} & \cdots & \frac{\partial f_1}{\partial x_n} \\ \frac{\partial f_2}{\partial x_1} & \frac{\partial f_2}{\partial x_2} & \cdots & \frac{\partial f_2}{\partial x_n} \\ \vdots & \vdots & & \vdots \\ \frac{\partial f_n}{\partial x_1} & \frac{\partial f_n}{\partial x_2} & \cdots & \frac{\partial f_n}{\partial x_n} \end{bmatrix} \quad B = \begin{bmatrix} \frac{\partial f_1}{\partial u} \\ \frac{\partial f_2}{\partial u} \\ \vdots \\ \frac{\partial f_n}{\partial u} \end{bmatrix}$$

ماتریس‌های A و B در نقطه کار محاسبه شده‌اند و این معادلات، مدل خطی شده سیستم را حول نقطه نامی نشان می‌دهند.

اگر معادلات غیر خطی حاکم بر سیستمی به صورت زیر باشند

$$\dot{x}_1(t) = x_1(t) - \sin 2x_2(t) + u_1(t) = f_1(t)$$

$$\dot{x}_2(t) = x_2(t) - u_1(t) + x_1(t)e^{-x_1(t)} = f_2(t)$$

معادلات خطی شده آن حول نقطه نامی  $(0, 0)$  را بدست آورید.

## مراجع فصل دوم

- [2-1] Marshall J.E., *Control of time delay systems*, IEE Control Engineering series 10, 1978.
- [2-2] Nash p., *System modelling and optimization*, Peter peregrinus Ltd, 1981.
- [2-3] Nicholson H (ed), *Modelling of dynamical systems*, Vol. 1, Peter peregrinus Ltd, 1980.
- [2-4] Wellstead P.E., *Introduction to physical system modelling*, Academic press, 1979.
- [2-5] Ziegler, B., *Theory of Modelling and simulation*, John wiley, 1976.
- [2-6] Mclean D., *Automatic flight control systems*, Englewood cliffs, N.J: Prentice. Hall , 1990.

## کتاب شناسی

مراجع [1] تا [7] به طور تفصیلی، توابع تبدیل سیستم‌های فیزیکی و قواعد کاهش توابع تبدیل را در فصول مختلف مورد بررسی قرار داده‌اند. مراجع [15] و [11]، توابع تبدیل سیستم‌های غیر مهندسی برق را (مانند بیومهندسی در مرجع [11]) مورد بررسی قرار داده‌اند. توابع تبدیل سیستم‌های کنترل فرایند، به طور مشخص در [15] بحث شده‌اند.

برای برخورد عملی تو با توابع تبدیل و دیاگرام‌های بلوکی، همراه با مدارهای الکتریکی متناظر سیستم‌های مورد بررسی، و همچنین مدارهای عملی و کاربردی به مرجع [18] مراجعه شود. برای مثالهای متنوع در زمینه رسم دیاگرام‌های بلوکی سیستم‌های عملی به مرجع [2] مراجعه شود.

نمودار گذر سیگناال و قانون میسن در مراجع [1] تا [4] و همچنین [6] و [11] به تفصیل آورده شده‌اند.

برای مدلسازی سیستم‌های متفرقه (مدارهای الکتریکی، سیستم‌های مکانیکی، سیستم‌های هیدرولیکی و سیستم‌های حرارتی) توسط متغیرهای حالت و انتخاب متغیرهای فیزیکی حالت می‌توان از مرجع [1] استفاده نمود. مدلسازی سیستم‌های تا خبردار<sup>1</sup> در مرجع [1-2] و مرجع [3] آورده شده است.

مدلسازی سیستم‌های فیزیکی، به طور تخصصی در مراجع [2-5] تا [2-2]، مورد بررسی قرار گرفته‌اند. در این مراجع روشهای مختلف مدلسازی سیستم‌های فیزیکی (در بدست آوردن توابع تبدیل یا متغیرهای حالت) همراه با شبیه‌سازی آنها، آورده شده‌اند. برای بدست آوردن مدارهای معادل الکتریکی و یا مکانیکی سیستم‌ها به هر کدام از مراجع [2-5] تا [2-2] و برای برخورد ساده‌تر به مراجع [1], [2], [3] و [4] مراجعه کنید.

برای بدست آوردن توابع تبدیل و رسم دیاگرام‌های بلوکی موتورهای AC، زناتورها و سایر سرو مکش‌انیزم‌ها می‌توان به مراجع [1], [2], [5], [8], [9], [10], [14] و [18] مراجعه کرد.

برای مدلسازی توابع تبدیل و نمایش فضایی حالت دینامیک پرواز و رسم دیاگرام‌های بلوکی متناظر به مرجع [1-6] مراجعه شود.

# ۳

## تحلیل عملکرد گذرا و ماندگار سیستم‌های کنترل

اهداف فصل:

- ۱- آشنایی با ورودیهای استاندارد سیستم‌های کنترل و نقش آنها.
- ۲- پاسخ سیستم‌های کنترل: الف - حالت - گذرا، ب - حالت - ماندگار.
- ۳- معرفی سیستم‌های مرتبه اول و مرتبه دوم.
- ۴- آشنایی با مشخصه‌های حالت گذرا و ماندگار پاسخ سیستم‌های مرتبه دوم.
- ۵- نقش قطب و صفر تابع تبدیل در پاسخ سیستم.
- ۶- آشنایی با مفهوم خطأ در سیستم‌های کنترل.
- ۷- اثرات فیدبک در سیستم‌های کنترل: مقایسه سیستم حلقه - باز و حلقه - بسته از نظر اغتشاش و حساسیت.
- ۸- آشنایی با مفهوم پایداری.
- ۹- بررسی روش‌های تعیین پایداری سیستم‌های کنترل.

### ۱-۳ مقدمه

در فصل دوم، روش‌های مختلف مدل‌سازی سیستم‌های کنترل را بررسی کردیم. مهندس کنترل با بکارگیری مدل بدست آمده و شبیه‌سازی آن، سیستم کنترل را طراحی می‌کند. بنابراین، طراح قبل از شروع به طراحی، بایستی با انجام یک سری تحلیلها و آزمایشات بر روی سیستم صنعتی مورد نظر، به بررسی رفتار آن پردازد. به عبارت دیگر، آیا عملکرد سیستم بدون کنترل، قابل قبول است؟ با طرح این سؤال منطقی، ازایه دقیق و کاملی از عملکرد سیستم لازم به نظر می‌رسد.

در این فصل با بکارگیری سیگنال‌های استاندارد تست، اعمال آنها به سیستم‌های کنترل و بررسی پاسخ سیستم به آنها، بعضی از معیارهای اصلی عملکرد سیستم‌ها را ازایه خواهیم کرد. در تحلیل پاسخ حالت گذرا و ماندگار سیستم‌های کنترل عموماً از این سیگنال‌های استاندارد برای آزمودن سیستم استفاده می‌گردد. در واقع، اعمال این سیگنال‌ها ساده است و با بررسی نتایج بدست آمده از آنها، تحلیل رفتار سیستم نیز براحتی انجام می‌پذیرد و حال آنکه تحلیل سیستم با اعمال سیگنال‌های پیچیده به آن، چندان ساده نیست. هم‌چنین، بسیاری از سیگنال‌های پیچیده در سیستم‌های کنترل را می‌توان به صورت ترکیبی از سیگنال‌های استاندارد نوشت.

خروجی سیستم نشان داده شده در شکل ۱-۳، تحت سیگنال‌های استاندارد ورودی، از دو قسمت تشکیل می‌شود. قسمت اول، عکس‌العمل اولیه سیستم به ورودی اعمال شده است. به عبارت دیگر، قسمت اول پاسخ، اولین رفتار سیستم در زمانهای اولیه به ورودی



شکل ۱-۳ سیستم با ورودی‌های استاندارد

اعمال شده است که آنرا پاسخ‌گذاری<sup>۱</sup> سیستم می‌نامند. قسمت دوم، عکس‌العمل ماندگار سیستم می‌باشد. عکس‌العمل ماندگار سیستم را پاسخ حالت ماندگار<sup>۲</sup> سیستم می‌نامند و

عمدتاً از آن قسمت پاسخ تشكیل شده است که پس از از بین رفتن پاسخ گذرا باقی می‌ماند. تحلیل این دو قسمت، در تحلیل عملکرد سیستم نقش بسزایی را ایفا می‌کند.

بسیاری از سیستم‌های کنترل در صنعت را می‌توان به صورت مدل‌های مرتبه دوم تقریب زد. لذا در این فصل مشخصه‌های مهم پاسخ حالت گذرا را با بکارگیری پاسخ پله یک سیستم مرتبه دوم ارایه خواهیم کرد.

پاسخ حالت ماندگار سیستم کنترل نیز بسیار مهم است، زیرا نشان می‌دهد که با گذشت زمان، پاسخ سیستم به چه سمتی میل می‌کند. در بسیاری از سیستم‌های کنترل، پاسخ حالت ماندگار با مقایسه با ورودی مرجع نشانی از دقت آن سیستم است. اگر پاسخ حالت ماندگار با ورودی فرمان داده شده به سیستم دقیقاً مطابقت نداشته باشد، سیستم دارای خطای حالت ماندگار است.

اغتشاش واردہ به سیستم می‌تواند در عملکرد حالت گذرا و ماندگار آن تاثیر زیادی داشته باشد. همچنین حساسیت سیستم به تغییر پارامترها و یا نویز در سیستم، از مشخصه‌های مهم سیستم است. اثر فیدبک بر این دو پارامتر نیز در این فصل بررسی شده است.

در آخرین قسمت این فصل، مهم‌ترین مشخصه سیستم کنترل یعنی پایداری آن مورد بررسی قرار گرفته است. پس از ارایه رابطه بین قطبهای سیستم و پاسخ حالت - گذاری آن، مشاهده می‌شود که پاسخ تنها در حالتی به سمت بی‌نهایت میل نخواهد کرد که ریشه‌های معادله مشخصه سیستم و یا قطبهای آن غیر مثبت بوده و یا قسمتهای حقیقی غیر مثبت داشته باشند.

## ۲-۳ ورودیهای استاندارد برای تحلیل عملکرد سیستم‌های کنترل

ورودی یک سیستم صنعتی در حین کار نوعاً تصادفی<sup>۱</sup> است. به عنوان مثال در یک سیستم دنبال کننده رادار ممکن است که موقعیت و سرعت هدف به طور کاملاً تصادفی تغییر کند و یا در سیستمهایی که ورودی آنها به مقدار زیادی تحت تاثیر اغتشاشات تصادفی قرار می‌گیرد. لیکن برای سیستم‌های ساده و برای بدست آوردن یکسری اطلاعات مهم و اساسی

در رابطه با سیستم، سیگنال‌های استانداردی را به سیستم اعمال و پاسخ سیستم به آنها را مطالعه می‌کنیم. با این کار می‌توان رفتار سیستم را تا حد زیادی به ورودی‌های ناشناس دیگر نیز حدس زد.

استاندارد سازی سیگنال‌های ورودی نیز هنگامی که می‌خواهیم چند سیستم را با توجه به خروجی آنها مقایسه کنیم، بسیار مهم است. در اینجا چند سیگنال اساسی را که در تحلیل سیستم‌های کنترل نقش عمده‌ای دارند و بسیاری از سیگنال‌های دیگر را می‌توان با ترکیب آنها به وجود آورد، بررسی می‌کنیم.

ورودی تابع پله<sup>۱</sup>. ورودی پله ساده‌ترین نوع ورودی می‌باشد. این ورودی را می‌توان برای نمونه با سوییچ کردن یک ولتاژ در یک مدار الکتریکی یا یک چرخش ناگهانی در شفت مکانیکی در نظر گرفت. اگر اندازه دامنه ورودی واحد باشد آنرا پله واحد<sup>۲</sup> می‌نامند. ورودی پله در حالت کلی به صورت نشان داده شده در شکل ۲-۳ الف می‌باشد. نمایش ریاضی ورودی

پله با دامنه  $R$  عبارتست از

$$u(t) = \begin{cases} R & t \geq 0 \\ 0 & t < 0 \end{cases} \quad (1-2-3)$$

که در آن  $R$  یک ثابت حقیقی است، یا

$$u(t) = R u_{-1}(t) \quad (2-2-3)$$

که در آن  $(1-2-3)$  ورودی پله واحد است. تبدیل لaplas ورودی پله داده شده با معادله

(1-2-3) عبارتست از

$$U(s) = R/s \quad (3-2-3)$$

ورودی تابع ضربه<sup>۳</sup>. ورودی ضربه، سیگنالی است که برای یک دوره زمانی تقریباً صفر با دامنه زیاد اعمال شود. اگر سیگنالی برای یک دوره زمانی کوتاه  $\delta t$  به طول انجامد، آنگاه برای  $\delta t \rightarrow 0$  سیگنال یک ضربه خواهد شد. در واقع ورودی ضربه را می‌توان به عنوان مشتق ساده ورودی پله در نظر گرفت. بنابراین تبدیل لaplas این ورودی عبارت است از

$$U(s) = 1 \quad (4-2-3)$$

1- Step-function

2- Unit step

3- Impulse function

اعمال سیگنالی که برای گستره زمانی  $0 \leq t \leq T$  به طول انجامد و دامنه بسیار نهایت بزرگ داشته باشد در عمل غیر ممکن است و لذا در کاربردهای عملی این سیگنال را با سیگنالی که دامنه واحد داشته و برای یک مدت زمانی بسیار کوتاه  $0 < t < T$  وجود داشته باشد، تقریب می‌زنند.

شکل سیگنال تقریبی در شکل ۲-۳ (ب) آورده شده است.

وروودی تابع شیب<sup>۱</sup>. اگر از ورودی پله انتگرال گرفته شود، سیگنالی بدست خواهد آمد که دامنه آن یک تغییر ثابت نسبت به زمان خواهد داشت و یا به عبارت دیگر به‌طور خطی از صفر نسبت به زمان اضافه خواهد شد. ورودی شیب را ورودی سرعت<sup>۲</sup> نیز می‌نامند. ورودی شیب در حالت کلی به صورت نشان داده شده در شکل ۲-۳ (ج) می‌باشد. نمایش ریاضی ورودی شیب عبارتست از

$$u(t) = \begin{cases} Rt & t \geq 0 \\ 0 & t < 0 \end{cases} \quad (5-2-3)$$

که در آن  $R$  یک ثابت حقیقی است. اگر  $R=1$  باشد، ورودی را ورودی شیب واحد<sup>۳</sup> می‌نامند.

همچنین داریم

$$u(t) = Rt u_{-1}(t) \quad (6-2-3)$$

تبدیل لاپلاس ورودی شیب بدین صورت داده می‌شود

$$U(s) = R/s^2 \quad (7-2-3)$$

وروودی تابع سهموی<sup>۴</sup>. ورودی سهموی با انتگرال تابع شیب بدست می‌آید. ورودی سهموی را ورودی شتاب<sup>۵</sup> نیز می‌گویند. نمایش ریاضی ورودی سهموی عبارتست از

$$u(t) = \begin{cases} R t^{1/2} & t \geq 0 \\ 0 & t < 0 \end{cases} \quad (8-2-3)$$

که در آن  $R$  یک ثابت حقیقی است و یا

$$u(t) = R t^{1/2} u_{-1}(t) \quad (9-2-3)$$

۱- Ramp function

2- Velocity input

3- Unit-ramp input

4- Parabolic function

5- Acceleration input

نیدیل لایپل این ورودی بدین صورت داده می‌شود

$$U(s) = R/s^3 \quad (10-2-3)$$

در شکل آن نیز در شکل ۲-۳ (د) نشان داده شده است.

ورودی تابع چند جمله‌ای<sup>۱</sup>. بدینهی است که با ترکیب ورودیهای پله، شبیه و سهموی

می‌توان یک سیگنال ورودی برای  $\geq 0$  به صورت زیر نوشت

$$u(t) = R_1 + R_2 t + R_3 t^2 / 2 \quad (11-2-3)$$

واقع به سادگی مشاهده می‌شود که می‌توان عبارات انتگرال گرفته شده بیشتری را واگرد

معادله داده شده در (۱۱-۲-۳) کرد و ورودی کلی زیر را برای  $\geq 0$  تشکیل داد

$$u(t) = R_1 + R_2 t + R_3 t^2 / 2 + R_4 t^3 / 3! + \dots + R_p t^p / p! \quad (12-2-3)$$

سازت بالا را تابع چند جمله‌ای نامیده و برای  $> 0$  نیز صفر می‌باشد.

ورودی تابع سینوسی<sup>۲</sup>. ورودی سینوسی به صورت داده شده در زیر است

$$u(t) = \begin{cases} U \cos \omega t & t \geq 0 \\ 0 & t < 0 \end{cases} \quad (13-2-$$



(ب)



$$u(t) = R u_{-1}(t)$$

(الف)



$$u(t) = R t^2 u_{-1}(t)$$

(د)



شبیه

$$u(t) = R t u_{-1}(t)$$

(ج)

شکل ۲-۳ سیگنال‌های استاندارد ورودی (الف) تابع پله، (ب) تابع فشرده، (ج) تابع شبیه، (د) تابع سهموی.

این ورودی، در تحلیل پاسخ حالت ماندگار سیستم‌های خطی، نقش بسزایی را ایفا می‌نماید. تذکر این نکته مهم است که خروجی حالت ماندگار سیستم‌های خطی به ورودی سینوسی، یک تابع سینوسی است.

### ۳-۳ پاسخ حالت ماندگار

همانطور که قبلاً نیز اشاره شد، پاسخ سیستم از دو قسمت حالت گذرا و ماندگار تشکیل شده است. اگر پاسخ سیستم به ورودی  $R(t)$  نشان دهیم، داریم

$$c(t) = c_{tr}(t) + c_{ss}(t) \quad (2-3-3)$$

که در آن  $c_{tr}(t)$  قسمت حالت گذرای پاسخ و  $c_{ss}(t)$  قسمت حالت ماندگار پاسخ هستند. می‌توان قسمت حالت ماندگار پاسخ را به عنوان پاسخی دانست که با گذشت زمان و پس از ازین رفتار پاسخ حالت گذرا به جای می‌ماند و پاسخ سیستم را تشکیل می‌دهد. بنابراین

$$c_{ss}(t) = \lim_{t \rightarrow \infty} c(t) \quad (2-3-4)$$

#### ۱-۳-۳ پاسخ حالت ماندگار به ورودی‌های پله، شب و سهموی

سیستم داده شده با تابع تبدیل مرتبه اول زیر را در نظر بگیرید

$$G(s) = \frac{k}{s + a_0} \quad (a_0 > 0) \quad (3-3-3)$$

که در آن  $k$  بهره سیستم است. خروجی سیستم برای ورودی  $R(s)$  به صورت زیر داده می‌شود

$$C(s) = G(s) R(s) \quad (4-3-3)$$

برای ورودی پله واحد داریم  $R(s) = 1/s$  و لذا معادله‌های (۳-۳-۲) و (۴-۳-۳) نتیجه می‌دهند

$$\begin{aligned} C(s) &= \frac{k}{s + a_0} \cdot \frac{1}{s} \\ &= \frac{k/a_0}{s} - \frac{k/a_0}{s + a_0} \end{aligned} \quad (5-3-3)$$

عكس تبدیل لاپلاس معادله (۵-۳-۳) می‌دهد

$$c(t) = \frac{k}{a_0} - \frac{k}{a_0} \exp(-a_0 t) \quad (6-3-3)$$

پاسخ زمانی داده شده با معادله (۳-۳-۶) در شکل ۳-۳ نشان داده شده است.  
برای بدست آوردن پاسخ حالت ماندگار می‌توان مستقیماً از معادله (۳-۳-۶) استفاده کرد  
و یا قضیه مقدار نهایی تبدیل لاپلاس را بکار گرفت. از معادله (۳-۳-۶) داریم

$$\lim_{t \rightarrow \infty} c(t) = \frac{k}{a_0} \quad (7-3-3)$$

هم‌چنین از قضیه مقدار نهایی داریم

$$\lim_{s \rightarrow 0^+} sC(s) = \lim_{t \rightarrow \infty} c(t) \quad (8-3-3)$$

معادله (۳-۳-۸)، برای سیستم مرتبه اول در نظر گرفته شده خواهد داد

$$\lim_{s \rightarrow 0^+} sC(s) = \lim_{s \rightarrow 0^+} s \frac{k}{s + a_0} \cdot \frac{1}{s} = \frac{k}{a_0} \quad (9-3-3)$$

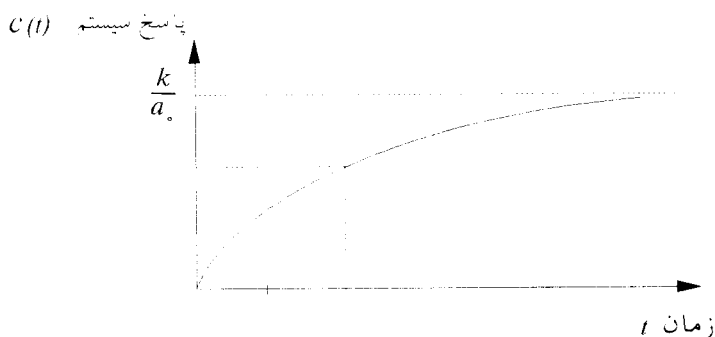
که با پاسخ داده شده با معادله (۷-۳-۳)، و نشان داده شده در شکل ۳-۳ مطابقت دارد.  
برای ورودی شیب واحد به سیستم داده شده با معادله (۳-۳-۳)، از معادله (۴-۳-۳)

$$C(s) = \frac{k}{s + a_0} \cdot \frac{1}{s^2} \quad (10-3-3)$$

پاسخ حالت ماندگار برای این ورودی نیز همانند ورودی پله واحد از قضیه مقدار نهایی  
بدست می‌آید. بنابراین

$$\lim_{s \rightarrow 0^+} sC(s) = \lim_{s \rightarrow 0^+} s \frac{k}{s + a_0} \cdot \frac{1}{s^2} = \infty \quad (11-3-3)$$

از معادله (۱۱-۳-۳) داریم که پاسخ سیستم‌های مرتبه اول برای ورودی شیب به سمت  
به سهایت میل خواهد کرد. برای تمرین نشان دهید که پاسخ سیستم مرتبه اول به ورودی شیب  
و واحد عبارتست از



شکل ۳-۳ پاسخ سیستم مرتبه اول به ورودی پله واحد

$$c(t) = \frac{k}{a_0} \left[ t - \frac{1}{a_0} + \frac{\exp(-a_0 t)}{a_0} \right] \quad (12-3-3)$$

و با پاسخ بدست آمده از قضیه مقدار نهایی مطابقت دارد.

به طور مشابهی می‌توان نشان داد که پاسخ سیستم مرتبه اول برای ورودی سهمی و ورودیهای مرتبه بالاتر به سمت بی‌نهایت میل خواهد کرد. در واقع برای ورودی سهمی با اعمال قضیه مقدار نهایی داریم

$$\lim_{s \rightarrow 0} sC(s) = \lim_{s \rightarrow 0} s \frac{k}{s + a_0} \frac{1}{s^2} = \infty \quad (13-3-3)$$

پاسخ بدست آمده سیستم مرتبه اول داده شده با معادله (3-3)، برای ورودی پله واحد را در نظر بگیرید. مقادیر  $k$  و  $a_0$  مقدار حالت ماندگار پاسخ را تعیین می‌کنند. اما با اندکی تأمل مشاهده می‌شود که  $a_0$  نه تنها در تعیین حالت ماندگار پاسخ سیستم برای ورودی پله واحد نقش دارد، بلکه سرعت رسیدن به حالت ماندگار را نیز تعیین می‌کند. در واقع برای  $\frac{1}{a_0} = 1$  داریم  $(1-e^{-1}) = \frac{k}{a_0}$  و لذا هر چه  $a_0$  بزرگتر شود، پاسخ سیستم سریعتر به حالت ماندگار خواهد رسید. بنابراین  $a_0$  نقش مهمی را در رفتار سیستم ایفاء می‌کند. به  $1/a_0$  ثابت زمانی سیستم مرتبه اول می‌گویند. هر چه ثابت زمانی سیستم کوچکتر باشد پاسخ آن سریعتر خواهد بود.

تابع تبدیل یک سیستم مرتبه دوم در حالت کلی بدین صورت است

$$G(s) = \frac{k}{s^2 + a_0 s + a_0} \quad (14-3-3)$$

توجه کنید که مرتبه دوم بودن تابع تبدیل معادله (14-3-3) به واسطه عبارت مرتبه دوم در مخرج آن است. برای بدست آوردن پاسخ حالت ماندگار سیستم به ورودی پله واحد، از قضیه مقدار نهایی داریم

$$\lim_{s \rightarrow 0} sC(s) = \lim_{s \rightarrow 0} s \frac{k}{s^2 + a_0 s + a_0} \frac{1}{s^2} = \frac{k}{a_0} \quad (15-3-3)$$

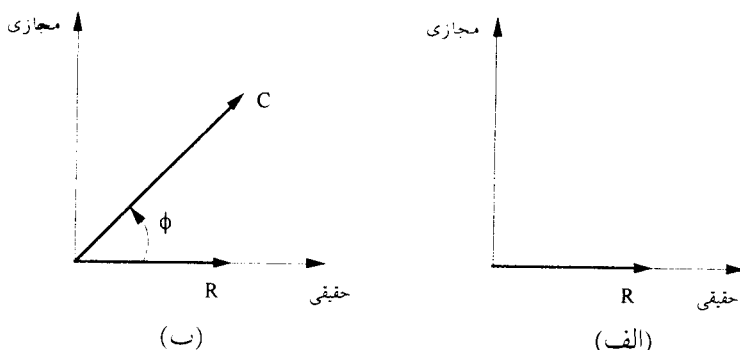
که مشابه نتیجه بدست آمده برای سیستم مرتبه اول است. پاسخ سیستم مرتبه دوم به ورودی

پله پیچیده‌تر از پاسخ سیستم مرتبه اول به ورودی پله است. این پاسخ به محل ریشه‌های مخرج تابع تبدیل بستگی دارد و در بخش ۴-۳ منصباً بررسی خواهد شد.

### ۲-۳-۳ ورودیهای سینوسی و چند جمله‌ای

در بخش قبل، برای تعیین پاسخ حالت ماندگار سیستم به ورودیهای پله، شبیه و سهموی از تبدیل لاپلاس و قضیه مقدار نهایی استفاده شد. همانطور که مشاهده شد، برای بکارگیری این قضیه باید یک مقدار حدی وجود داشته باشد که سیگنال به آن به ازاء  $\rightarrow \infty$  همگرا شود، در تحلیل پاسخ حالت ماندگار سیستم به ورودی سینوسی اینچنین حالتی وجود ندارد و لذا نمی‌توان از قضیه مقدار نهایی استفاده کرد.

برای ورودی سینوسی داده شده با معادله (۴-۲-۳)، نمایش دیاگرام فازور<sup>۱</sup> آن در شکل ۴-۳ (الف) نشان داده شده است. با فرض پایداری سیستم خطی (پایداری را در بخش ۸-۳ بحث خواهیم کرد)، پاسخ حالت ماندگار سیستم خطی به ورودی سینوسی یک تابع سینوسی خواهد بود. بنابراین اگر خروجی حالت ماندگار را در پاسخ به ورودی سینوسی با (۱) نشان دهیم، (۲) یک تابع سینوسی با دامنه C و انتقال فاز  $\phi$  خواهد بود. نمایش دیاگرام فازور خروجی حالت ماندگار نیز در شکل ۴-۳ (ب)، نشان داده شده است.



شکل ۴-۳ (الف) نمایش دیاگرام فازور  $r(t) = R\cos\omega t$ ؛ (ب) نمایش دیاگرام فازور  $c(t) = C\cos(\omega t + \phi)$  که در آن (۱) پاسخ حالت ماندگار است.

یک ورودی چند جمله‌ای کلی با معادله (۳-۲-۱۲) داده شده است. فرض کنید که معادل دیفرانسیل سیستمی که این ورودی به آن اعمال خواهد شد به صورت داده شده در زیر باشد

$$(a_m D^m + a_{m-1} D^{m-1} + \dots + a_1 D + a_0) c(t) = (b_m D^m + b_{m-1} D^{m-1} + \dots + b_1 D + b_0) r(t) \quad (16-3-3)$$

که در آن ضرایب ثابت  $a_i$  و  $b_i$  مشخصه‌های سیستم را تعیین می‌کنند (فصل دوم). با اعمال یک ورودی داده شده با معادله (۳-۲-۱۲) به سیستم داده شده با معادله (۳-۳-۱۶)، باید پاسخ حالت ماندگار به اندازه کافی عبارات توان  $t$  را در بر داشته تا تساوی در معادله دیفرانسیل سیستم برقرار گردد.

### مثال ۳-۳-۱

برای  $n=2$  و  $m=1$ ، معادله دیفرانسیل سیستم عبارتست از

$$(a_2 D^2 + a_1 D + a_0) c(t) = (b_1 D + b_0) r(t)$$

ورودی به سیستم نیز به صورت زیر در نظر گرفته می‌شود

$$r(t) = R_1 + R_2 t + R_3 \frac{t^2}{2}$$

بنابراین داریم

$$\begin{aligned} (a_2 D^2 + a_1 D + a_0) c(t) &= (b_1 D + b_0) [R_1 + R_2 t + R_3 \frac{t^2}{2}] \\ &= b_1 R_1 + b_0 R_1 + (b_1 R_2 + b_0 R_2) t + b_0 R_3 \frac{t^2}{2} \end{aligned}$$

اگر پاسخ حالت ماندگار را در حالت کلی به صورت زیر بیان کنیم

$$c(t) = c_0 + c_1 t + c_2 \frac{t^2}{2!} + \dots + \frac{c_k t^k}{k!}$$

با قرار دادن  $c(t)$  در معادله بالا برای آنکه در دو طرف معادله تساوی داشته باشیم، باید قرار دهیم  $k=2$  و یا

$$c(t) = c_0 + c_1 t + c_2 \frac{t^2}{2!}$$

بنابراین

$$(a_2 D^2 + a_1 D + a_0) c(t) = a_2 c_2 + a_1 c_1 + a_0 c_0 + (a_1 c_2 + a_0 c_1) t + \frac{a_0 c_2}{2!} t^2$$

ضرایب خروجی حالت ماندگار  $c_0$ ،  $c_1$  و  $c_2$  را از حل دستگاه معادله‌های زیر بدست می‌آوریم

$$\begin{aligned} a_0 c_2 &= b_0 R_2 \\ a_1 c_2 + a_2 c_1 &= b_1 R_2 + b_2 R_1 \\ a_2 c_2 + a_1 c_1 + a_0 c_0 &= b_2 R_2 + b_1 R_1 \end{aligned}$$

توجه کنید که مقدار  $k$  به درجه سیگنال ورودی بستگی خواهد داشت.

### ۴-۳ پاسخ حالت - گذرا

در بخش ۳-۳، پاسخ حالت ماندگار سیستم، به عنوان آن قسمت از پاسخ کلی سیستم که به ازاء  $\omega \rightarrow \infty$  باقی خواهد ماند، تعریف شد. به طریق مشابهی، می‌توان پاسخ حالت گذراي سیستم را آن قسمت از پاسخ کلی سیستم در نظر گرفت که به ازاء  $\omega \rightarrow 0$  صفر خواهد شد. برای آنکه پاسخ سیستم قسمتی داشته باشد که به ازاء  $\omega \rightarrow 0$  به سمت صفر میل کند و دامنه آن با افزایش زمان به سمت بی‌نهایت میل نکند، سیستم باید مشخصه خاصی به نام «پایداری» را برآورده سازد که در بخش ۸-۳ مورد بررسی قرار خواهد گرفت.

در اینجا برای بررسی پاسخ حالت گذرا، فرض می‌کنیم که اولاً سیگنال ورودی به سیستم پله واحد است و ثانیاً سیستم مرتبه دوم است. اگرچه می‌توان به جای ورودی پله واحد از سایر ورودیها مانند ورودی شبیه یا سهموی نیز استفاده کرد، لیکن اطلاعات بیشتری از آنچه توسط ورودی پله واحد بدست می‌آید، از اعمال این ورودیها بدست نخواهد آمد. لذا با توجه به ساده‌تر بودن صورت عملی اعمال ورودی پله و اینکه در عمل مشخصه‌های بدست آمده از تحلیل پاسخ ورودی پله برای تحلیل حالت ماندگار بسیار غنی هستند، این ورودی در تحلیل بسیاری از سیستم‌های عملی و صنعتی استفاده می‌شود. استفاده از یکتابع تبدیل مرتبه دوم در تحلیل پاسخ حالت گذرا نیز به هیچ وجه محدود کننده نیست، زیرا اگرچه ممکن است بسیاری از سیستم‌های عملی و صنعتی مرتبه سوم یا بالاتر باشند، لیکن می‌توان آنها را به خوبی با یک مدل مرتبه دوم تقریب زد. در اکثریت موارد، مدل مرتبه دوم مدل غالب سیستم است و به عبارت دیگر، صورت کلی پاسخ سیستم توسط قسمت مرتبه دوم آن تعیین می‌گردد.

پاسخ یک سیستم مرتبه دوم به ورودی پله، بسته به موقعیت قطب‌های آن (ریشه‌های چند جمله‌ای مرتبه دوم در مخرج تابع تبدیل) می‌تواند به یکی از سه صورت زیر باشد:

- ۱- پاسخ میرای شدید<sup>۱</sup>
- ۲- پاسخ میرای بحرانی<sup>۲</sup>
- ۳- پاسخ میرای ضعیف<sup>۳</sup>

توجه کنید که پاسخ نشان داده شده در شکل ۳-۳ برای سیستم مرتبه اول در پاسخ به ورودی پله واحد، تنها صورت پاسخ حالت گذرا و ماندگار یک سیستم مرتبه اول است. با تغییر دادن محل قطب سیستم مرتبه اول، ثابت زمانی آن تغییر می‌کند و در نهایت سرعت پاسخ کم یا زیاد خواهد شد، لیکن صورت کلی آن همانند شکل ۳-۳ خواهد بود.

#### ۱-۴-۳ پاسخ میرای شدید

اگر تابع تبدیل سیستم دو ریشه حقیقی (دو قطب حقیقی) داشته باشد، آنگاه خواهیم داشت

$$G(s) = \frac{k}{s^2 + a_1 s + a_0} = \frac{k}{(s+\alpha)(s+\beta)} \quad (1-4-3)$$

پاسخ سیستم داده شده با معادله (۱-۴-۳)، به ورودی پله واحد عبارتست از

$$\begin{aligned} C(s) &= \frac{k}{(s+\alpha)(s+\beta)} \frac{1}{s} \\ &= \frac{k}{\alpha\beta} \left[ \frac{1}{s} + \frac{\beta}{(\alpha-\beta)} \frac{1}{s+\alpha} + \frac{\alpha}{(\beta-\alpha)} \frac{1}{s+\beta} \right] \end{aligned} \quad (2-4-3)$$

با گرفتن عکس تبدیل لاپلاس از معادله (۲-۴-۳) (۳-۴-۳) بدست می‌آوریم

$$c(t) = k \left\{ \frac{1}{\alpha\beta} + \frac{1}{(\alpha-\beta)} \left[ \frac{\exp(-\alpha t)}{\alpha} - \frac{\exp(-\beta t)}{\beta} \right] \right\} \quad (3-4-3)$$

(عملیات تبدیل به کسرهای جزیی (۲-۴-۳) و عکس تبدیل لاپلاس (۳-۴-۳) را انجام دهید). با فرض مثبت بودن اعداد حقیقی  $\alpha$  و  $\beta$  از معادله (۳-۴-۳) داریم

$$\lim_{t \rightarrow \infty} c(t) = \frac{k}{\alpha\beta} \quad (a_0 = \alpha\beta) \quad (4-4-3)$$

توجه کنید که این نتیجه با نتیجه بدست آمده از اعمال قضیه مقدار نهایی در معادله

(۱۵-۳-۳) مطابقت دارد. همچنین توجه کنید که در  $t=0$  داریم

$$c(t) \Big|_{t=0} = k \left\{ \frac{1}{\alpha\beta} + \frac{1}{(\alpha-\beta)} \left[ \frac{1}{\alpha} - \frac{1}{\beta} \right] \right\} = 0. \quad (5-4-3)$$

$$\frac{dc(t)}{dt} \Big|_{t=0} = 0. \quad (6-4-3)$$

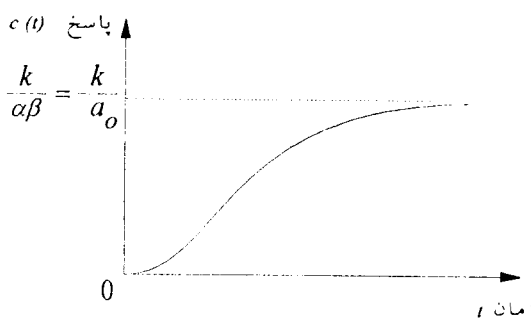
پاسخ کلی سیستم برای حالت میرای شدید در شکل ۵-۳ نشان داده شده است. نکته قابل توجه در این پاسخ آن است که همانند پاسخ سیستم مرتبه اول به ورودی پله، سیگنال خروجی همواره از یک طرف به مقدار نهایی خویش میل می‌کند، به عبارت دیگر هیچگاه قبل از حالت دائمی به مقدار نهایی خودش نمی‌رسد.

### ۲-۴-۳ پاسخ میرای بحرانی

اگر قطب‌های حقیقی یکتابع تبدیل سیستم مرتبه دوم در یک مکان بروی محور حقیقی منفی قرار گرفته باشند، داریم

$$G(s) = \frac{k}{(s + \alpha)^2} \quad (7-4-3)$$

این حالت را می‌توان یک حالت حدی برای حالت پاسخ میرای شدید در بخش ۱-۴-۳ در نظر گرفت. اگر به تابع تبدیل داده شده با معادله (۷-۴-۳) یک ورودی پله واحد اعمال گردد،



شکل ۵-۳ پاسخ میرای شدید برای ورودی پله

داریم

$$\begin{aligned} C(s) &= \frac{k}{(s+\alpha)} \frac{1}{s} \\ &= \frac{k}{\alpha^2} \left[ \frac{1}{s} - \frac{1}{(s+\alpha)} - \frac{\alpha}{(s+\alpha)^2} \right] \end{aligned} \quad (8-4-3)$$

و باگرفتن عکس تبدیل لاپلاس از معادله (8-4-3)، بدست می‌آوریم

$$\begin{aligned} c(t) &= \frac{k}{\alpha^2} \{ 1 - \exp(-at) - at \exp(-at) \} \\ &= \frac{k}{\alpha^2} \{ 1 - [1 + at] \exp(-at) \} \end{aligned} \quad (9-4-3)$$

(عملیات تبدیل به کسرهای جزبی (8-4-3) و عکس تبدیل لاپلاس (9-4-3) را انجام دهید). با فرض  $\alpha > 0$  داریم

$$\lim_{t \rightarrow \infty} c(t) = \frac{k}{\alpha^2} = \frac{k}{a_0} \quad (10-4-3)$$

که در آن  $a_0 = \alpha^2$  برای تعیین شرایط اولیه پاسخ از معادله (9-4-3)، بدست می‌آوریم

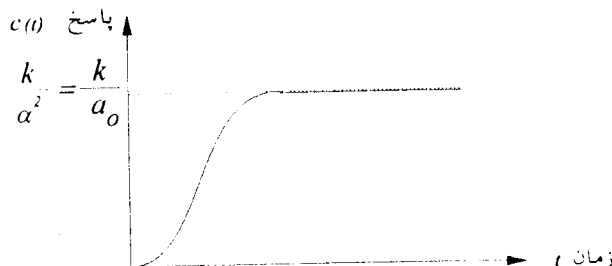
$$c(t) \Big|_{t=0} = 0 \quad (11-4-3)$$

و

$$\frac{dc(t)}{dt} \Big|_{t=0} = 0 \quad (12-4-3)$$

پاسخ زمانی کلی سیستم برای حالت میرای بحرانی در شکل ۶-۳ نشان داده شده است.

در صورتیکه فرارفت از مقدار حالت ماندگار پاسخ  $\frac{k}{\alpha^2}$  مجاز نباشد (به عبارت دیگر پاسخ در هیچ زمانی مقداری بیش از  $\frac{k}{\alpha^2}$  را اختیار نکند)، پاسخ میرای بحرانی سریعترین پاسخی است که می‌توان برای یک سیستم مرتبه دوم بدست آورد. این خاصیت در برخی از



شکل ۶-۳ پاسخ میرای بحرانی برای فرودی پنهان

سیستم‌های عملی و صنعتی بسیار مهم است. به عنوان مثال در یک روبات جوشکار، فرازت از مقدار نهایی می‌تواند بسیار خطروناک باشد و حال آنکه کندی سرعت و زمان بری زیاد در رسیدن به حالت نهایی (مانند حالت میرای شدید) نیز اصلاً مطلوب نیست، لذا در این صورت می‌توان از حالت میرای بحرانی استفاده نمود.

### ۳-۴-۳ پاسخ میرای ضعیف

مشخصه اصلی پاسخ میرای ضعیف آن است که بر خلاف دو حالت قبلی، در اثر اعمال ورودی پله، خروجی از مقدار نهایی خودش (مقدار حالت ماندگار پاسخ) فرا رفت و بالا می‌زند. در این حالت دو ریشه (قطب) مخرج تابع تبدیل سیستم اعداد مختلط هستند. وجود قطب‌های مختلط باعث می‌شود که پاسخ به ورودی پله نوسانی گردد. سرعت از بین رفتن این نوسانات بستگی به مقدار میرایی تابع تبدیل خواهد داشت. اگر پاسخ میرا نشود، در تئوری این نوسانات همواره باقی خواهد ماند اما در عمل هر سیستمی همواره مقداری میرایی پاسخ خواهد داشت. با افزایش مقدار میرایی، نوسانات سریعتر از بین می‌روند و با افزایش بیشتر میرایی به پاسخ میرایی بحرانی می‌رسیم که در آن نوسانات امکان شروع شدن را پیدا نمی‌کنند.

تابع تبدیل سیستم مرتبه دوم زیر را در نظر بگیرید

$$\begin{aligned} G(s) &= \frac{k}{(s + \alpha + j\beta)(s + \alpha - j\beta)} \\ &= \frac{k}{s^2 + 2\alpha s + (\alpha^2 + \beta^2)} = \frac{k}{(s + \alpha)^2 + \beta^2} \end{aligned} \quad (13-4-3)$$

با اعمال ورودی پله واحد به سیستم داده شده با معادله (۱۳-۴-۲)، بدست می‌آوریم

$$\begin{aligned} C(s) &= \frac{k}{(s + \alpha)^2 + \beta^2} \frac{1}{s} \\ &= \frac{k}{\alpha^2 + \beta^2} \left[ \frac{1}{s} - \frac{(s + \alpha)}{(s + \alpha)^2 + \beta^2} - \frac{\alpha}{(s + \alpha)^2 + \beta^2} \right] \end{aligned} \quad (14-4-3)$$

و با عکس تبدیل لاپلاس از معادله (۱۴-۴-۳)، داریم

$$c(t) = \frac{k}{\alpha^2 + \beta^2} \left\{ 1 - \exp(-at) \cos \beta t - \frac{\alpha}{\beta} \exp(-at) \sin \beta t \right\} \quad (15-4-3)$$

$$c(t) = \frac{k}{\alpha^2 + \beta^2} - \frac{k \exp(-\alpha t)}{\beta(\alpha^2 + \beta^2)^{1/2}} \left\{ \frac{\beta}{(\alpha^2 + \beta^2)^{1/2}} \cos \beta t + \frac{\alpha}{(\alpha^2 + \beta^2)^{1/2}} \sin \beta t \right\} \quad (16-4-3)$$

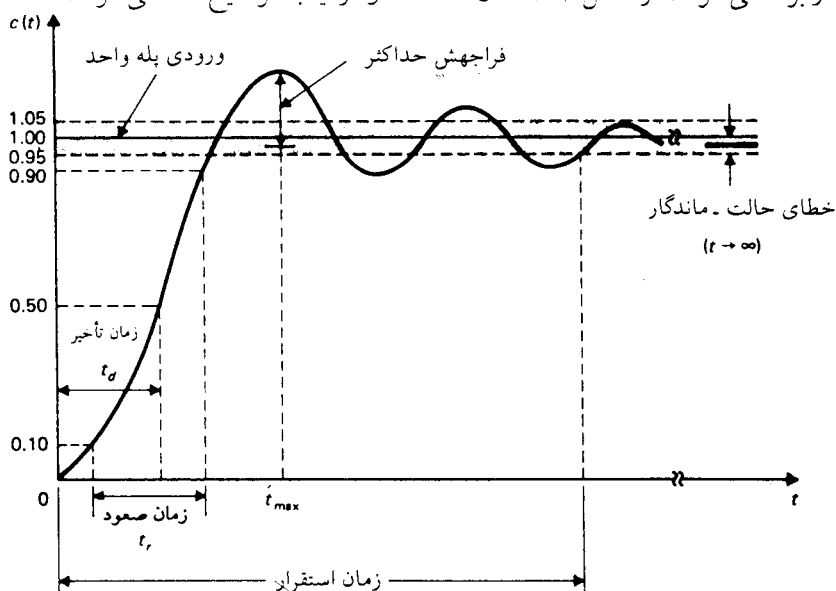
با تعریف

$$\theta = \tan^{-1} \beta / \alpha \quad (17-4-3)$$

داریم

$$c(t) = \frac{k}{(\alpha^2 + \beta^2)^{1/2}} \left\{ 1 - \frac{(\alpha^2 + \beta^2)^{1/2}}{\beta} \exp(-\alpha t) \sin(\beta t + \theta) \right\} \quad (18-4-3)$$

پاسخ همانطور که از معادله (18-4-3) مشاهده می شود، یک موج سینوسی با فرکانس  $\beta$  همراه با یک عبارات میرا کننده نمایی با عامل  $\alpha$  و یک مقدار حالت ماندگار داده شده با  $\frac{k}{(\alpha^2 + \beta^2)^{1/2}}$  است. شکل ۷-۳ پاسخ پله واحد یک سیستم مرتبه دوم را نشان می دهد. معیارهای عملکرد که معمولاً در حوزه زمان برای بررسی و تحلیل سیستم های کنترل خطی بکار برده می شوند، در شکل ۷-۳ نشان داده شده و در اینجا توضیح داده می شوند:



شکل ۷-۳ پاسخ پله واحد یک سیستم کنترل مرتبه دوم

۱- فراجهش حداکثر<sup>۱</sup>. اگر حداکثر مقدار خروجی سیستم ( $t$ ) پس از اعمال ورودی  $y(t)$  با  $c_{ss}$  نشان دهیم و  $c_{ss} \geq c_{max}$  باشد، آنگاه فراجهش حداکثر را به صورت زیر تعریف می‌کنیم

$$c_{max} - c_{ss} = \text{فراجهش حداکثر} \quad (19-4-3)$$

در بسیاری از موارد فراجهش حداکثر را به صورت درصدی از مقدار حالت ماندگار پاسخ پله سیستم نمایش می‌دهند. یعنی آنکه

$$\frac{\text{فراجهش حداکثر}}{c_{ss}} \times 100\% = \text{درصد فراجهش حداکثر} \quad (20-4-3)$$

یکی از مشخصه‌های عملکرد یک سیستم در حوزه زمان، فراجهش حداکثر آن است. در واقع فراجهش حداکثر بسیار زیاد در عمل مطلوب نیست زیرا باعث کاهش میزان پایداری سیستم می‌گردد.

۲- زمان تاخیر<sup>۲</sup>: زمان تاخیر به زمانی گفته می‌شود که لازم است تا پاسخ پله به  $5\%$  مقدار نهایی خودش برسد.

۳- زمان صعود<sup>۳</sup>: زمان صعود به زمانی گفته می‌شود که لازم است تا پاسخ از  $10\%$  به  $90\%$  درصد یا از  $5\%$  به  $95\%$  درصد یا از  $0\%$  به  $100\%$  درصد مقدار نهایی خودش برسد. برای سیستم‌های میرای ضعیف معمولاً از  $0\%$  تا  $100\%$  درصد و برای سیستم‌های میرای شدید اکثرًا از  $10\%$  تا  $90\%$  درصد استفاده می‌شود.

۴- زمان استقرار<sup>۴</sup>: زمان استقرار به مدت زمانی گفته می‌شود که لازم است تا پاسخ به یک محدوده مشخص شده حول مقدار نهایی پاسخ رسیده و پس از آن نیز در آن محدوده باقی بماند. این محدوده عموماً بحسب درصدی از مقدار نهایی پاسخ مانند  $2\%$  و یا  $5\%$  آن بیان می‌شود.

چهار کمیت تعریف شده در بالا معیارهای مستقیمی برای سنجش عملکرد و مشخصه‌های یک سیستم کنترل هستند. اندازه‌گیری آنها در عمل سرراست است و به سادگی نیز تعریف می‌شوند.

1- Maximum overshoot

2- Delay time

3- Rise time

4- Settling time

متداولترین نحوه نوشتن تابع تبدیل یک سیستم مرتبه دوم به صورت زیر است

$$G(s) = \frac{\omega_n^2}{s^2 + 2\xi\omega_n s + \omega_n^2} \quad (21-4-3)$$

که در آن  $\xi$  را نسبت میرایی<sup>۱</sup> و  $\omega_n$  را فرکانس طبیعی میرا نشده<sup>۲</sup> سیستم می نامند. از مقایسه معادله های (۲۱-۴-۳) و (۱۳-۴-۳) داریم  $\frac{\alpha}{\omega_n} = \xi$  و  $\omega_n^2 = \alpha^2 + \beta^2$ . به نکات زیر در رابطه با نسبت میرایی و فرکانس طبیعی میرا نشده توجه کنید:

۱- برای  $\xi > 0$ ، قطبهاي سیستم مرتبه دوم در (۱۳-۴-۳) به سمت قطبهاي یک سیستم

میرایی بحرانی میل خواهند کرد و در این صورت برای نسبت میرایی داریم  $\xi > 1$ .

از طرف دیگر اگر  $\xi < 0$  عامل میرایی نمایی در معادله (۱۸-۴-۳) به صفر میل می کند و به سمت یک پاسخ نوسانی بدون میرایی (نوسانی خالص) میل خواهیم کرد، در این صورت برای نسبت میرایی داریم  $\xi < 0$  از اینرو برای یک پاسخ میرای ضعیف داریم  $1 < \xi < 0$  که در آن با افزایش  $\xi$  به سمت ۱، میرایی در سیستم قوی تر خواهد شد. مقادیر  $1 < \xi < 0$  متناظر با حالت میرای شدید می باشند (بخش ۱-۴-۳ را ببینید).

۲- اگر نسبت میرای صفر باشد، آنگاه  $\alpha = 0 = \beta = \omega_n$  در این حالت نوسانات میرانشده و غیر افزایشی با فرکانس  $\omega_n$  همواره باقی خواهند ماند.

پاسخ سیستم داده شده با معادله (۲۱-۴-۳) به ورودی پله واحد عبارتست از

$$C(s) = \frac{\omega_n^2}{s(s^2 + 2\xi\omega_n s + \omega_n^2)} \quad (22-4-3)$$

با استفاده از عکس تبدیل لاپلاس می توان نشان داد که خروجی سیستم عبارتست از

$$c(t) = 1 - \frac{e^{-\xi\omega_n t}}{\sqrt{1-\xi^2}} \sin(\omega_n \sqrt{1-\xi^2} t + \cos^{-1}\xi) \quad t \geq 0 \quad (23-4-3)$$

معادله (۲۳-۴-۳) دقیقاً همان معادله (۱۸-۴-۳) است که مقادیر زیر در آن جایگزین شده اند

$$k = \alpha^2 + \beta^2, \quad \alpha = -\xi\omega_n, \quad \beta = \omega_n \sqrt{1-\xi^2}, \quad \phi = \cos^{-1}\xi$$

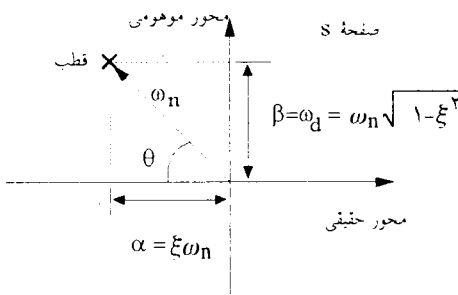
(صحت این روابط را با فرض  $k = \alpha^2 + \beta^2$  تایید کنید). همانطور که اشاره شد، فرکانس طبیعی میرانشده سیستم برای  $\xi = 0$  است. از رابطه سوم در روابط بالا داریم به ازاء  $\xi = 0$  قسمتهای موموی ریشه‌ها اندازه‌ای به مقدار زیر دارند

$$\beta = \omega_n \sqrt{1 - \xi^2} \quad (24-4-3)$$

اگر  $\xi \neq 0$  باشد، پاسخ سیستم  $(t)$  یک تابع غیر متناوب است و  $\beta$  تعريف شده با معادله  $(24-4-3)$  یک فرکانس نیست. لیکن به خاطر اهمیتی که  $\beta$  دارد آنرا با  $\omega_d$  نشان داده و فرکانس طبیعی میرانشده<sup>۱</sup> یا فرکانس شرطی<sup>۲</sup> می‌نامند.

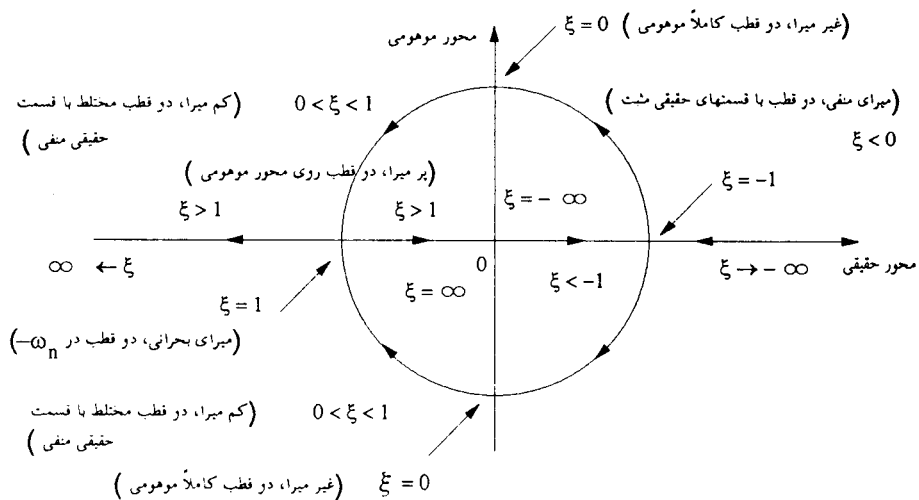
شکل ۳-۸- رابطه بین موقعیت قطب‌های سیستم و  $\alpha$ ،  $\xi$ ،  $\omega_n$  و  $\beta$  را نشان می‌دهد. برای ریشه‌های مختلط مزدوج نشان داده شده،  $\omega_n$  فاصله شعاعی از ریشه‌ها به مبدأ صفحه  $s$  است. عامل میرایی  $\alpha$  قسمت حقیقی ریشه‌ها، فرکانس طبیعی میرانشده  $\beta$  قسمت موهومی ریشه‌ها، نسبت میرایی  $\xi$  برابر با کسینوس زاویه بین خط شعاعی به ریشه‌ها و محور منفی است، هنگامیکه ریشه‌ها در سمت چپ صفحه  $s$  قرار گرفته باشند و یا

$$\xi = \cos \theta \quad (25-4-3)$$

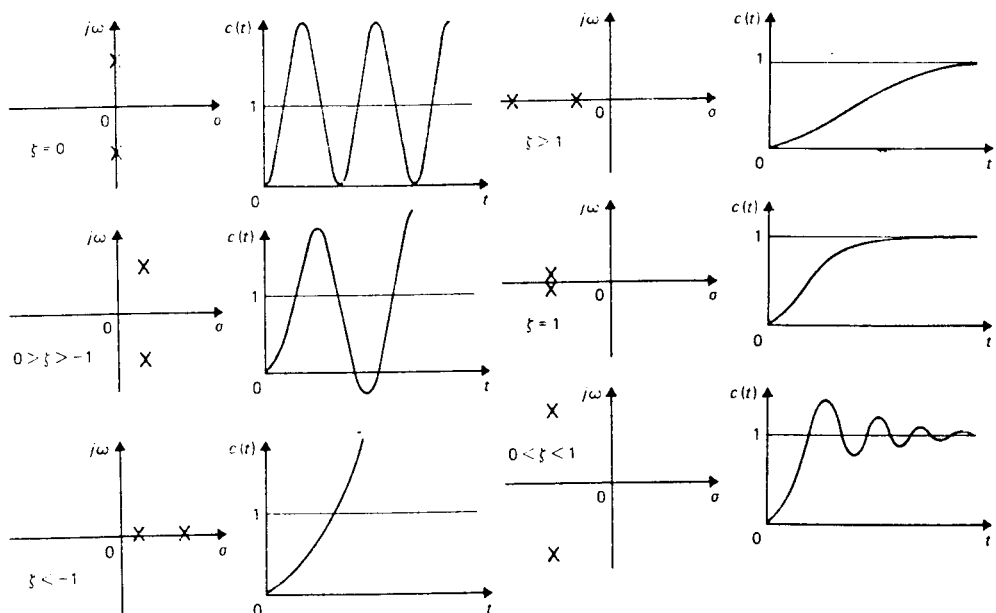


شکل ۳-۸- رابطه بین قطب‌های سیستم مرتبه دوم  $\alpha$ ،  $\xi$ ،  $\omega_n$  و  $\beta$

اثر قطب‌های سیستم بر روی سیستم مرتبه دوم در شکل‌های ۹-۳ و ۱۰-۳ نشان داده شده است. در شکل ۹-۳  $\omega_n$  ثابت فرض شده است و نسبت میرایی  $\xi$  از  $0$  تا  $\infty$  تغییر می‌کند.



شکل ۹-۳ مکان ریشه قطب‌های سیستم مرتبه دوم داده شده با معادله (۲۱-۴-۳) هنگامیکه  $\omega_n$  ثابت فرض شده است و نسبت میرایی از  $-\infty$  تا  $\infty$  تغییر می‌کند.



شکل ۱۰-۳ مقایسه بین پاسخهای سیستم به ازاء موقعیتهای مختلف قطب‌های سیستم مرتبه دوم.

شکل ۱۰-۳ پاسخهای پله واحد یک سیستم مرتبه دوم متناطر با مقادیر مختلف قطبنای سیستم را نشان می‌دهد.

در سیستم‌های عملی کنترل، تنها سیستم‌هایی که نسبت میرایی آنها مثبت‌اند (سیستم‌های پایدار) کاربرد دارند. شکل ۱۱-۳ پاسخهای سیستم مرتبه دوم داده شده با معادله  $(26-4-3)$  به ورودی پله واحد را برای مقادیر مختلف نسبت میرایی بر حسب زمان نرمالیزه شده  $\omega_n t$  نشان می‌دهد. همانطور که از شکل ۱۱-۳ مشاهده می‌شود، با کاهش  $\xi$  مقدار فراجهش حداکثر بزرگ‌تر شده و پاسخ نوسانی تر می‌گردد. برای مقادیر  $\xi \geq 1$  پاسخ پله واحد، نوسانی نشان نمی‌دهد (حالت میرای بحرانی و شدید).

در اینجا فراجهش حداکثر، زمان تاخیر، زمان صعود و زمان استقرار را برای یک سیستم مرتبه دوم داده شده با معادله  $(26-4-2)$ ، بدست می‌آوریم. نخست فراجهش حداکثر را تعیین می‌کنیم. زمانی را که پاسخ به حداکثر فراجهش می‌رسد، زمان ستیغ<sup>۱</sup> می‌نامند. برای تعیین زمان ستیغ از  $(t)$  نسبت به زمان مشتق می‌گیریم و آنرا مساوی با صفر قرار می‌دهیم. با مشتق گرفتن و پس از دو مرحله ساده سازی (این مراحل را انجام دهید)، بدست می‌آوریم

$$\left. \frac{dc(t)}{dt} \right|_{t=t_p=0} = \sin(\omega_n \sqrt{1-\xi^2} t_p) \frac{\omega_n}{\sqrt{1-\xi^2}} \exp(-\xi \omega_n t_p)$$

و بنابراین

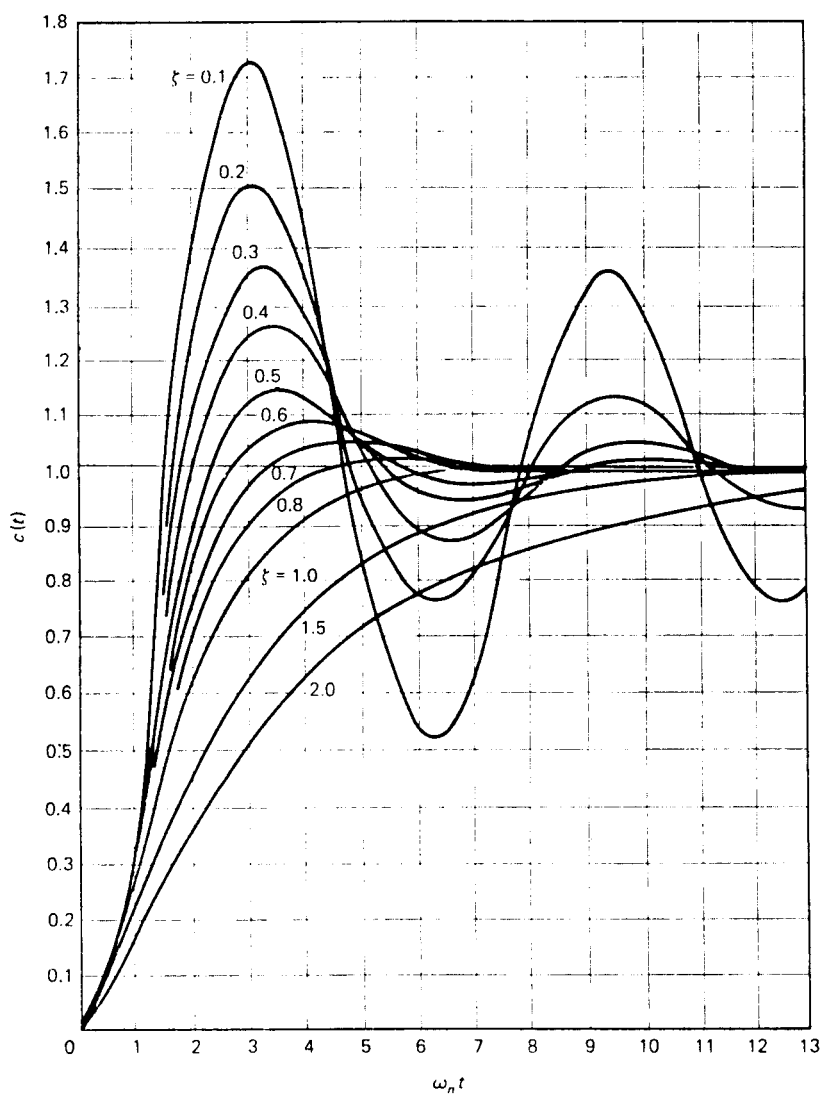
$$\sin(\omega_n \sqrt{1-\xi^2} t_p) = 0$$

و یا

$$\omega_n \sqrt{1-\xi^2} t_p = 0, \pi, 2\pi, 3\pi, \dots$$

زمان ستیغ برابر با زمان اولین فراجهش است و لذا

$$t_p = \frac{\pi}{\omega_n \sqrt{1-\xi^2}} \quad (26-4-3)$$



شکل ۱۱-۳ پاسخهای پله واحد سیستم مرتبه دوم با مقادیر مختلف نسبت مبرابری.

$$\begin{aligned}
 \text{اگر مقدار فراجهش حداکثر را با } M_p \text{ نشان دهیم، بنابر تعریف } M_p \text{ داریم} \\
 M_p = c(t_p) - 1 \\
 = -\exp(-\xi\pi/\sqrt{1-\xi^2}) \cdot \frac{1}{\sqrt{1-\xi^2}} \sin(\pi + \cos^{-1}\xi) \\
 = \exp(-\xi\pi/\sqrt{1-\xi^2})
 \end{aligned} \tag{۲۷-۴-۳}$$

بنابراین از معادله (۲۷-۴-۳) درصد فراجهش حداکثر برابر با  $100 \exp\left(-\pi\xi/\sqrt{1-\xi^2}\right)$  است.

تعیین دقیق روابط تحلیلی برای محاسبه زمان تاخیر، حتی برای سیستم‌های ساده مرتبه دوم ساده نیست. توجه کنید که برای محاسبه زمان تاخیر، باید در معادله (۲۳-۴-۳) به جای  $c(t)$  مقدار  $0/5$  را جایگذاری کرد و معادله را برای  $t$  حل نمود. روش‌های تقریبی ساده‌تری برای محاسبه زمان تاخیر وجود دارد که در اینجا از ذکر آنها صرف‌نظر می‌کنیم و در صورت تمایل به مطالعه بیشتر در این زمینه به بخش مراجع آخر همین فصل مراجعه کنید.

بنابر تعریف، زمان صعود  $t_r$  می‌تواند برای سیستم‌های میرای ضعیف به عنوان زمانی تلقی گردد که خروجی در پاسخ به ورودی پله واحد از  $0$  به  $1$  می‌رسد. لذا از معادله

$$\text{داریم} \tag{۲۳-۴-۳}$$

$$c(t_r) = 1 = 1 - \frac{e^{-\xi\omega_n t_r}}{\sqrt{1-\xi^2}} \sin(\omega_n \sqrt{1-\xi^2} t_r + \cos^{-1}\xi) \tag{۲۸-۴-۳}$$

از معادله (۲۸-۴-۳) داریم

$$\frac{e^{-\xi\omega_n t_r}}{\sqrt{1-\xi^2}} \sin(\omega_n \sqrt{1-\xi^2} t_r + \cos^{-1}\xi) = 0 \tag{۲۹-۴-۳}$$

با توجه به اینکه  $\exp(-\xi\omega_n t_r)$  همواره غیر صفر است و با جایگزینی  $\xi = \omega_n \sqrt{1-\beta^2}$  و  $\theta = \cos^{-1}\beta$  از معادله (۲۹-۴-۳)، بدست می‌آوریم

$$\beta t_r + \theta = n\pi \quad n = 0, \pm 1, \pm 2, \dots \tag{۳۰-۴-۳}$$

برای زمان صعود داریم  $t_r = n\pi/\beta$  و لذا معادله (۳۰-۴-۳)، می‌دهد

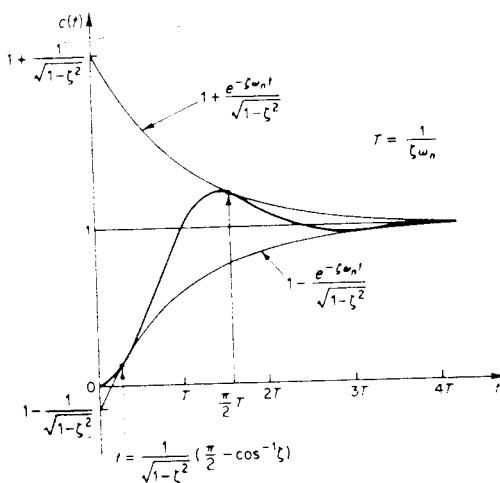
$$t_r = \frac{\pi - \theta}{\beta} \tag{۳۱-۴-۳}$$

معادله (۳۱-۴) زمان لازم را برای رسیدن پاسخ از  $0$  به  $1$  در پاسخ به ورودی پله واحد تعیین می‌کند. برای تعیین زمان لازم برای رسیدن پاسخ از  $0$  تا  $90$  درصد مقدار نهایی خود از روابط دیگری باید استفاده کرد که برای مطالعه بیشتر می‌توانید به مراجع آخر این فصل مراجعه کنید.

برای سیستم‌های میرای ضعیف مرتبه دوم، پاسخ گذاری سیستم به ورودی پله واحد از معادله (۲۳-۴) عبارتست از

$$c(t) = 1 - \frac{e^{-\xi\omega_0 t}}{\sqrt{1-\xi^2}} \sin(\omega_0 \sqrt{1-\xi^2} t + \cos^{-1}\xi) \quad (t \geq 0)$$

منحنیهای  $1 \pm e^{-\xi\omega_0 t}/\sqrt{1-\xi^2}$  منحنیهای پوش پاسخ گذرا برای ورودی پله واحد هستند. همانطور که از شکل ۱۲-۳ مشاهده می‌شود، منحنی پاسخ  $(1)$  همواره در داخل یک جفت از منحنیهای پوش باقی می‌ماند. ثابت زمانی این منحنیهای پوش  $\tau = \frac{1}{\xi\omega_0}$  است. نرخ صفر شدن پاسخ حالت گذرا، به مقدار ثابت زمانی  $\tau = \frac{1}{\xi\omega_0}$  بستگی دارد. برای یک  $\omega_0$  داده شده، زمان استقرار به مقدار  $\tau$  بستگی دارد. از شکل ۱۱-۳ مشاهده می‌گردد که برای مقدار ثابت  $\tau$  و برای گستره  $t$  بین  $0$  تا  $\tau$ ، زمان استقرار با کاهش  $t$  افزایش می‌یابد. برای یک سیستم میرای شدید بدلیل شروع کند پاسخ، زمان استقرار طولانی می‌شود.



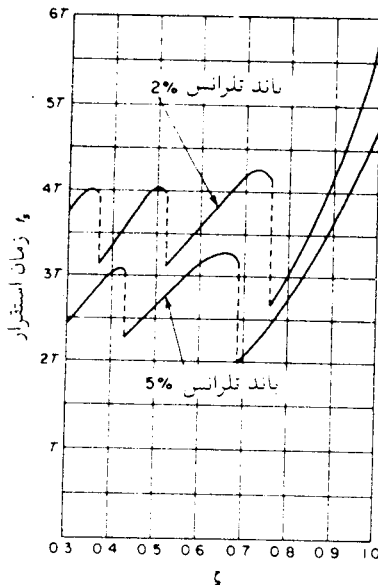
شکل ۱۲-۳ منحنیهای پوش برای منحنی پاسخ پله واحد سیستم مرتبه دوم

زمان استقرار متناظر با یک باند تلرانس  $\pm 2\%$  یا  $\pm 5\%$  را می‌توان بر حسب ثابت زمانی  $T = \frac{1}{\xi \omega_n}$  از منحنیهای شکل ۱۳-۳، برای مقادیر مختلف  $\xi$  اندازه گرفت. نتایج این اندازه‌گیری در شکل ۱۳-۳ نشان داده شده‌اند. برای مقادیر  $\xi = 0.5$ ،  $0.6$ ،  $0.7$ ،  $0.8$ ، اگر از معیار  $2\%$  استفاده گردد، تقریباً چهار برابر ثابت زمانی سیستم است. اگر از معیار  $5\%$  استفاده گردد، تقریباً سه برابر ثابت زمانی سیستم است. توجه کنید که، تقریباً حداقل زمان استقرار را برای معیار  $2\%$  در حدود  $0.76$ ، و برای معیار  $5\%$  در حدود  $0.68$  داشت. برای مقایسه بین پاسخهای سیستم‌ها، معمولاً زمان استقرار  $t_s$  را به صورت زیر تعریف می‌کنیم

$$t_s = 4T = \frac{4}{\xi \omega_n} \quad (\text{معیار } 2\%) \quad (32-4-3)$$

یا

$$t_s = 3T = \frac{3}{\xi \omega_n} \quad (\text{معیار } 5\%) \quad (33-4-3)$$



شکل ۱۳-۳ زمان استقرار بر حسب  
منحنیهای  $\xi$

## مثال ۱-۴-۳

توابع تبدیل مرئورهای انکتریکی را در فصل دوم بدست آوردیم. تابع تبدیل از ولتاژ میدان به موقعیت شفت یک موتور DC با کنترل میدان به صورت زیر داده شده است

$$G(s) = \frac{e^{\frac{s}{\tau}}}{s(\frac{1}{\tau} + 2s + 1)}$$

خروجی دستگاه اندازه‌گیری موقعیت شفت با سیگنالی به همان صورت مقایسه می‌شود و سیگنال خطای  $e$  نشان داده شده در شکل ۱۴-۳ را تشکیل می‌دهد. با بکارگیری یک آمپلی‌فایر قدرت پاسخ سریع و یک کنترل کننده با بهره ثابت، حلقه سیستم رانمی توان نمایک آمپلی‌فایر با بهره  $k$  است. تابع تبدیل حلقه سیستم عبارتست از

$$\frac{C(s)}{R(s)} = \frac{sk}{s^2 + 4s + 2k}$$

برای ورودی پله واحد، خروجی سیستم (موقعیت شفت) عبارتست از

$$C(s) = \frac{sk}{s(s^2 + 4s + 2k)}$$

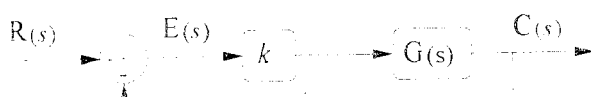
خروجی سیستم را برای مقادیر  $1$ ،  $2$  و  $8$  با بسط کسرهای جزئی و عکس تبدیل لاپلاس به صورت زیر بدست می‌آوریم

$$c(t) = 1 - \frac{1}{20} e^{-t/2} + \frac{e^{-t/2}}{20} e^{-3t/4} \quad k=1$$

$$c(t) = 1 - 2t e^{-t} - e^{-t} \quad k=2$$

$$c(t) = 1 + \frac{1}{154} e^{-t} \cos \left( \frac{3\sqrt{464}}{2} t + \frac{\pi}{6} \right) \quad k=8$$

نمودارهای پاسخ پله واحد این سیستم برای مقادیر بهره  $1$ ،  $2$  و  $8$  در شکل ۱۵-۳ نشان داده

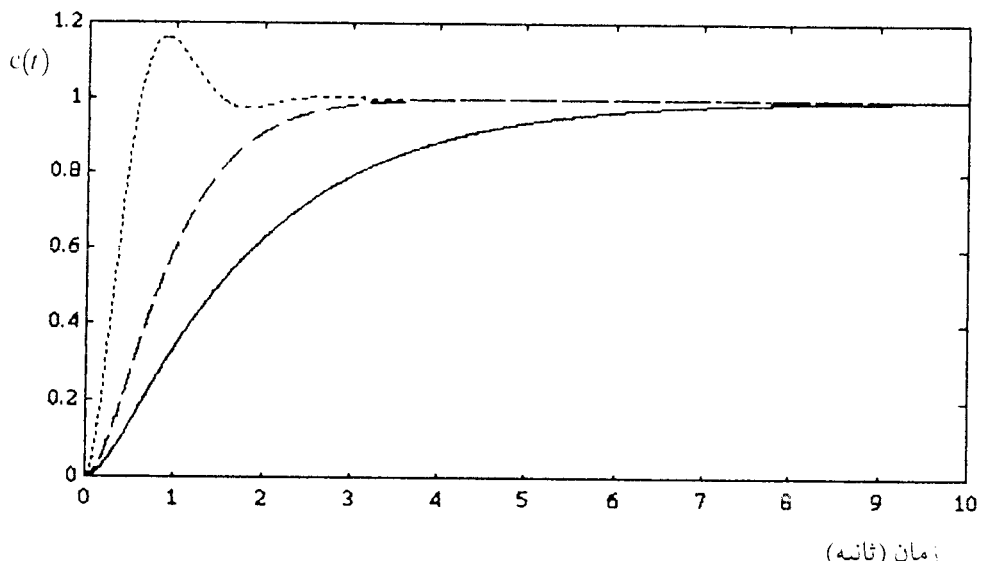


شکل ۱۴-۳ موتور DC مثال ۱-۴-۳

شده‌اند. همانطور که از شکل ۱۵-۳ مشاهده می‌شود برای مقادیر بزرگتر بهره  $k$  پاسخ سریعتر شده است. البته با افزایش بیشتر  $k$  پاسخ سیستم دچار نوسانات شدید می‌شود و مقدار فرارفت و زمان استقرار ممکن است که از حد قابل قبول خارج شوند. مقدار حالت نهایی پاسخ برای هر سه مقدار  $k$ ، همانطور که از شکل ۱۵-۳ مشاهده می‌شود، یکسان است. در واقع از قضیه مقدار نهایی داریم

$$C_{ss} = \lim_{t \rightarrow \infty} c(t) = \lim_{s \rightarrow 0} sC(s) = 1$$

مشخصه‌های پاسخ گذرا مانند فراجهش حداکثر، زمان صعود و زمان استقرار را می‌توان مستقیماً از منحنی پاسخ محاسبه نمود و یا اینکه به روش تحلیلی از معادلات بدست آمده استفاده کرد و آنها را محاسبه نمود. قطب‌های سیستم حلقه - بسته برای  $2 < k < \sqrt{4-2k}$  یا پاسخ میرای شدید است. برای  $k=2$ ، دو قطب در  $-2$ - قرار می‌گیرند و متناظر با حالت  $1 < k < \sqrt{4-2k}$  یا پاسخ میرای بحرانی است. برای  $k > 2$ ، ریشه‌ها مختلط مزدوج هستند و متناظر با حالت  $1 < k < \sqrt{4-2k}$  یا پاسخ میرای ضعیف است. برای نمونه در بهره  $k=8$  قطب‌های سیستم در  $\pm j\sqrt{464}/2$ - قرار



شکل ۱۵-۳ پاسخ پله واحد سیستم مثال ۱-۴-۳ برای مقادیر مختلف بهره  $k=1$ : —,  $k=2$ : ---,  $k=8$ : ...

می‌گیرند و در این حالت مخرج تابع تبدیل حلقه - بسته عبارتست از  $\omega_n^2 + \zeta^2 s + 4\zeta \omega_n s + \omega_n^2$ . با مقایسه این چند جمله‌ای با چند جمله‌ای استاندارد  $\omega_n^2 + 2\zeta \omega_n s + \omega_n^2$ , بدینهی است که  $\omega_n = 5$  و  $\zeta = 0.5$ . بنابراین  $\theta = 3/46$  و  $\beta = 60^\circ$ . بدین ترتیب مشخصه‌های پاسخ حالت - گذرا عبارتند از:

زمان ستیغ  $t_p$ :

$$t_p = \frac{\pi}{\beta} = 0.91 \text{ ثانیه}$$

فراجهش حداکثر  $M_p$ :

$$M_p = \exp(-\xi \pi / \sqrt{1 - \xi^2}) = 0.163$$

ولذا درصد فراجهش حداکثر  $16.3\%$  است.

زمان صعود  $t_r$ :

$$t_r = \frac{\pi - \theta}{\beta} = 0.054 \text{ ثانیه}$$

(توجه کنید  $\theta$  بر حسب رادیان برابر با  $47^\circ$  می‌باشد)

زمان استقرار  $t_s$ : برای معیار  $2\%$ , زمان استقرار برابر است با

$$t_s = \frac{4}{\xi \omega_n} = 2 \text{ ثانیه}$$

و برای معیار  $5\%$  برابر است با

$$t_s = \frac{3}{\xi \omega_n} = 1/5 \text{ ثانیه}$$

### ۵-۳ اثرات اضافه کردن صفر و قطب به توابع تبدیل

#### ۱-۵-۳ قطبهای غالب توابع تبدیل

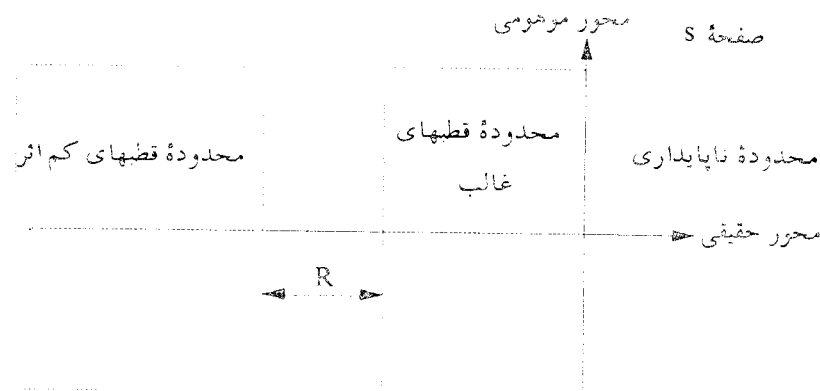
از مطالب ارایه شده در بخش ۴-۳ این نتیجه مهم حاصل می‌شود که، موقعیت قطبهای تابع تبدیل در صفحه  $s$  اثر مستقیم بر روی پاسخ گذاری آن دارد. در شکل ۱۰-۳ نشان داده شده است که موقعیت قطبها در یک سیستم مرتبه دوم، پاسخهای کاملاً متفاوت حالت گذرا را بدست می‌دهند. در تحلیل و طراحی سیستم‌های کنترل، پیدا کردن آن دسته از قطبهای سیستم که بیشترین اثر را بر پاسخ دارند اهمیت فوق العاده‌ای دارد. به این قطبها، قطبهای غالب<sup>۱</sup>

۱- Dominant poles

سیستم می‌گویند. دریخت سیستم‌های مرتبه دوم اشاره شد که بسیاری از سیستم‌های عملی را می‌توان به صورت یک تابع تبدیل مرتبه دوم مدل کرد. در واقع، در این مدل‌سازی از این واقعیت استفاده می‌گردد که قطب‌های غالب این گونه سیستم‌ها، همان دو قطب در نظر گرفته شده در تابع تبدیل مرتبه دوم مدل آنها هستند.

از آنجاییکه اکثریت سیستم‌های کنترل در عمل از مرتبه‌ای بالا برخودار هستند، لذا ییدا نمودن و تدوین دستورالعملی که این سیستم‌ها را توسط مدل‌های مرتبه پایین‌تر (مانند مدل مرتبه دوم) تغیریب بزنند، بسیار سودمند است. در کلیه کاربردهای عملی، می‌توان صفحه  $\Delta$  را به دو قسمت تشکیل شده از قطب‌های غالب و قطب‌های کم اثر<sup>۱</sup> تقسیم کرد. این تقسیم بندی در شکل ۱۶-۳ نشان داده شده است. توجه کنید که اندازه و مقادیر معینی برای مختصات قسمت‌های مختلف شکل ۱۶-۳ ارایه نشده است. زیرا در سیستم‌های مختلف این مختصات تفاوت می‌کند و در واقع هر سیستمی مختصات مربوط به خود را در شکل ۱۶-۳ خواهد داشت.

قاعده کلی آن است، قطب‌ایی که در صفحه  $\Delta$  در سمت چپ محور موهومی قرار دارد و به آن نزدیکتر هستند، پاسخ‌گذاری کندی خواهند داشت (با سرعت کمی صفر خواهند شد). حال آنکه قطب‌ایی که در سمت چپ محور موهومی  $\Delta$  قرار دارند، و نسبت به قطب‌های غالب



شکل ۱۶-۳ محدوده‌های قطب‌های غالب و کم اثر در صفحه  $\Delta$

بسیار دورتر از محور موهومی هستند، پاسخ گذرايی سریع دارند و با سرعت بيشتری صفر خواهند شد. قطبهاي دسته اول در محدوده قطبهاي غالب قرار گرفته و قطبهاي دسته دوم در محدوده قطبهاي کم اثر قرار می‌گيرند. مطلب مهم، تشخيص فاصله  $R$  بین اين دو محدوده است. از نقطه نظر عملی و کاربردي سیستم‌های کنترل، اگر اندازه قسمت حقيقي قطبی حداقل ۵ تا ۱۰ برابر قسمت حقيقي قطب غالب یا قطبهاي مختلف مزدوج غالب باشد، آن قطب را (از نظر تاثير بر پاسخ گذرا) از جمله قطبهاي کم اثر به حساب می‌آورند.

اگر سیستمی مرتبه‌ای بالاتر از مرتبه دو داشته باشد، نمی‌توان نسبت میرايی  $\zeta$  و فرکانس طبیعی میرا نشده  $\omega_n$  را به طور صريح برای آن تعريف نمود. لیکن اگر بتوان دینامیک سیستم را با يك جفت قطب غالب مزدوج تقریب زد، آنگاه از  $\zeta$  و  $\omega_n$  برای مشخص کردن قطبهاي سیستم استفاده می‌شود و نسبت میرايی را در اين حالت، نسبت میرايی نسبی<sup>۱</sup> می‌نامند.

### مثال ۱-۵-۳

تابع تبدیل زیر را در نظر بگیرید

$$G(s) = \frac{1}{(s+\lambda)(s^2 + 2s + 2)}$$

در اين تابع تبدیل، قطب در  $s_1 = -8$ ،  $s_2 = -1$  است. لذا می‌توان دینامیک سیستم را با اصلاح بهره حالت ماندگار با قسمت مرتبه دوم آن مدل کرد و در اینصورت نسبت میرايی نسبی سیستم  $70\%$  است.

### ۲-۵-۳ اثر قطبهاي غالب اضافي

در بخش ۴-۳، پاسخ سیستم مرتبه دوم مفصلأ بررسی شد. در این بخش، اثر اضافه کردن يك قطب غالب در  $s = p_2$  را به تابع تبدیل سیستم مرتبه دوم بررسی می‌کنیم. در این حالت داریم

$$\frac{C(s)}{R(s)} = \frac{k}{(s^2 + 2\xi\omega_n s + \omega_n^2)(s - p_2)} \quad (1-5-3)$$

1- Relative damping ratio

که در آن  $k = -\omega_n^2 p_2$ , بهره ثابت است. اگر به معادله (۱-۵-۳) ورودی پله واحد اعمال کنیم

(R(s) = 1/s) آنگاه با بسط کسرهای جزیی و عکس تبدیل لاپلاس، بدست خواهیم آورد

$$c(t) = 1 + 2A_1 e^{-\xi \omega_n t} \sin(\omega_n \sqrt{1-\xi^2} t + \theta) + A_3 e^{p_2 t} \quad (2-5-3)$$

که در آن  $A_1$  و  $A_3$  ثابت‌های بدست آمده از بسط کسرهای جزیی هستند. (عملیات تبدیل معادله

(۱-۵-۳) به کسرهای جزیی و گرفتن عکس تبدیل لاپلاس را انجام دهید و ثابت‌های  $A_1$  و  $A_3$  را

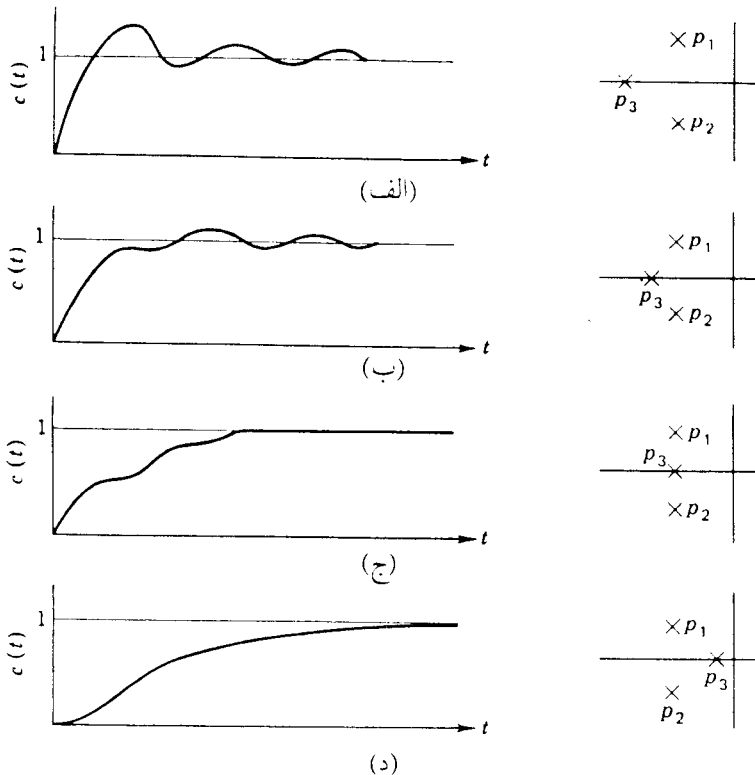
در معادله (۲-۵-۳) در حالت کلی بدست آورید). عبارت گذرای ناشی از قطب اضافه شده به  $p_2$  به

تابع تبدیل سیستم به صورت  $A_3 e^{p_2 t}$  است، که در آن  $A_3$  همواره منفی است.

بنابراین حداکثر فراجهش  $M_p$  کاهش یافته و زمان استقرار سیستم ممکن است که کاهش و یا

افزایش یابد. این اثر معمولی یک قطب غالب اضافی است. شکل ۱۷-۳ چهار حالت

موقعیت قطب غالب اضافی را نشان می‌دهد. با حرکت قطب  $p_2$  به سمت راست، اندازه  $A_3$



شکل ۱۷-۳ پاسخهای سیستم مرتبه سوم بر حسب موقعیت قطب سوم اضافه شده.

بزرگتر شده و فراجهش کوچکتر می‌شود. با نزدیکتر شدن به قطب‌های مختلط (از طرف چپ)، اولین فراجهش در پاسخ، کمتر از مقدار نهایی آن خواهد شد. بزرگترین فراجهش در این حالت (شکل ۱۷-۳ (ب)), می‌تواند در دومین فراجهش (و یا حتی سومین و غیره) باشد.

اگر قطب سوم دقیقاً در قسمت حقیقی قطب‌های مختلط مزدوج قرار گیرد (شکل ۱۷-۳ (ج)), پاسخ سیستم بدون فراجهش خواهد بود، که متناظر با حالت میرایی بحرانی است. اگر قطب اضافه شده در قسمت راست قطب‌های مختلط مزدوج قرار گیرد، پاسخ میرای شدید می‌شود (شکل ۱۷-۳ (د)).

### ۳-۵-۳ اثر صفرهای اضافی

شکل ۱۸-۳ پاسخهای پله واحد سیستم حلقه - بسته با تابع تبدیل

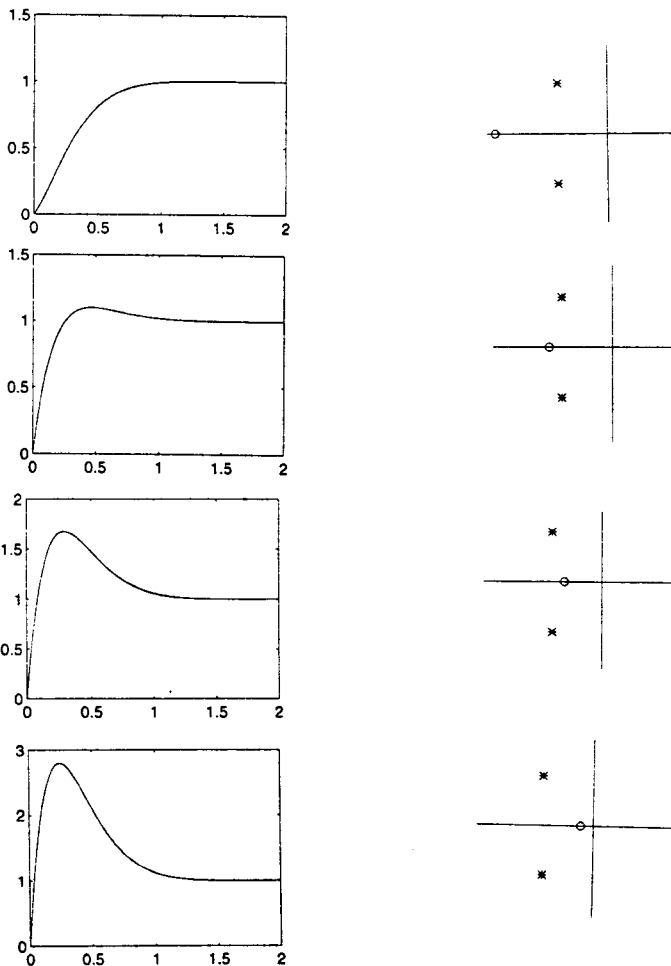
$$\frac{C(s)}{R(s)} = \frac{\omega_n^2(s-z_1)}{s^2 + 2\xi\omega_n s + \omega_n^2} \quad (3-5-3)$$

را برای موقعیتهای مختلف صفر اضافه شده نشان می‌دهد. همانطور که از حالت‌های مختلف شکل ۱۸-۳ مشاهده می‌شود، اثر اضافه کردن صفر در  $z_1$ , حداقل فراجهش سیستم را افزایش داده و زمان صعود را کاهش می‌دهد. هم چنین مشاهده می‌گردد که اگر  $z_2$  به سمت صفر می‌کند، هم‌زمان دامنه فراجهش حداقل افزایش می‌یابد و تازمانی که  $z_2$  مثبت باشد، سیستم در محدوده پایداری باقی خواهد ماند.

### ۴-۶ تحلیل خطای حالت ماندگار سیستم‌های کنترل

خطای حالت ماندگار<sup>۱</sup>, معیاری از دقت سیستم کنترل است، هنگامیکه یک نوع خاص ورودی به آن اعمال می‌گردد. دنبال کردن ورودی مرجع توسط خروجی سیستم، از اهداف مهم سیستم است. در سیستم‌های عملی و صنعتی، به دلایل مختلفی از قبیل اصطکاک و... خطای حالت ماندگار تقریباً هیچگاه دقیقاً صفر نمی‌شود. در مسئله طراحی، یکی از اهداف سیستم کنترل، حداقل کردن و یا نگهداشتن خطای در یک حد قابل قبول است. اندازه این حد خطای و دقت سیستم کنترل، به مقدار زیادی به ماهیت و هدف سیستم کنترل بستگی دارد. برای

1- Steady-state error



شکل ۱۸-۳ پاسخهای سیستم مرتبه دوم بر حسب موقعیت صفر اضافه شده.

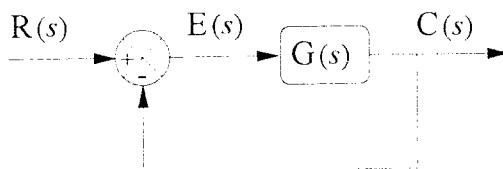
نمونه در کنترل سطح مایع یک مخزن بزرگ، خطامی تواند در حد چند سانتیمتر باشد ولی در یک سیستم کنترل روبات جوشکار و یا یک تلسکوپ بزرگ فضایی، خطاباید در حد چند میکرو رادیان باشد. ماهیت خطابایز همانند مقدار آن به ماهیت و هدف سیستم کنترل بستگی خواهد داشت. برای مثال، در یک سیستم کنترل سرعت، مقدار خطای حالت ماندگار تفاصل سرعت واقعی و سرعت مطلوب بوده که بر حسب سرعت است و حال آنکه در یک سیستم کنترل موقعیت، خطای حالت ماندگار بر حسب موقعیت خواهد بود.

### ۱-۶-۳ نوع سیستم

در بررسی نوع سیستم، ساختار فیدبک واحد نشان داده شده در شکل ۱۹-۳، مورد استفاده قرار می‌گیرد و نوع سیستم با توجه به تابع تبدیل حلقه - باز آن تعریف می‌گردد. اگر دیاگرام بلوکی اصلی سیستم به صورتی غیر از صورت نشان داده شده در شکل ۱۹-۳ باشد، با اعمال روش‌های جبری دیاگرام بلوکی (بخش ۲-۳-۲) دیاگرام بلوکی سیستم، به صورت فیدبک واحد تبدیل می‌شود. در حالت کلی،  $G(s)$  را می‌توان به صورت زیر بیان کرد:

$$G(s) = \frac{k(s^m + b_{m-1}s^{m-1} + \dots + b_1s + b_0)}{s^n(s^n + a_{n-1}s^{n-1} + \dots + a_1s + a_0)} \quad (1-6-3)$$

که در آن  $q$ ،  $m$  و  $n$  اعداد صحیح مثبت و  $a_i$ ،  $b_i$  غیر صفر هستند. در بسیاری از موارد می‌توان صورت و مخرج را در معادله (۱-۶-۳) به ترتیب به  $m$  و  $n$  عامل تجزیه کرد و آنها را به صورت حاصلضرب عوامل نوشت. ریشه‌های صورت و مخرج در معادله (۱-۶-۳) را به ترتیب صفرها و قطب‌های سیستم می‌نامیم.  $k$  بهره ثابت و عدد صحیح  $= 1, 2, \dots, q$  نوع



شکل ۱۹-۳ سیستم فیدبک واحد

سیستم<sup>۱</sup> را نشان می‌دهد. بنابراین  $q=1$  یک سیستم نوع صفر،  $1=q$  یک سیستم نوع یک و  $1=q$  یک سیستم نوع ۲ را نشان می‌دهد. مرتبه سیستم برابر با  $n+q$  است.

مثال ۱-۶-۳

سیستم‌های نشان داده شده در دیاگرام‌های بلوکی شکل ۲۰-۳ (الف) و (ب) را در نظر بگیرید. سیستم شکل ۲۰-۳ (الف) یک سیستم نوع دو مرتبه سوم است. برای تعیین نوع

سیستم شکل ۲۰-۳ (ب) نخست لازم است که آنرا به صورت فیدبک واحد تبدیل کنیم.  
توجه کنید که

$$H(s) = \frac{3}{s+3}, \quad G(s) = \frac{1}{s(s+1)}$$

بنابراین

$$\frac{C(s)}{R(s)} = \frac{G(s)}{1+G(s)H(s)} = \frac{N(s)}{D(s)}$$

که در آن  $N(s)$  و  $D(s)$  دو چند جمله‌ای در  $s$  می‌باشند. در این مثال با جایگزینی برای  $G(s)$  و  $H(s)$  داریم

$$D(s) = s^3 + 4s^2 + 3s + 3, \quad N(s) = s + 3$$

مطلوب است که دیاگرام بلوکی شکل ۲۰-۳ (ب) را به صورت فیدبک واحد تبدیل کنیم. با

تعريف یکتابع تبدیل معادل  $G_{eq}(s)$ ، داریم

$$\frac{C(s)}{R(s)} = \frac{G_{eq}(s)}{1+G_{eq}(s)} \left( = \frac{N(s)}{D(s)} \right)$$

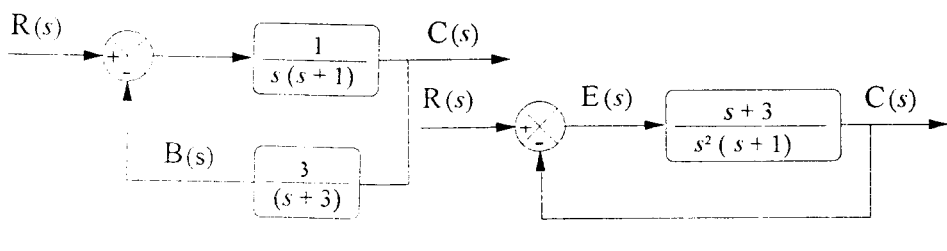
از اینرو

$$G_{eq}(s) = \frac{N(s)}{D(s) - N(s)}$$

با جایگزینی برای  $N(s)$  و  $D(s)$  در این مثال بدست می‌آوریم

$$G_{eq}(s) = \frac{s+3}{s(s^2+4s+3)}$$

ولذا سیستم نوع یک و مرتبه سوم است.



(ب)

(الف)

شکل ۲۰-۳ سیستم‌های مثال ۱-۶-۳

نکته مهم: در سیستم‌های فیدبک غیر واحد، مانند سیستم نشان داده شده در شکل ۲۰-۳ (ب)، خطای در نظر گرفته شده برای سیستم به صورت  $E(s) = R(s) - C(s)$  تعریف می‌شود و حال آنکه در بعضی از کتب کنترل مانند مرجع [۳]، خطای سیستم را به صورت  $E(s) = R(s) - B(s)$  تعریف می‌کنند. تحلیلهای ارایه شده در این دو حالت، تنها در صورتی معادل هستند که  $H(s) = 1$  باشد.

سیستم حلقه - بسته شکل ۱۹-۳ را در نظر بگیرید. داریم

$$C(s) = \frac{G(s)}{1+G(s)} R(s) \quad (2-6-3)$$

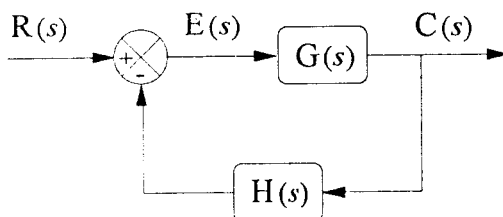
برای یک سیستم فیدبک غیر واحد نشان داده شده در شکل ۲۱-۳، داریم

$$C(s) = \frac{G(s)}{1+G(s)H(s)} R(s) \quad (3-6-3)$$

اگر بخواهیم دیاگرام بلوکی سیستم نشان داده شده در شکل ۲۱-۳ را به صورت دیاگرام بلوکی نشان داده شده در شکل ۱۹-۳ تبدیل کنیم،تابع تبدیل حلقه - باز معادل از معادله‌های  $(2-6-3)$  و  $(3-6-3)$ ، به صورت زیر داده می‌شود

$$\text{تابع تبدیل حلقه - باز معادل} = \frac{G(s)}{1+G(s)|H(s)-1|} \quad (4-6-3)$$

اگر  $H(s) = 1$  باشد، معادله  $(4-6-3)$  همان معادله  $(1-6-3)$  است، به طور مشابهی می‌توان به صورت داده شده در مثال ۱-۶-۳ نیز عمل کرد.



شکل ۲۱-۳ سیستم با فیدبک غیر واحد

### ۲-۶-۳ خطای حالت ماندگار

سیستم حلقه - بسته با فیدبک واحد نشان داده شده در شکل ۱۹-۳ را در نظر بگیرید، که

در آن خطاب عبارتست از

$$E(s) = \frac{1}{1+G(s)} R(s) \quad (5-6-3)$$

همانطور که از معادله (۵-۶-۳) مشاهده می‌شود، خطاب به ورودی اعمال شده به سیستم بستگی خواهد داشت.

خطای کلی سیستم از دو قسمت تشکیل می‌شود؛ قسمت اول، خطای حالت ماندگار

سیستم است که به صورت زیر نوشته می‌شود

$$\lim_{t \rightarrow \infty} e(t) = \lim_{s \rightarrow 0} sE(s) \quad (6-3)$$

قسمت دوم خطاب، خطای گذرا است که مستقیماً مربوط به پاسخ گذاری سیستم است. بنابراین

$$e(t) - \lim_{t \rightarrow \infty} e(t) = \text{خطای گذرا} \quad (7-6-3)$$

خطای حالت ماندگار سیستم با ورودی پله؛ اگر به سیستم نشان داده شده در شکار ۱۹-۳ یک ورودی پله اعمال گردد، خطای حالت ماندگار سیستم از معادله‌های (۵-۶-۳) و (۶-۶-۳)

بین صورت بدست می‌آید

$$\begin{aligned} \lim_{t \rightarrow \infty} e(t) &= \lim_{s \rightarrow 0} sE(s) = \lim_{s \rightarrow 0} s \frac{1}{1+G(s)} \frac{R}{s} \\ &= \lim_{s \rightarrow 0} \frac{R}{1+G(s)} \end{aligned} \quad (8-6-3)$$

با تعریف ثابت خطای - پله<sup>۱</sup> به صورت

$$K_s = \lim_{s \rightarrow 0} G(s) \quad (9-6-3)$$

$$\lim_{t \rightarrow \infty} e(t) = \frac{R}{1+K_s} \quad (10-6-3)$$

برای یک سیستم نوع صفر  $K_s$  یک عدد ثابت است و برای سیستم‌های نوع یک و بالاتر

نام

$$K_s = \lim_{s \rightarrow 0} G(s) = \infty \quad (11-6-3)$$

۱- Step-error constant

بنابراین با جایگزینی این مقادیر در معادله (۱۰-۶-۳)، نتیجه می‌گیریم که خطای حالت ماندگار سیستم به ورودی پله مقدار ثابت و خطای حالت ماندگار سیستم نوع یک و بالاتر به ورودی پله برابر صفر است،

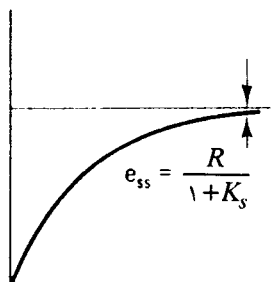
$$\lim_{t \rightarrow \infty} e(t) = 0. \quad (12-6-3)$$

شکل ۲۲-۳ خطای حالت ماندگار یک سیستم نوع صفر را به ورودی پله نشان می‌دهد.

### مثال ۲-۶-۳

سیستم زیر را در نظر بگیرید

$$G(s) = \frac{R}{s + \frac{1}{K_s}}$$



شکل ۲۲-۳ خطای حالت ماندگار ناشی از اعمال ورودی پله به سیستم نوع صفر

ثابت خطای - پله عبارتست از

$$K_s = \lim_{s \rightarrow 0} G(s) = \frac{R}{\frac{1}{K_s}}$$

ولذا خطای حالت ماندگار عبارتست از

$$e_{ss} = \lim_{s \rightarrow 0} sE(s) = \frac{1}{1 + R/K_s} = 0/375$$

توجه کنید که برای سیستم‌های نوع صفر، با بزرگ شدن ثابت خطای پله  $K_s$ ، خطای حالت ماندگار کاهش خواهد یافت. به عنوان نمونه در مثال ۲-۶-۳، با جایگزینی بهره ۱۵ در (s) به جای ۵ بسادگی می‌توان نشان داده که خطای حالت ماندگار  $G(s) = 1/167$  خواهد شد. لیکن در حالت کلی ممکن است که افزایش  $K_s$  باعث ناپایداری سیستم نیز گردد.

خطای حالت ماندگار سیستم به ورودی شبیه: اگر به سیستم نشان داده شده در شکل

۱۹-۳ یک ورودی شب اعمال گردد، خطای حالت ماندگار سیستم از معادله‌های (۵-۶-۳) و (۶-۶-۳) بدین صورت بدست می‌آید

$$\begin{aligned} \lim_{t \rightarrow \infty} e(t) &= \lim_{s \rightarrow 0} sE(s) = \lim_{s \rightarrow 0} s \frac{1}{1+G(s)} \frac{R}{s} \\ &= \lim_{s \rightarrow 0} \frac{R}{s+G(s)} \end{aligned} \quad (13-6-3)$$

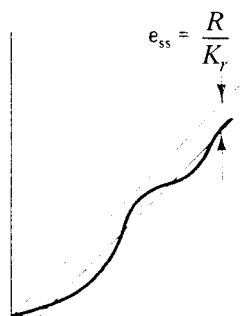
با تعریف ثابت خطای - شب <sup>۱</sup> به صورت

$$K_r = \lim_{s \rightarrow 0} sG(s) \quad (14-6-3)$$

$$e_{ss} = \lim_{t \rightarrow \infty} e(t) = \frac{R}{K_r} \quad \text{داریم} \quad (15-6-3)$$

برای سیستم نوع صفر، معادله (۱۴-۶-۳) صفر خواهد بود و لذا خطای حالت ماندگار داده شده با معادله (۱۵-۶-۳)، بینهایت است. برای سیستم نوع یک، ثابت خطای شب  $K_r$  یک عدد ثابت خواهد بود و بنابراین از معادله (۱۵-۶-۳) داریم که خطای حالت ماندگار نیز ثابت خواهد بود. برای سیستم‌های نوع بالاتر از یک، ثابت خطای شب  $K_r$  برابر بینهایت است و لذا خطای حالت ماندگار صفر خواهد شد.

شکل ۲۳-۳ خطای حالت ماندگار سیستم نوع یک به ورودی شب را نشان می‌دهد. خطای حالت ماندگار سیستم به ورودی سهموی: اگر به سیستم نشان داده شده در شکل ۱۹-۳ ورودی سهموی اعمال گردد، خطای حالت ماندگار سیستم از معادله‌های (۵-۶-۳) و



شکل ۲۳-۳ خطای حالت ماندگار ناشی از اعمال ورودی شب به سیستم نوع یک

(۶-۶-۳)، بدین صورت بدست می آید

$$\lim_{t \rightarrow \infty} e(t) = \lim_{s \rightarrow 0} sE(s) = \lim_{s \rightarrow 0} s \frac{1}{1+G(s)} \frac{R}{s^2} \\ = \lim_{s \rightarrow 0} \frac{R}{s^2 + s G(s)} \quad (16-6-3)$$

با تعریف ثابت خطای - سهموی<sup>۱</sup> به صورت

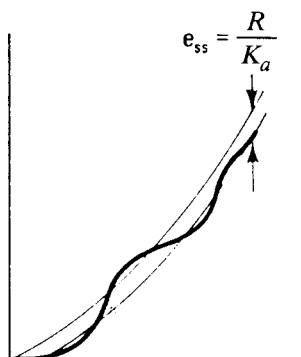
$$K_a = \lim_{s \rightarrow 0} s^2 G(s) \quad (17-6-3)$$

داریم

$$e_{ss} = \lim_{t \rightarrow \infty} e(t) = \frac{R}{K_a} \quad (18-6-3)$$

برای سیستم‌های نوع صفر و نوع یک، ثابت خطای سهموی صفر می‌شود و لذا خطای حالت ماندگار بی‌نهایت می‌گردد. برای سیستم‌های نوع دو، ثابت غیر صفر می‌شود و خطای حالت ماندگار  $R/K_a$  می‌گردد. برای سیستم‌های نوع سه و بالاتر، ثابت خطای - سهموی بی‌نهایت است و لذا خطای حالت ماندگار صفر می‌گردد. شکل ۲۴-۳، خطای حالت ماندگار یک سیستم نوع دو را به ورودی سهموی نشان می‌دهد.

تحلیل ارایه شده در بالا را می‌توان برای سایر ورودیها نیز به طور مشابهی ادامه داد. در جدول ۱-۳ نتایج بدست آمده خلاصه شده‌اند.



شکل ۲۴-۳ خطای حالت ماندگار ناشی از اعمال ورودی سهموی به سیستم نوع دو.

### جدول ۱-۳ خطای حالت ماندگار بر حسب نوع سیستم و ورودی اعمال شده به آن

نوع سیستم	ورودی تابع پله	ورودی تابع شبیه	ورودی تابع سهموی
۰	$\frac{R}{1+K_s}$	$\infty$	$\infty$
۱	$\infty$	$\frac{R}{K_r}$	$\infty$
۲	$\frac{R}{K_a}$	$\infty$	$\infty$
۳	$\infty$	$\infty$	$\infty$

## ۷-۳ اثرات فیدبک بر عملکرد سیستم‌های کنترل

در بخش‌های قبل با تحلیل عملکرد حالت گذرا و حالت ماندگار در سیستم‌های کنترل آشنا شدیم. در این بخش به بررسی اثرات فیدبک بر عملکرد سیستم‌های کنترل خواهیم پرداخت.

### ۷-۳-۱ اثرات فیدبک بر بهره و ثابت زمانی سیستم

سیستم مرتبه اول داده شده با تابع تبدیل زیر را در نظر بگیرید

$$G(s) = \frac{k}{1+\tau s} \quad (7-3)$$

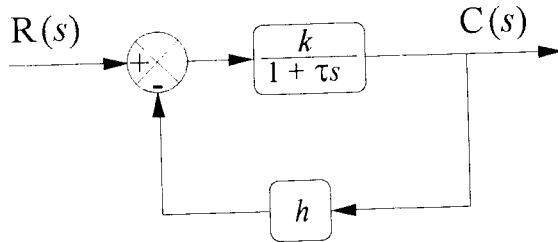
همانطور که در بخش ۷-۳-۱ اشاره شد، ثابت  $\tau = 1/a$  در بخش ۷-۳-۱) ثابت زمانی سیستم است و سرعت پاسخ سیستم را تعیین می‌کند. در واقع هر چه ثابت زمانی کوچکتر باشد، پاسخ سیستم سریعتر خواهد بود و لذا، در بسیاری از موقع در عمل ثابت زمانی‌های کوچکتر مطلوب‌تر می‌باشند. ثابت  $k$  نیز بهره سیستم حلقه - باز است. با بکار گیری فیدبک، سیستم حلقه - بسته نشان داده شده در شکل ۷-۲۵ بدست خواهد آمد. تابع تبدیل سیستم حلقه -

بسته عبارتست از

$$\begin{aligned} \frac{C(s)}{R(s)} &= T(s) = \frac{k/(1+\tau s)}{1+[hk/(1+\tau s)]} \\ &= \frac{k/(1+hk)}{1+[\tau/(1+hk)]s} \end{aligned} \quad (7-7-3)$$

سیستم حلقه - بسته نیز یک سیستم مرتبه اول است که می‌تواند به صورت زیر بازنویسی گردد

$$T(s) = \frac{k_c}{1+\tau_c s} \quad (7-7-3)$$



شکل ۲۵-۳ سیستم مرتبه اول با فیدبک.

که در آن بهره سیستم و ثابت زمانی آن به ترتیب عبارتند از

$$k_c = \frac{k}{1+hk} \quad (4-7-3)$$

و

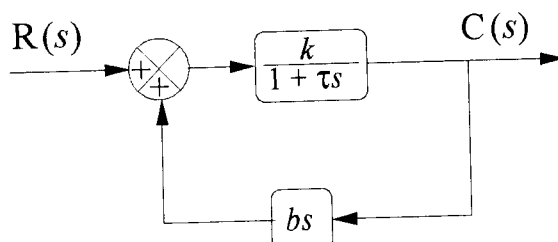
$$\tau_c = \frac{\tau}{1+hk} \quad (5-7-3)$$

همانطور که از معادله های (۴-۷-۳) و (۵-۷-۳) مشخص است، اثر فیدبک کوچکتر کردن بهره و ثابت زمانی سیستم است. اگر بخواهیم ثابت زمانی را کم کنیم، در حالیکه بهره سیستم تغییری نکند، می توان از سیستم فیدبک تشان داده شده در شکل ۲۶-۳ استفاده کرد. از شکل

۲۶-۳، تابع تبدیل حلقه - بسته سیستم بدست می آید. داریم

$$\begin{aligned} T(s) &= \frac{k}{(\tau - bk)s + 1} \\ &= \frac{k}{\tau_c s + 1} \end{aligned} \quad (6-7-3)$$

که در آن  $\tau_c$  ثابت زمانی سیستم حلقه - بسته است. دقت کنید که با انتخاب  $b$  می توان ثابت زمانی را به هر مقدار مطلوب تبدیل کرد.



شکل ۲۶-۳ سیستم فیدبک مثبت با مشتق گیر

### ۲-۷-۳ اثر فیدبک بر اغتشاشات خارجی

نحویاً در اکثر کاربردهای عملی و صنعتی سیستم‌های کنترل، ورودیهای خارجی و غیر قابل پیش‌بینی وارد سیستم می‌شوند که اثرات منفی نیز بر روی عملکرد سیستم بر جای خواهند گذاشت. در بعضی از این موارد، این اثرات ممکن است چندان مهم نباشند و طراح نیازی به بررسی جداگانه آنها نداشته باشد و حال آنکه در موارد دیگری ممکن است که طراحی موفق عملی سیستم کنترل، بدون در نظر گرفتن این اثرات امکان پذیر نباشد. این ورودیهای خارجی و غیر قابل پیش‌بینی را اغتشاشات خارجی<sup>۱</sup> می‌نامند و به دو صورت در سیستم رخ می‌دهند:

(الف) یک ثابت غیر صفر ثابت که آنها را اغتشاشات بار<sup>۲</sup> یا افست<sup>۳</sup> می‌نامند و (ب) یک سیگنال نویز تصادفی<sup>۴</sup>.

شکل ۲۷-۳ مدل اغتشاشات خارجی را نشان می‌دهد. خروجی سیستم حلقه - باز عبارتست از

$$C_0(s) = C_{10}(s) + C_{20}(s) \quad (7-7-3)$$

که در آن  $C_{10}(s)$ ، آن قسمت از خروجی است که به ورودی  $R(s)$  مربوط می‌باشد و برابر است با

$$C_{10}(s) = G_1(s)G_7(s)R(s) \quad (8-7-3)$$

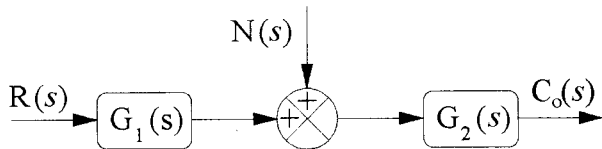
و  $C_{20}(s)$  آن قسمت از خروجی است که به ورودی اغتشاش  $N(s)$  مربوط می‌باشد و برابر است با

$$C_{20}(s) = G_2(s)N(s) \quad (9-7-3)$$

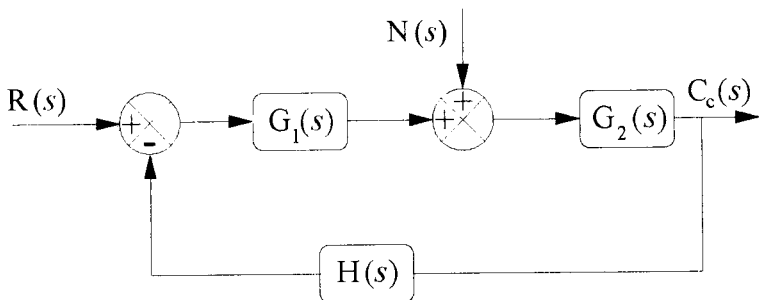
حال به بررسی اثر فیدبک بر سیستم نشان داده شده در شکل ۲۷-۳ می‌پردازیم. با اعمال فیدبک بر روی این سیستم، سیستم حلقه - بسته نشان داده شده در شکل ۲۸-۳ را خواهیم

داشت. خروجی سیستم حلقه - بسته عبارتست از

$$C_c(s) = C_{1c}(s) + C_{2c}(s) \quad (10-7-3)$$



شکل ۲۷-۳ سیستم تحت تأثیر اغتشاشات خارجی.



شکل ۲۸-۳ سیستم تحت تأثیر اغتشاشات خارجی با فیدبک.

که در آن  $C_{1c}(s)$  و  $C_{2c}(s)$ ، به ترتیب قسمتهای خروجی متناظر با ورودیهای  $R(s)$  و  $N(s)$  می‌باشند و عبارتند از (توجه کنید که  $C_{1c}(s)$  و  $C_{2c}(s)$  به ترتیب با صفر قرار دادن  $N(s)$  و  $R(s)$  در دیاگرام بلوکی تعیین می‌گردند)

$$C_{1c}(s) = \frac{G_1(s)G_2(s)}{1+G_1(s)G_2(s)H(s)}R(s) \quad (11-7-3)$$

$$C_{2c}(s) = \frac{G_2(s)}{1+G_1(s)G_2(s)H(s)}N(s) \quad (12-7-3)$$

حال اگر دو خروجی را که توسط اغتشاش در سیستم حلقه - باز داده شده با معادله (۹-۷-۳) و در سیستم حلقه - بسته داده شده با معادله (۱۲-۷-۳) ایجاد شده‌اند، با هم مقایسه کنیم

$$\frac{C_{2c}(s)}{C_{1c}(s)} = \frac{1}{1+G_1(s)G_2(s)H(s)} \quad (13-7-3)$$

داریم و لذا عنصر اغتشاش در خروجی با عامل  $[1+G_1(s)G_2(s)H(s)]$  کم شده است، که اثر فیدبک را به خوبی نشان می‌دهد.

در سیستم‌های مخابراتی به ورودی  $R(s)$  سیگنال گفته شده و یکی از مشخصه‌های مهم سیستم، نسبت سیگنال به نویز<sup>۱</sup> (SNR) می‌باشد که به صورت زیر تعریف می‌شود

$$\text{SNR} = \frac{\text{خروجی بر اثر سیگنال}}{\text{خروجی بر اثر نویز}} \quad (14-7-3)$$

برای سیستم حلقه - باز داریم

$$\text{SNR}_o = \frac{C_{1o}(s)}{C_{2o}(s)} = G_1(s) \frac{R(s)}{N(s)} \quad (15-7-3)$$

و برای سیستم حلقه - بسته داریم

$$\text{SNR}_c = \frac{C_{1c}(s)}{C_{\tau c}(s)} = G_1(s) \frac{R(s)}{N(s)} \quad (16-7-3)$$

بنابراین از معادله‌های (15-7-3) و (16-7-3) مشاهده می‌شود که فیدبک به تنها یکی این نسبت را تغییر نمی‌دهد. برای تغییر نسبت سیگنال به نویز نه تنها باید فیدبک اعمال کرد بلکه باید ورودی و تابع تبدیل  $(s)$  را نیز تنظیم کنیم. اگر همراه با فیدبک ورودی  $R(s)$  را به

$\tilde{R}(s)$  و تابع تبدیل  $G_1(s)$  را به  $\tilde{G}_1(s)$  چنان تغییر دهیم که

$$\begin{aligned} \tilde{C}_{1c}(s) &= \frac{\tilde{G}_1(s)G_\tau(s)}{1 + \tilde{G}_1(s)G_\tau(s)H(s)} \tilde{R}(s) \\ &= G_1(s)G_\tau(s)R(s) = C_{1o}(s) \end{aligned} \quad (17-7-3)$$

خواهیم داشت

$$C_{\tau c}(s) = \frac{G_\tau(s)}{1 + \tilde{G}_1(s)G_\tau(s)H(s)} N(s) \quad (18-7-3)$$

و نسبت سیگنال به نویز در این حالت برابر است با

$$\begin{aligned} \text{SNR}_{\tilde{c}} &= \frac{\tilde{C}_{1c}(s)}{C_{\tau c}(s)} \\ &= \frac{G_1(s)G_\tau(s)R(s)}{\left[ G_\tau(s)N(s) / (1 + \tilde{G}_1(s)G_\tau(s)H(s)) \right]} \\ &= G_1(s) \frac{R(s)}{N(s)} [1 + \tilde{G}_1(s)G_\tau(s)H(s)] \end{aligned} \quad (19-7-3)$$

از معادلهای (۱۵-۷-۳) و (۱۹-۷-۳) داریم

$$\frac{\text{SNR}_{\tilde{C}}}{\text{SNR}_0} = \frac{1 + \tilde{G}_1(s)G_2(s)H(s)}{\text{SNR}_0} \quad (20-7-3)$$

بنابراین اگر فیدبک با تغییر مناسب  $R(s)$  و  $G_1(s)$  همراه باشد، SNR سیستم افزایش خواهد یافت.

### ۳-۷-۳ اثر فیدبک بر حساسیت سیستم

در طراحی کنترل کننده برای یک سیستم، معمولاً فرض می‌شود که مدل سیستم و مدل کنترل کننده طراحی شده دقیق بوده و نمایشهای کاملی از تحقق فیزیکی و واقعی آنها هستند. این فرض، خطاهای موجود در مدلسازی و مراحل مختلف ساخت، و هم چنین خطاهای اندازه‌گیری را نادیده می‌گیرد. علاوه بر آن، در کلیه سیستم‌های کنترل اثرات مختلفی مانند تغییرات محیط، فرسودگی، عدم دسترسی به برخی پارامترهای سیستم و غیره موجب آن می‌گردند که همواره در صدی نامعینی<sup>۱</sup> در رابطه با مدل‌های در دست و طراحی شده وجود داشته باشد.

بررسی این مطالب که عملکرد سیستم به چه اندازه‌ای نسبت به بعضی از تغییرات یا خطاهای موجود در پارامترهای آن، حساس می‌باشد در طراحی سیستم‌های عملی کنترل فوق العاده مهم است. به این بزرگی، بررسی حساسیت<sup>۲</sup> سیستم گفته می‌شود.

در سیستم‌های حلقه - باز داریم

$$C(s) = G(s)R(s) \quad (21-7-3)$$

و لذا تغییرات احتمالی  $(s)G$  و یا خطاهای مدلسازی تابع تبدیل مستقیماً بر خروجی آن تاثیر می‌گذارند و حال آنکه در سیستم‌های فیدبک داریم

$$C(s) = \frac{G(s)}{1 + G(s)H(s)} R(s) \quad (22-7-3)$$

این تغییرات و خطاهای مستقیماً بر خروجی تاثیر نمی‌گذارند. برای سیستم حلقه - بسته داده شده با معادله (۲۲-۷-۳) اگر داشته باشیم  $1 >> G(s)H(s)$ ، آنگاه

$$C(s) \approx \frac{1}{H(s)} R(s) \quad (23-7-3)$$

و لذا خروجی تنها از  $H(s)$  تاثیر می‌پذیرد و می‌توان آنرا به گونه‌ای مناسب به طور دلخواه انتخاب نمود. البته باید توجه داشت که انتخاب  $H(s)$  به گونه‌ای که  $G(s)H(s) >> 1$  باشد، همواره عملی نیست و در بسیاری از موارد به پاسخ نوسانی و یا حتی ناپایدار (بخش ۸-۳) می‌انجامد. در هر صورت معادله (۲۲-۷-۳) نشان می‌دهد که افزایش  $G(s)H(s)$  اثر  $G(s)$  و در نتیجه تغییرات آنرا بر خروجی کم می‌کند. بنابراین با فیدبک می‌توان اثر تغییرات پارامترهای سیستم حلقه - باز بر خروجی را کم کرد.

برای بررسی اثر تغییرات پارامترهای سیستم، فرض کنید که تغییر پارامترها را با  $\Delta G$  نشان دهیم. در این صورت تابع تبدیل واقعی سیستم عبارتست از  $(G(s) + \Delta G(s))R(s)$ . در سیستم حلقه - باز تغییر خروجی به صورت زیر خواهد بود

$$\Delta C(s) = \Delta G(s)R(s) \quad (24-7-3)$$

در سیستم‌های حلقه - بسته این تغییرات به صورت زیر در خروجی نشان داده خواهد شد

$$C(s) + \Delta C(s) = \frac{G(s) + \Delta G(s)}{1 + [G(s) + \Delta G(s)]H(s)} R(s) \quad (25-7-3)$$

و لذا تغییر در خروجی عبارتست از

$$\Delta C(s) = \frac{\Delta G(s)}{|1 + G(s)H(s) + \Delta G(s)H(s)| |1 + G(s)H(s)|} R(s) \quad (26-7-3)$$

در اکثر مواقع داریم  $G(s)H(s) >> \Delta G(s)H(s)$ ، و لذا از معادله (۲۶-۷-۳) داریم

$$\Delta C(s) \approx \frac{\Delta G(s)}{|1 + G(s)H(s)|} R(s) \quad (27-7-3)$$

معادله (۲۷-۷-۳) نشان می‌دهد که تغییر خروجی سیستم با عامل  $|1 + G(s)H(s)|$  کاهش یافته است و این عامل در بسیاری از موارد بسیار بزرگتر از یک است. در واقع همانطور که بعداً نیز خواهیم دید، عامل  $|1 + G(s)H(s)|$  نقش مهمی را در مشخصه سیستم‌های کنترل فیدبک ایفا می‌کند.

بنابر تعریف، حساسیت سیستم برابر است با نسبت درصد تغییر در تابع تبدیل سیستم حلقه - بسته به درصد تغییر در تابع تبدیل حلقه - باز. با نشان دادن تابع تبدیل حلقه - بسته به

صورت  $(s)$  در صد تغییر در تابع تبدیل حلقه - بسته عبارتست از  $\Delta T(s)/T(s)$  و همچنین در صد تغییر در تابع تبدیل حلقه - باز عبارتست از  $\Delta G(s)/G(s)$ . بنابراین از تعریف حساسیت سیستم داریم

$$S_G^T = \frac{\Delta T(s)/T(s)}{\Delta G(s)/G(s)} \quad (28-7-3)$$

که در آن،  $S_G^T$  تابع حساسیت است. حد معادله (۲۸-۷-۳) عبارتست از

$$S_G^T = \frac{\partial T(s)/T(s)}{\partial G(s)/G(s)} = \frac{\partial \ln T(s)}{\partial \ln G(s)} \quad (29-7-3)$$

با جایگزینی  $T(s)=C(s)/R(s)$  از معادله (۲۲-۷-۳) در معادله (۲۹-۷-۳)، بدست می‌آوریم

$$\begin{aligned} S_G^T &= \frac{\partial T}{\partial G} \cdot \frac{G}{T} = \frac{1}{[1+G(s)H(s)]} \frac{G(s)}{G(s)/[1+G(s)H(s)]} \\ &= \frac{1}{1+G(s)H(s)} \end{aligned} \quad (30-7-3)$$

از معادله (۳۰-۷-۳) مشاهده می‌گردد که با افزایش  $G(s)H(s)$  می‌توان حساسیت سیستم‌های کنترل را نسبت به تغییرات مدل سیستم حلقه - باز کم کرد.

به طور مشابهی، می‌توان نشان داد که حساسیت سیستم حلقه - بسته به تغییرات در عنصر فیدبک  $H(s)$  عبارتست از

$$S_H^T = \frac{\partial T}{\partial H} \cdot \frac{H}{T} = \left( \frac{G(s)}{1+G(s)H(s)} \right)^{-1} \frac{-H(s)}{G(s)/[1+G(s)H(s)]} \quad (31-7-3)$$

معادله (۳۱-۷-۳) نشان می‌دهد که برای  $G(s)H(s) \rightarrow \infty$   $S_H^T \rightarrow 0$ ، ولذا در انتخاب  $H(s)$  باید دقت کرد که ثابت بوده و یا تغییرات آن با محیط و سایر عوامل دیگر حداقل باشد. سرانجام، حساسیت پاسخ سیستم حلقه - بسته نسبت به تغییرات در مدل حلقه - باز  $G(s)$  را بررسی می‌کنیم. داریم

$$\begin{aligned} S_G^C &= \frac{\partial C(s)}{\partial G(s)} \frac{G(s)}{C(s)} = \frac{R(s)}{[1+G(s)H(s)]} \frac{[1+G(s)H(s)]}{R(s)} \\ &= \frac{1}{1+G(s)H(s)} \end{aligned} \quad (32-7-3)$$

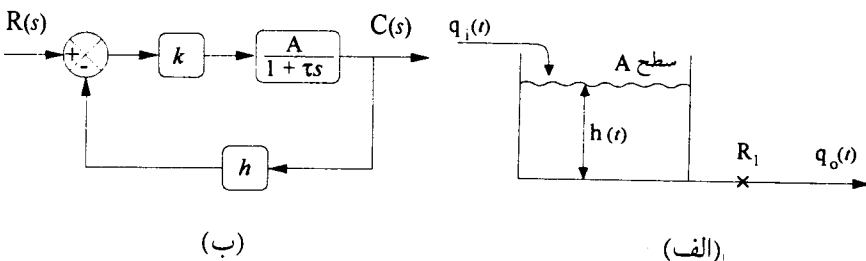
که همانند معادله (۲۹-۷) است و با افزایش  $G(s)H(s)$  این حساسیت کاهش می‌یابد.

### مثال ۱-۷-۳

تابع تبدیل یک مخزن حاوی مایع با ورودی مایع  $(t)q_0$ ، خروجی مایع  $(t)q_i$ ، ارتفاع سطح مایع  $h(t)$  و سطح مخزن  $A$  که در شکل ۲۹-۳ (الف) نشان داده شده است، عبارت است از

$$\frac{H(s)}{Q_i(s)} = \frac{R_1}{A_1 R_1 s + 1}$$

که در آن  $R_1$  مقاومت شیر خروجی مخزن است. دیاگرام بلوکی سیستم کنترل ارتفاع مایع این سیستم در شکل ۲۹-۳ (ب) نشان داده شده است. تابع تبدیل حلقه - بسته سیستم عبارت است از



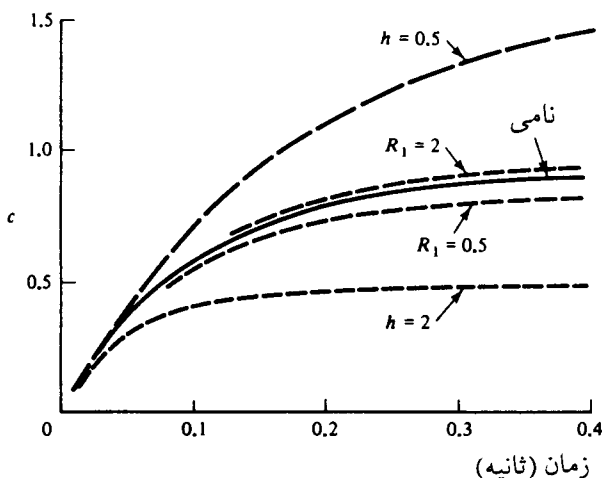
شکل ۲۹-۳ (الف) یک مخزن مایع، (ب) سیستم کنترل ارتفاع مایع

$$T(s) = \frac{kA}{\tau s + 1 + kAh}$$

که در آن  $K_v = K_v R_1$ ،  $A = K_v R_1$  بهره شیر کنترلی است و هم چنین  $\tau = A_1 R_1$  است. بهره  $h$  در فیدبک شکل ۲۹-۳ (ب) نیز بهره حس کننده ارتفاع مایع در مخزن است. در این سیستم کنترل، بهره‌های  $R_1$  و  $h$  به ترتیب می‌توانند به دلایل عوامل سد کننده، تنظیم غیر دقیق و خرابی حس کننده تغییر کنند. برای نشان دادن این تغییرات، پاسخ پله واحد سیستم را هنگامیکه پارامترهای  $R_1$  و  $h$  از مقادیر نامی خود دو برابر بیشتر و نصف می‌شوند را مقایسه و حساسیت سیستم را به این تغییرات بررسی می‌کنیم. با فرض مقادیر عددی  $K_v = 1$ ،  $A_1 = 1$  و  $R_1 = 1$  و مقادیر نامی  $h_1 = 1$  پاسخ سیستم را بر حسب پارامترهای  $R_1$  و  $h$  برای پله واحد بدست می‌آوریم. داریم

$$c(t) = \frac{1}{9h + 1/R_1} \left\{ 1 - \exp \left[ - \left( 9h + \frac{1}{R_1} \right) t \right] \right\}$$

شکل ۳۰-۳ پاسخ سیستم (t) را برای مقادیر نامی داده شده  $R_1 = 2$  و همچنین مقادیر  $h = 0.5$  و  $h = 2$  نشان می‌دهد. با کاهش بهره  $h$  تغییرات نشان داده شده در شکل ۳۰-۳ بیشتر خواهد شد. همانطور که از شکل ۳۰-۳ مشاهده می‌گردد، تغییرات پاسخ نسبت به پاسخ نامی هنگامی که از  $R_1 = 1$  به  $2$  تغییر پیدا می‌کند کمتر از هنگامی است که پاسخ نسبت به  $R_1 = 1$  به  $0.5$  تغییر پیدا می‌کند. اگر  $h = 0$  و کنترل سیستم حلقه - باز باشد، تغییرات به صورت تناوبی در مقادیر حالت ماندگار پاسخ ظاهر خواهد شد. اکنون حساسیت سیستم حلقه - بسته را نسبت به تغییر پارامترهای  $A$ ،  $h$  و  $\tau$  بررسی می‌کنیم. این حساسیتها را به ترتیب با  $S_A^T$ ،  $S_h^T$  و  $S_\tau^T$  نشان می‌دهیم. داریم.



شکل ۳۰-۳ تغییرات پارامترها در مثال ۱-۷-۳

$$\begin{aligned}
 S_A^T &= \frac{\partial T/T}{\partial A/A} = \frac{\partial T}{\partial A} \cdot \frac{A}{T} = \frac{A}{T} \cdot \frac{k(\tau s + 1)}{(\tau s + 1 + kAh)} = \frac{\tau s + 1}{\tau s + 1 + kAh} \\
 S_h^T &= \frac{\partial T/T}{\partial h/h} = \frac{\partial T}{\partial h} \cdot \frac{h}{T} = \frac{h}{T} \cdot \frac{-(kA)}{(\tau s + 1 + kAh)} = \frac{-kAh}{\tau s + 1 + kAh} \\
 S_\tau^T &= \frac{\partial T/T}{\partial \tau/\tau} = \frac{\partial T}{\partial \tau} \cdot \frac{\tau}{T} = \frac{\tau}{T} \cdot \frac{-kAs}{(\tau s + 1 + kAh)} = \frac{-\tau s}{\tau s + 1 + kAh}
 \end{aligned}$$

همانطور که از معادله های بالا مشاهده می شود، حساسیتهای  $S_A^T$  و  $S_h^T$  با افزایش  $k$  کاهش یافته و حال  $S_h^T$  آنکه به سمت ۱ میل می کند.

### ۸-۳ تحلیل پایداری

یکی از مهمترین مشخصه های سیستم پایداری<sup>۱</sup> آن است. به سیستمی پایدار گویند که اگر ورودی یا اغتشاشات با دامنه محدود به آن اعمال گردد، پاسخ بدست آمده دامنه ای محدود داشته باشد.

تابع تبدیل سیستم را در حالت کلی زیر در نظر بگیرید

$$\frac{C(s)}{R(s)} = \frac{b_m s^m + b_{m-1} s^{m-1} + \dots + b_1 s + b_0}{a_n s^n + a_{n-1} s^{n-1} + \dots + a_1 s + a_0} \quad (1-8-3)$$

رابطه بین قطبهای سیستم (ریشه های معادله مشخصه داده شده در مخرج تابع تبدیل<sup>۱</sup>) و حالت گذرای سیستم مرتبه دوم را در بخش ۴-۳ بررسی کردیم. این نتایج را می توان در حالت کلی به صورت زیر بیان کرد:

۱- اگر قطبهای تابع تبدیل در حوزه  $\zeta$  در سمت چپ محور موهومی قرار گیرند، پاسخ گذرای سیستم میرا شونده است و با گذشت زمان به صفر میل کرده و سیستم پایدار است.

۲- چنانچه یک یا چند زوج قطب (غیر تکراری) تابع تبدیل بر روی محور موهومی قرار گیرند و سایر قطبها در سمت چپ محور موهومی باشند، پاسخ سیستم به صورت نوسانات سینوسی میران شده خواهد بود.

۳- حتی اگر تنها یک قطب تابع تبدیل در سمت راست محور موهومی قرار گیرد، دامنه پاسخ سیستم نسبت به زمان افزایش خواهد یافت و سیستم نپایدار است.

برای بررسی پایداری سیستم می توان چند جمله ای مخرج تابع تبدیل (معادله مشخصه) را به صورت حاصلضرب فاکتورهای ریشه های آن به صورت زیر نوشت:

$$a_n s^n + a_{n-1} s^{n-1} + \dots + a_1 s + a_0 = k(s-p_1)(s-p_2)\dots(s-p_n) \quad (2-8-3)$$

که در آن  $p_1, \dots, p_n$  قطبهای سیستم هستند. با بررسی این قطبها می‌توان ماهیت پایداری سیستم را تعیین نمود. در عمل محاسبه ریشه‌های چند جمله‌ای (۲-۸-۳) برای چند جمله‌ای‌های درجه بالا بسادگی امکان‌پذیر نیست. بنابراین، در این بخش به بررسی روش‌هایی خواهیم پرداخت که ماهیت پایداری سیستم را بدون نیاز به حل معادله مشخصه و تعیین دقیق محل قطبها آن، تعیین کنند. از تئوری چند جمله‌ای‌ها می‌دانیم که شرط لازم برای اینکه تمامی ریشه‌های یک چند جمله‌ای دارای قسمت حقیقی منفی باشند، آن است که اولاً تمامی ضرایب چند جمله‌ای هم علامت بوده و ثانیاً هیچ‌کدام صفر نباشند. لازم بذکر است که دو شرط فوق الذکر اگر چه لازم هستند لیکن کافی نمی‌باشند و ممکن است چند جمله‌ای با دارا بودن این شرایط، دارای ریشه‌هایی با قسمت حقیقی غیرمنفی باشد.

در این بخش روش روث و هرویتز را برای تعیین پایداری آرایه می‌کنیم. روش‌های مکان ریشه و پاسخ فرکانسی برای تعیین پایداری در فصلهای بعد بررسی خواهند شد.

### ۱-۸-۳ روش روث

در این روش از آرایه روث<sup>۱</sup> برای تعیین پایداری استفاده می‌شود. آرایه روث با استفاده از ضرایب معادله مشخصه  $a_i$  ( $i=0, 1, \dots, n$ ) داده شده در معادله (۱-۸-۳) تشکیل می‌شود. نحوه تشکیل این آرایه در زیر نشان داده شده است:

$$\begin{array}{c|ccccc} s^n & a_n & a_{n-2} & a_{n-4} & a_{n-6} & \dots \\ s^{n-1} & a_{n-1} & a_{n-3} & a_{n-5} & a_{n-7} & \dots \\ s^{n-2} & b_1 & b_2 & b_3 & b_4 & \dots \\ s^{n-3} & c_1 & c_2 & c_3 & \dots & \dots \\ \vdots & \vdots & & & & \\ s^1 & g_1 & & & & \\ s^0 & k_1 & & & & \end{array}$$

همانطور که مشخص است، اعداد ردیفهای اول و دوم (متناظر با  $s^n$  و  $s^{n-1}$ ) از ضرایب معادله

مشخصه،  $a_i$  ها، به ترتیب نشان داده شده انتخاب می‌شوند. اعداد ردیف سوم از معادله‌های زیر بدست می‌آیند:

$$b_1 = \frac{a_{n-1}a_{n-2}-a_na_{n-3}}{a_{n-1}}$$

$$b_2 = \frac{a_{n-1}a_{n-4}-a_na_{n-5}}{a_{n-1}}$$

$$b_3 = \frac{a_{n-1}a_{n-6}-a_na_{n-7}}{a_{n-1}}$$

⋮

و اعداد ردیف چهارم نیز به صورت زیر تعیین می‌گردند:

$$c_1 = \frac{b_1a_{n-3}-b_2a_{n-1}}{b_1}$$

$$c_2 = \frac{b_1a_{n-5}-b_3a_{n-1}}{b_1}$$

$$c_3 = \frac{b_1a_{n-7}-b_4a_{n-1}}{b_1}$$

⋮

و سپس تمامی ردیفها را به همین ترتیب پر می‌کنیم. بعد از تکمیل شدن آرایه روث، می‌توان نشان داد که تعداد قطبهای سمت راست معادله مشخصه برابر با تعداد تغییر علامتها در ستون اول آرایه روث است، بنابراین تنها سیستمی پایدار است که تمامی اعداد ستون اول جدول هم علامت باشند. توجه کنید که در روش روث تنها تعداد قطبهای ناپایدار سیستم (در صورت وجود) تعیین می‌شوند و این روش قادر به تعیین موقعیت این قطبها نیست.

### مثال ۱-۸-۳

چند جمله‌ای زیر را در نظر بگیرید

$$s^4 + 6s^3 + 11s^2 + 6s + 15 = 0$$

آرایه روث برای این چند جمله‌ای عبارتست از:

$s^4$	1	11	15
$s^3$	6	6	
$s^2$	10	15	
$s^1$	-3		
$s^0$	15		

در ستون اول آرایه بالا یک تغییر علامت از ۱۵ به -۳ و تغییر علامت دیگری از -۳ به ۱۵ داریم. بنابراین این چند جمله‌ای دو ریشه در سمت راست محور موهومی دارد. لذا سیستمی که معادله مشخصه آن، چند جمله‌ای داده شده باشد بدلیل داشتن دو قطب ناپایدار، ناپایدار است.

### مثال ۲-۸-۳

معادله مشخصه سیستمی عبارتست از

$$s^3 + 3s^2 + 3s + 1 + k = 0$$

که در آن  $k$  بهره سیستم است. مطلوب است که پایداری سیستم را برای تغییرات بهره  $k$  بررسی کنیم. توجه کنید که محل ریشه‌های این چند جمله‌ای به مقدار بهره ثابت  $k$  بستگی خواهد داشت. آرایه روث را برای این چند جمله‌ای تشکیل می‌دهیم. داریم

$s^3$	1	3	
$s^2$	3	$1+k$	
$s^1$	$\frac{8-k}{3}$		
$s^0$	$1+k$		

با توجه به آرایه تشکیل شده روث، برای اینکه تغییر علامتی در ستون اول آرایه رخ ندهد باید نامعادله‌های زیر را داشته باشیم

$$8-k > 0, \quad 1+k > 0$$

بنابراین برای پایداری سیستم باید داشته باشیم

$$-1 < k < 8$$

ساده کردن آرایه روث. اعداد سطرهای مختلف آرایه روث را می‌توان در اعداد مثبت ضرب و یا آنها را برابر اعداد مثبت تقسیم کرد و این عمل در جواب نهایی پایداری تأثیری نمی‌گذارد. با این عمل می‌توان از بزرگی اعداد و در نتیجه از حجم زیاد عملیات جبری به مقدار متنابه کم کرد.

موارد خاص در تشکیل آرایه‌های روث. اگر در تشکیل آرایه روث در اولین ستون یک عدد صفر ظاهر شود، تکمیل آرایه روث امکان‌پذیر نخواهد بود زیرا در ادامه تشکیل آرایه تقسیم بر صفر لازم خواهد بود. در صورتیکه یکی از اعداد ستون اول آرایه روث صفر باشد و سایر اعداد آن سطر همگی صفر نباشند، می‌توان از یکی از دو روش زیر برای تکمیل آرایه روث استفاده کرد:

۱- در معادله اصلی بجای  $s$ ، از  $\frac{1}{x}$  استفاده کنید و سپس معادله را برای  $x$  بررسی و آرایه را برای چند جمله‌ای بحسب  $x$  تشکیل دهید.

۲- معادله اصلی را در فاکتور معلوم  $(1+s)$  ضرب کنید و سپس آرایه روث را برابر معادله بدست آمده تشکیل دهید. این عمل ریشه شناخته شده  $-1 = s$  را به معادله اصلی اضافه می‌کند.

### مثال ۳-۸-۳

چند جمله‌ای زیر را در نظر بگیرید

$$s^4 + s^3 + 3s^2 + 3s + 6 = 0$$

آرایه روث را تشکیل می‌دهیم. داریم

$$\begin{array}{c|ccc} s^4 & 1 & 3 & 6 \\ s^3 & 1 & 3 \\ s^2 & 0 & 6 \end{array}$$

همانطور که مشاهده می‌شود، اولین عنصر از سومین سطر صفر بوده و عنصر بعد از آن غیرصفر است. دقت کنید که ادامه تشکیل چهارمین سطر آرایه امکان‌پذیر نیست. با

جایگزینی  $\frac{1}{x} = s$  در معادله داده شده بدست می‌آوریم

$$6x^4 + 3x^3 + 3x^2 + x + 1 = 0$$

آرایه روث برای این معادله عبارتست از

$x^4$	6	3	1
$x^3$	3	1	
$x^2$	-1	1	
$x^1$	-4		
$x^0$	1		

بدیهی است که در این حالت در تشکیل آرایه روث با مشکلی مواجه نشده و در واقع از آرایه بالا مشاهده می‌شود که معادله داده شده دو ریشه ناپایدار دارد.

### مثال ۴-۸-۳

چند جمله‌ای زیر را در نظر بگیرید

$$s^4 + 3s^3 + 2s^2 + 6s + 2 = 0$$

اولین سه ردیف آرایه روث عبارتند از

$s^4$	1	2	2
$s^3$	3	6	
$s^2$	0	2	

بنابراین در سومین ردیف اولین عنصر ۰ است. اگر چند جمله‌ای داده شده را در عامل  $(s+1)$

ضرب کنیم داریم

$$(s^4 + 3s^3 + 2s^2 + 6s + 2)(s+1) = s^5 + 4s^4 + 5s^3 + 8s^2 + 8s + 2$$

آرایه روث را برای چند جمله‌ای جدید تشکیل می‌دهیم:

$s^5$	1	5	8
$s^4$	4	8	2
$s^3$	3	7/0	
$s^2$	-2	2	
$s^1$	10/5		
$s^0$	2		

از آرایه تشکیل شده داریم که به علت تغییر علامت در اولین ستون، معادله داده شده ناپایدار است و علاوه‌بر آن تعداد قطبها ناپایدار آن دو می‌باشد. توجه کنید که عامل ضرب شده

نهاییک ریشه در ۱-، در سمت چپ محور موهومی در صفحه دارد و لذا دو ریشه ناپایدار، ریشه‌های معادله اصلی هستند.

دومین مورد خاص در تشکیل آرایه روث هنگامی رخ می‌دهد که کلیه عناصر یک سطر از آرایه روث صفر شوند. صفر شدن کلیه عناصر سطر، توسط جفت ریشه‌های مختلط مزدوج که قسمت حقیقی آنها لزوماً غیرصفر نیست و (یا) توسط جفت ریشه‌های حقیقی با علامتهای متضاد بوجود می‌آید. در صورت ایجاد یک سطر صفر در آرایه روث برای تکمیل آن می‌توان به طریق زیر عمل کرد: با استفاده از سطر قبلی (سطر مقابل سطر صفر)، یک معادله کمکی<sup>۱</sup> تشکیل دهید. از معادله کمکی (سطر مقابل سطر صفر) مشتق بگیرید. اعداد بدست آمده از مشتق معادله کمکی را بهای سطر صفر جایگزین کنید.

### مثال ۵-۸-۳

چند جمله‌ای زیر را در نظر بگیرید

$$s^4 + s^3 + 11s^2 + 9s + 18 = 0$$

آرایه روث برای این چند جمله‌ای عبارتست از

$s^4$	1	11	18
$s^3$	1	9	
$s^2$	2	18	
$s^1$	0		

در این آرایه سطر متناظر با یک سطر صفر است. سطر قبلی را برای سادگی محاسبات در  $\frac{1}{2}$

ضرب می‌کنیم و معادله سطر قبل چنین خواهد شد:

$$s^2 + 9 = 0$$

وجود یک ردیف صفر در آرایه روث نشان می‌دهد که معادله مشخصه ریشه‌هایی دارد که منفی‌های یکدیگرند.

ریشه‌های معادله کمکی عبارتند از

$$s = \pm 3j$$

این ریشه‌ها، ریشه‌های معادله اصلی نیز هستند. با توجه به موهومی محض بودن این ریشه‌ها

داریم که پاسخ سیستم، مولفه نوسانی سینوسی خواهد داشت.  
برای تکمیل نمودن آرایه روث، از معادله کمکی مشتق می‌گیریم. داریم

$$2s + 0 = 0$$

ضرایب این معادله در ردیف متناظر با  $s^0$  به جای ردیف صفر جایگزینی می‌شوند و لذا

$$\begin{array}{c|cc} s^1 & 2 \\ \hline s^0 & 9 \end{array}$$

بنابراین با توجه به اینکه تغییر علامتی در اولین ستون آرایه روث رخ نمی‌دهد، معادله مشخصه ریشه‌ای با قسمت حقیقی مثبت ندارد.

#### مثال ۶-۸-۳

چند جمله‌ای زیر را در نظر بگیرید

$$s^5 + 2s^4 + 3s^3 + 9s^2 + 2s + 10 = 0$$

اولین پنج ردیف آرایه روث عبارتند از

$$\begin{array}{c|ccc} s^5 & 1 & 3 & 2 \\ s^4 & 2 & 9 & 10 \\ s^3 & -1/5 & -3 & \\ s^2 & 5 & 10 & \\ s^1 & & & 0 \end{array}$$

ردیف پنجم یک ردیف صفر است، لذا از معادله ردیف چهارم به عنوان معادله کمکی استفاده می‌کنیم. داریم

$$5s^3 + 2s^2 + 10 = 0 \quad \text{یا} \quad s^3 + 2s^2 + 2 = 0$$

با مشتق گرفتن از معادله کمکی بدست می‌آوریم

$$2s + 0 = 0$$

بنابراین آرایه روث را تکمیل می‌کنیم

$$\begin{array}{c|cc} s^1 & 2 \\ \hline s^0 & 10 \end{array}$$

دو تغییر علامت در اولین ستون آرایه وجود دارد و لذا چند جمله‌ای دو ریشه ناپایدار دارد.

## مثال ۷-۸-۳

چند جمله‌ای زیر را در نظر بگیرید

$$s^5 + 2s^4 + 15s^3 + 30s^2 - 20s - 40 = 0$$

از تغییر علامت در ضرایب چند جمله‌ای می‌توان نتیجه گرفت که چند جمله‌ای داده شده ناپایدار است. با استفاده از روش روث، تعداد ریشه‌های ناپایدار تعیین می‌شوند. آرایه روث عبارتست از

$s^5$	۱	۱۵	-۲۰
$s^4$	۲	۳۰	-۴۰
$s^3$	۰	۰	

برای تکمیل آرایه از معادله کمکی ردیف دوم استفاده می‌کنیم. داریم

$$2s^4 + 30s^2 - 40 = 0 \quad \text{یا} \quad s^4 + 15s^2 - 20 = 0$$

با مشتق‌گیری از معادله کمکی بدست می‌آوریم

$$4s^3 + 30s - 0 = 0 \quad \text{یا} \quad 2s^3 + 15s - 0 = 0$$

بنابراین در ادامه آرایه روث داریم

$s^3$	۲	۱۵
$s^2$	۱۵/۲	-۲۰
$s^1$	۳۰۵/۲	
$s^0$	-۲۰	

بنابراین چند جمله‌ای داده شده تنها یک ریشه ناپایدار دارد.

## ۷-۸-۳ روشن هرویتز

روشن متداول دیگر بررسی پایداری سیستم، روشن هرویتز است. در این روش  $a_n$  (اولین ضریب معادله مشخصه) مثبت فرض می‌شود. دترمینان کلی سیستم را به صورت زیر تشکیل می‌دهیم:

$$\Delta_n = \begin{vmatrix} a_{n-1} & a_{n-2} & \cdots & \begin{matrix} a_0 & \text{اگر } n \text{ فرد است} \\ a_1 & \text{اگر } n \text{ زوج است} \end{matrix} & \cdots & \cdots \\ a_n & a_{n-2} & \cdots & \begin{matrix} a_1 & \text{اگر } n \text{ فرد است} \\ a_0 & \text{اگر } n \text{ زوج است} \end{matrix} & & \\ \cdots & a_{n-1} & a_{n-2} & \cdots & & \vdots \\ \cdots & a_n & a_{n-4} & \cdots & & \\ \vdots & & & & & \\ \cdots & & & & & a_n \end{vmatrix}$$

دترمینان‌های دیگر  $\Delta_i$  ( $i=1, 2, \dots, n-1$ ) را به عنوان دترمینان‌های کهاد اصلی<sup>۱</sup> به صورت زیر بدست می‌آوریم

$$\Delta_1 = a_{n-1}$$

$$\Delta_2 = \begin{vmatrix} a_{n-1} & a_{n-2} \\ a_n & a_{n-4} \end{vmatrix}$$

$$\Delta_3 = \begin{vmatrix} a_{n-1} & a_{n-2} & a_{n-5} \\ a_n & a_{n-2} & a_{n-4} \\ \cdots & a_{n-1} & a_{n-3} \end{vmatrix}$$

تمامی ریشه‌های معادله مشخصه در سمت چپ محور موهمی قرار می‌گیرند و سیستم پایدار است اگر و فقط اگر  $\Delta_i > 0$  ( $i=1, 2, \dots, n$ ).  
 $\Delta_1 = a_{n-1}$

### مثال ۸-۸-۳

برای معادله مشخصه

$$s^2 + 4s^2 + 12 = 0$$

دترمینان‌های سیستم را تشکیل می‌دهیم:

$$\Delta_2 = \begin{vmatrix} 4 & 12 & 0 \\ 1 & 4 & 0 \\ 0 & 1 & 4 \end{vmatrix} = 192 \quad \Delta_3 = \begin{vmatrix} 4 & 12 \\ 1 & 4 \end{vmatrix} = 16 \quad \Delta_1 = 4$$

بنابراین سیستم با این معادله مشخصه پایدار است.

### مثال ۹-۸-۳

معادله مشخصه سیستمی عبارتست از

$$s^2 + ks + k - 1 = 0$$

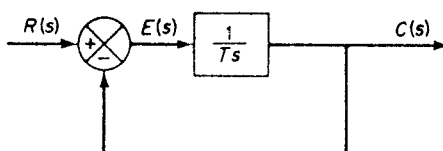
برای بررسی پایداری سیستم به روش هروتیز داریم

$$\Delta_2 = \begin{vmatrix} k & 0 \\ 1 & k-1 \end{vmatrix} = k(k-1) \quad \Delta_1 = k$$

بنابراین، برای پایداری باید داشته باشیم  $0 < k < 1$  یعنی  $1 < k < k$  شرط پایداری سیستم است.

### مسایل

۱-۳. دیاگرام بلوکی نشان داده شده در شکل ۳۱-۳ را در نظر بگیرید. پاسخ سیستم را برای ورودی ضربه واحد بدست آورید و رسم کنید.



شکل ۳۱-۳ سیستم حلقه - بسته مسئله ۱-۳

۲-۳.تابع تبدیل یک سیستم مرتبه دوم عبارتست از

$$\frac{C(s)}{R(s)} = \frac{\omega_n^2}{s^2 + 2\xi\omega_n s + \omega_n^2}$$

(الف) پاسخ ضربه واحد این سیستم را برای مقادیر مختلف  $\xi = 0, 0.5, 1, 2$  و  $1 < \xi < 2$  به

صورت تحلیلی بدست آورید. همچنین نشان دهید که پاسخهای بدست آمده

با مشتقگیری از پاسخهای متناظر برای پاسخ پله واحد نیز می توانستند تعیین گردند.

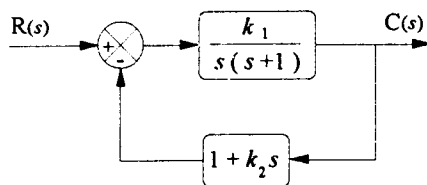
(ب) پاسخهای بدست آمده را در (الف) برای زمان نرمالیزه شده  $t/\omega_n$  بر حسب

برای مقادیر  $\xi$  به ترتیب  $1/5, 1/3, 1/2, 1/1$  و  $1/0$  رسم کنید.

۳-۳. سیستم فیدبک نشان داده شده در شکل ۳۲-۳ را در نظر بگیرید. مقادیر بهره  $k_1$  و  $k_2$

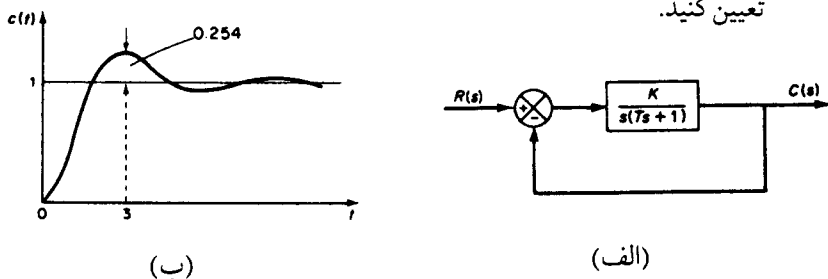
را به گونه‌ای تعیین کنید که فراجهش حداکثر به پله واحد  $2/0$  و زمان ستیغ ۱ ثانیه

باشد. با این مقادیر بهره، زمان صعود و زمان استقرار را بدست آورید.



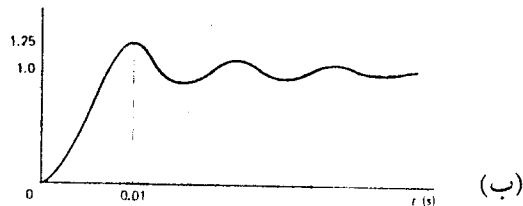
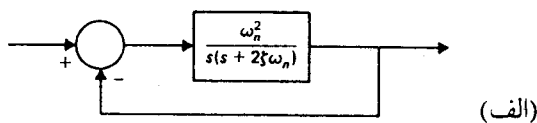
شکل ۳۲-۳ سیستم حلقه - بسته مسئله ۳-۳

-۴-۳ خروجی سیستم نشان داده شده در شکل ۳۳-۳ (الف)، در اعمال ورودی پله واحد به صورت نشان داده شده در شکل ۳۳-۳ (ب) می باشد. مقادیر  $k$  و  $T$  را از منحنی پاسخ تعیین کنید.



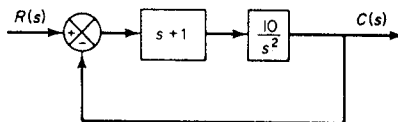
شکل ۳۳-۳ (الف) سیستم حلقه - بسته (ب) پاسخ پله واحد

-۵-۳ دیاگرام بلوکی یک سیستم کنترل حلقه - بسته و پاسخ پله واحد آن در شکلهاي ۳۴-۳ (الف) و (ب) نشان داده شده اند. پارامتر های سیستم را تعیین کنید.



شکل ۳۴-۳ (الف) سیستم حلقه - بسته (ب) پاسخ پله واحد

- ۶-۳. پاسخهای حالت گذرا و حالت ماندگار سیستم حلقه - بسته نشان داده شده در شکل ۳۵-۳ را برای ورودی پله واحد بدست آورید.

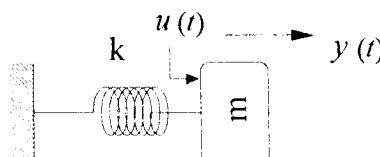


شکل ۳۵-۳ سیستم حلقه - بسته

- ۷-۳. تابع تبدیل حلقه - باز سیستمی عبارتست از

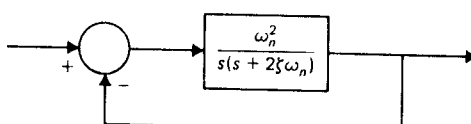
$$G(s) = \frac{1638(s^2 + 2/6s + 1/65)}{s(s^2 + 40s + 300)(s^2 + 4/65s + 0/45)}$$

- قطبهای غالب و نسبت میرایی سیستم حلقه - بسته را با فیدبک واحد تعیین کنید.
- ۸-۳. سیستم مکانیکی نشان داده شده در شکل ۳۶-۳ را در نظر بگیرید. اگر به این سیستم یک ضربه واحد اعمال گردد، نوسانات حاصله را تعیین کنید.



شکل ۳۶-۳ سیستم مکانیکی مسئله ۸-۳

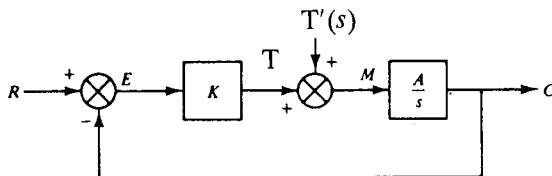
- ۹-۳. سیستم نشان داده شده در شکل ۳۷-۳ را در نظر بگیرید



شکل ۳۷-۳ یک سیستم حلقه - بسته

- برای مقادیر پارامترهای  $\zeta = 0.4$  و  $\omega_n = 5$  (رادیان بر ثانیه)، زمان صعود، زمان ستیغ، فرجاچهش حد اکثر و زمان استقرار سیستم را در پاسخ به ورودی پنه واحد تعیین کنید.

۱۰-۳ - سیستم کنترل سرعت نشان داده شده در شکل ۳۸-۳ را در نظر بگیرید. سیستم تحت گشتاور اغتشاشی ( $sT'$ ) عمل می‌کند. ( $sT'$ ) گشتاور محکه سیستم می‌باشد. اگر  $T'(s) = 0$  باشد، خروجی سیستم ورودی مرجع را دنبال می‌کند. پاسخ حالت ماندگار سیستم را برای ورودی مرجع صفر و گشتاور اغتشاشی پله واحد بدست آورید.



شکل ۳۸-۳ سیستم کنترل سرعت.

۱۱-۳ - تابع تبدیل سیستمی عبارتست از

$$\frac{C(s)}{R(s)} = \frac{3(s+2)}{(s+4)(s+1)}$$

پاسخ سیستم به ورودی پله واحد را بدست آورید.

۱۲-۳ - تابع تبدیل یک سیستم حلقه - باز عبارتست از

$$G(s) = \frac{1}{s(s+2)}$$

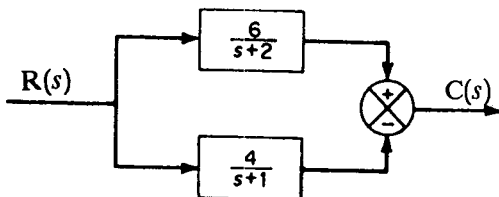
اگر به تابع تبدیل بالا، قطربایی در  $\frac{1}{2}$  و  $\frac{1}{5}$  و  $-1$  و  $-2$  اضافه کنیم، پاسخ سیستم حلقه - بسته با فیدبک واحد را به ورودی پله واحد بدست آورده، رسم کنید. نتایج بدست آمده را با نتایج بخش ۳-۵ مقایسه کنید.

۱۳-۳ - تابع تبدیل یک سیستم حلقه - باز عبارتست از

$$G(s) = \frac{1}{s(s+1)(s+2)}$$

اگر به تابع تبدیل بالا، صفرهایی در  $1/5$  و  $-2$  و  $-1$  اضافه کنیم، پاسخ سیستم حلقه - بسته با فیدبک واحد را به ورودی پله واحد بدست آورده، رسم کنید. نتایج بدست آمده را با نتایج بخش ۳-۵ مقایسه کنید.

۱۴-۳- سیستم نشان داده شده در شکل ۳۹-۳ را در نظر بگیرید. نشان دهد که تابع تبدیل سیستم  $(s)/R(s)C(s)$  یک صفر ناپایدار دارد (به سیستمی که صفر ناپایدار داشته باشد سیستم غیر می‌نیمم فاز<sup>۱</sup> گفته می‌شود). پاسخ سیستم را برای ورودی پله واحد بدست آورده، رسم کنید.

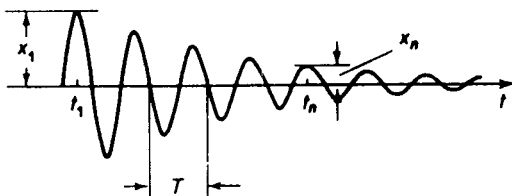


شکل ۳۹-۳ سیستم مسئله ۱۴-۳

۱۵-۳- تابع تبدیل یک سیستم نوسانی مرتبه دوم عبارتست از

$$G(s) = \frac{\omega_n^2}{s^2 + 2\xi\omega_n s + \omega_n^2}$$

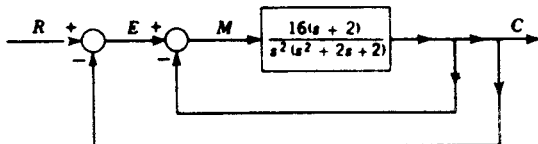
بابکارگیری نمودار پاسخ سیستم نشان داده شده در شکل ۴۰-۳، نسبت میرایی آنرا تعیین کنید.



شکل ۴۰-۳ نوسان میرا

۱۶-۳- سیستم نشان داده شده در شکل ۴۱-۳ را در نظر بگیرید. (الف) توابع تبدیل  $(s)/R(s)C(s)$  و  $(s)/E(s)C(s)$  را تعیین و نوع سیستم را مشخص کنید. (ب) ضرایب خطای

پله، شیب و سهیو را پیدا کنید. (ج) مقدار حالت ماندگار خروجی را برای ورودی  $r(t) = 10$  پیدا کنید.



شکل ۴۱-۳ سیستم مستند ۳-۱۶

۱۷-۳- برای یک سیستم با فیدبک واحد، دوتابع تبدیل حلقه - باز زیر را در نظر بگیرید:

$$G(s) = \frac{10(s+8)}{s^2(s+5)(s^2+2s+2)} \quad \text{و} \quad G(s) = \frac{12(s+4)}{s(s+1)(s+3)(s^2+2s+10)}$$

(الف) ثابتیهای خطای پله، شیب و سهیو را تعیین کنید.

(ب) خطای حالت ماندگار پاسخ سیستم را برای ورودیهای زیر بدست آورید:

$$r_1(t) = 5t^3, \quad r_2(t) = 16 + 2t$$

۱۸-۳- تابع تبدیل حلقه - باز یک سیستم کنترل حلقه - بسته با فیدبک واحد عبارتست از

$$G(s) = \frac{k}{s(T_1 s + T_2)}$$

خطای حالت ماندگار پاسخ به ورودی شیب واحد را تعیین و تاثیر تغییرات پارامترهای  $T_1, k$  و  $T_2$  را بر خطای - حالت ماندگار پاسخ بررسی کنید.

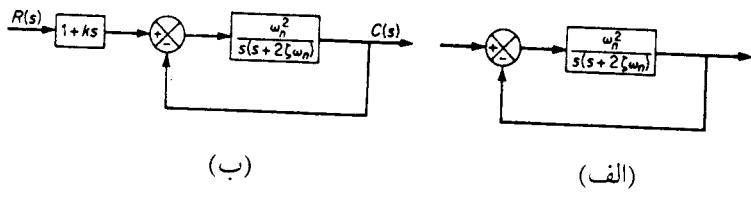
۱۹-۳- (الف) ثابتیهای خطای را برای سیستم مرتبه دوم زیر پیدا کنید

$$G(s) = \frac{k\omega_n}{s^2 + 2\xi\omega_n s + \omega_n^2}$$

(ب) با اضافه کردن یک قطب در  $p$  تغییرات ثابتیهای خطای را بررسی کنید.

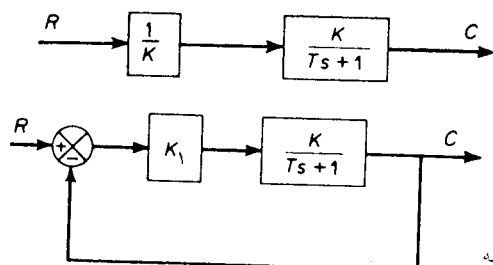
۲۰-۳- سیستم نشان داده شده در شکل ۴۲-۳ (الف) را در نظر بگیرید. (الف) نشان دهید که خطای حالت ماندگار به ورودی شیب واحد  $\frac{2k}{\omega_n}$  است. (ب) با انتخاب مناسب  $k$  و

ضرب کردن ورودی در عامل  $(1+ks)$  به صورت نشان داده شده در شکل ۴-۲-۳ (ب)، نشان دهد که می‌توان خطای حالت ماندگار را صفر کرد.



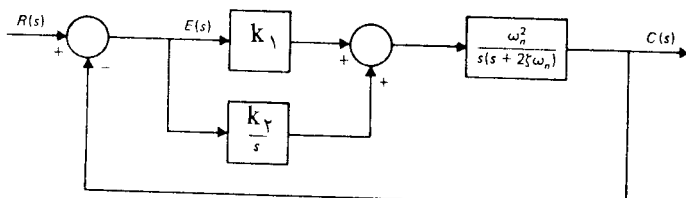
**شکل ۳-۴۲** (الف) سیستم کنترل حلقه - بسته (ب) سیستم کنترل حلقه - بسته با عامل افزوده شده

۲۱-۳- سیستم کنترل حلقه - باز و حلقه - بسته نشان داده شده در شکلهاي ۴۳-۳ (الف) و (ب) را در نظر بگيريد. خطاي حالت ماندگار را با فرض  $k_1$  خيلي بزرگتر از يك، برای ورودي پله واحد مقایسه کنيد.



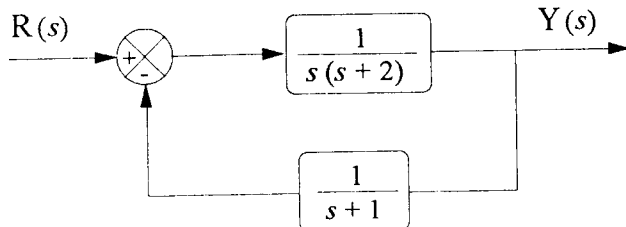
### شكل ٤٣-٣ (الف) سیستم حلقه - باز

۲۲-۳. سیستم کنترل نشان داده شده در شکال ۳-۴۴ را در نظر بگیرید. (الف) برای  $k_v = 0$  خطای حالت ماندگار را به ورودی پله با دامنه  $R$  بدست آورید. (ب) برای  $k_v \neq 0$  خطای حالت ماندگار را به ورودی پله با دامنه  $R$  بدست آورید. (ج) خطای حالت ماندگار را به ورودی شیب،  $R(t) = R_0 t$  بدست آورید.



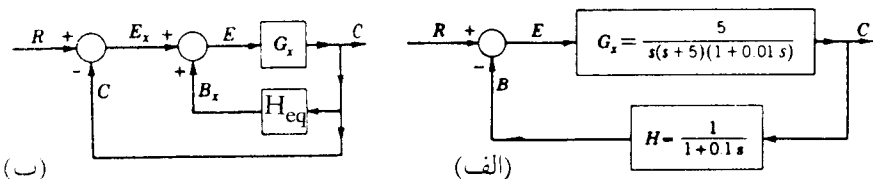
### شکار ۴۴-۳ سیستم کنترل حلقه - بسته مسئله ۳-۲۲

۲۳-۳. خطای حالت ماندگار  $C(s)-R(s)$  سیستم نشان داده شده در شکل ۴۵-۳ را برای ورودی شبیب بدست آورید.



شکل ۴۵-۳ سیستم کنترل فیدبک غیر واحد.

۲۴-۳. سیستم کنترل فیدبک غیر واحد نشان داده شده در شکل ۴۶-۳ (الف) را در نظر بگیرید. برای تحلیل خطای مطلوب است که سیستم را به شکل فیدبک نشان داده شده در شکل ۴۶-۳ (ب) تبدیل کنیم. (الف) تابع تبدیل  $(s)$  تابع تبدیل  $H_{eq}$  را به گونه‌ای پیدا کنید که دو دیاگرام بلوکی معادل باشند. (ب) نوع سیستم نشان داده شده در شکل ۴۶-۳ (ب) را دیاگرام بلوکی معادل باشند. (ب) ضرایب خطای سیستم را بدست آورید. (د) خطاهای حالت ماندگار سیستم،  $e_{ss}(t)$  و  $(I)$  را برای ورودی پله واحد بدست آورید.



شکل ۴۶-۳ (الف) سیستم کنترل فیدبک غیر واحد (ب) سیستم کنترل معادل.

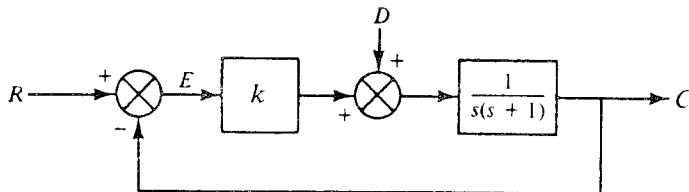
۲۵-۳. مسئله ۲۴-۳ را با جایگزینی تابع تبدیل  $\frac{s+3}{s+1} = H(s)$  در مسیر فیدبک نشان داده شده در شکل ۴۶-۳ (الف) تکرار کنید.

۲۶-۳. تابع تبدیل حلقه - باز یک سیستم کنترل حلقه - بسته با فیدبک واحد عبارتست از  $G(s) = \frac{k}{s(s+1)(0.05s+1)}$

که در آن  $r(t) = 3t^2$  (الف) برای خطای حالت ماندگار را بدست آورید. (ب)

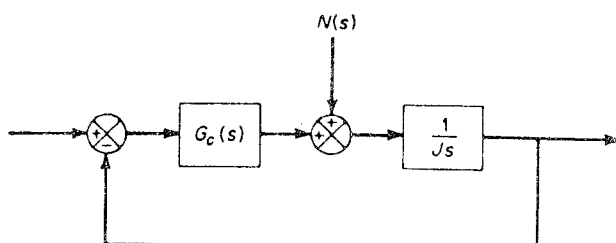
مطلوب است که خطای حالت ماندگار سیستم برای ورودی شیب کمتر یا مساوی ۱/۵ باشد. مقدار می‌نیمم  $k$  را برای برآورده ساختن این شرط تعیین کنید.

۲۷- سیستم نشان داده شده در شکل ۴۷-۳ را در نظر بگیرید. اثر  $k$  بر اغتشاش واردہ به سیستم چیست؟



شکل ۴۷-۳ سیستم کنترل مسئله ۲۷-۳

۲۸- سیستم کنترل نشان داده شده در شکل ۴۸-۳ را در نظر بگیرید. تابع تبدیل  $G(s)$  را به گونه‌ای انتخاب کنید که اغتشاش  $(\zeta)$  مدل شده توسط پله واحد، حداقل اثر را بر روی عملکرد سیستم داشته باشد.

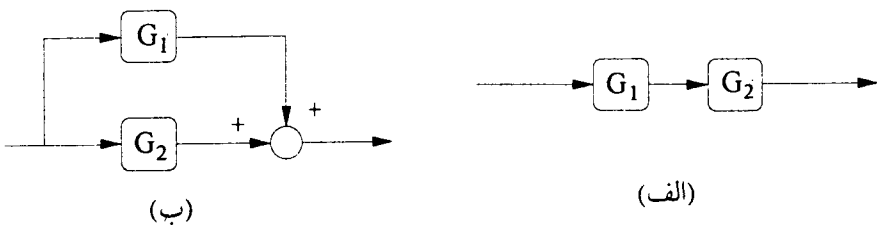


شکل ۴۸-۳ سیستم کنترل مسئله ۲۸-۳

۲۹- حساسیت تابع تبدیل حلقه - باز  $G(s)$  را نسبت به تغییرات در پارامتر  $\tau$  برای  $G(s)=e^{-\tau s}\hat{G}(s)$

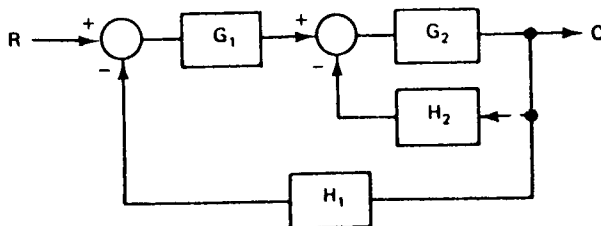
پیدا کنید.

۳۰-۳- حساسیت سیستم‌های نشان داده شده در شکل ۴۹-۳ (الف) و (ب) را برای تغییرات پارامتر  $p$  در حالت‌های (۱)  $p$  در  $G_1(s)$  و (۲)  $p$  در  $G_2(s)$ , پیدا کنید.



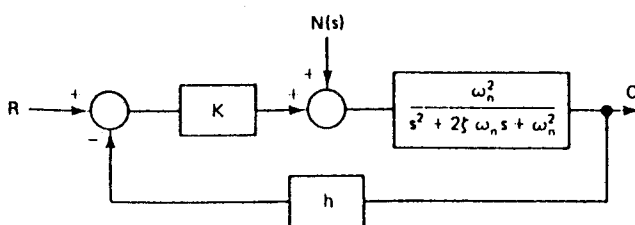
شکل ۳-۴۹ (الف) سیستم سری (ب) سیستم موازی

۳۱-۳. دیاگرام بلوکی نشان داده شده در شکل ۳-۵۰ را در نظر بگیرید. حساسیت سیستم حلقه - بسته را برای تغییرات  $p$  درتابع تبدیل  $G_1(s)$  بدست آورید.



شکل ۳-۵۰ دیاگرام بلوکی مسئله ۳-۳۱.

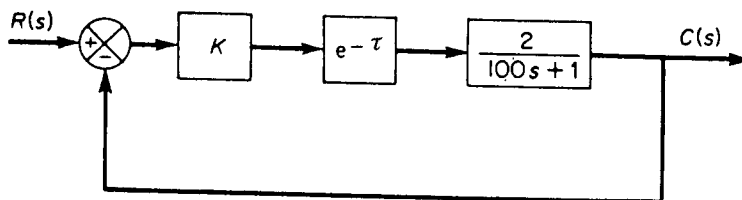
۳۲-۳. سیستم کنترل نشان داده شده در شکل ۳-۵۱ را در نظر بگیرید. (الف) حساسیت سیستم حلقه - بسته را به تغییرات در پارامترهای  $k$ ،  $\omega_n$  و  $\zeta$  پیدا کنید. (ب) اثرات اغتشاش را برای سیستم حلقه - باز ( $h=0$ ) و حلقه - بسته تعیین و مقایسه کنید.



شکل ۳-۵۱ سیستم کنترل مسئله ۳-۳۲

۳۳-۳. سیستم نشان داده شده در شکل ۳-۵۲ را در نظر بگیرید. حساسیت سیستم حلقه -

بسته را نسبت به تغییرات در زمان تاخیر  $\tau$  بدست آورید.



شکل ۵۲-۳ سیستم فیدبک مسئله ۳۳-۳

۳۴-۳. با بکارگیری معیار روث، تعداد ریشه‌های ناپایدار چند جمله‌ای‌های زیر را تعیین کنید:

$$s^4 + 2s^3 + 3s^2 + s + 5 = 0. \quad (\text{الف})$$

$$s^5 + 2s^4 + 3s^3 + 4s^2 + 2s + 2 = 0. \quad (\text{ب})$$

$$s^3 - 4s^2 - 7s + 10 = 0. \quad (\text{ج})$$

$$s^5 + 2s^4 + 3s^3 + 9s^2 + 2s + 10 = 0. \quad (\text{د})$$

$$s^3 + 2s^2 + s + 3 = 0. \quad (\text{ه})$$

$$s^4 + s^3 + s^2 + s + 2 = 0. \quad (\text{و})$$

۳۵-۳. با بکارگیری معیار روث، گستره پایداری را برای تغییرات  $k$  در چند جمله‌ای‌های زیر

تعیین کنید:

$$s^3 + 3ks^2 + (k+3)s + 5 = 0. \quad (\text{الف})$$

$$s^3 + 1/4s^2 + s + k = 0. \quad (\text{ب})$$

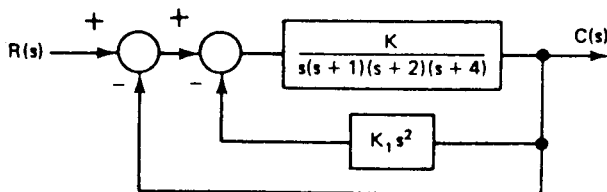
۳۶-۳. تابع تبدیل حلقه - باز سیستمی با فیدبک واحد عبارتست از

$$G(s) = \frac{k}{s} \frac{\left(1 - \frac{T}{\zeta} s\right)^2}{\left(1 + \frac{T}{\zeta} s\right)^2}$$

پایداری سیستم حلقه - بسته را به ازاء تغییرات بهره  $k$  و ثابت  $T$  بررسی کنید.

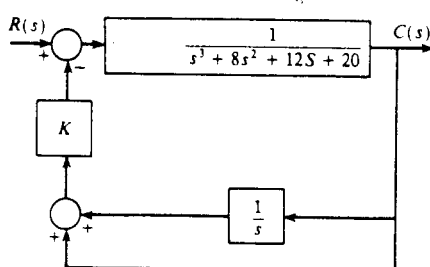
۳۷-۳. سیستم کنترل نشان داده شده در شکل ۵۳-۳ را در نظر بگیرید. محدوده پایداری را

برای سیستم حلقه - بسته بر حسب  $k$  بدست آورید.



شکل ۵۳-۳ سیستم حلقه - بسته مسئله ۳۷-۳

۳۸-۳. سیستم کنترل نشان داده شده در شکل ۵۴-۳ را در نظر بگیرید. محدوده پایداری را برای سیستم حلقه - بسته به ازاء بهره  $k$  بدست آورید.



شکل ۵۴-۳ سیستم حلقه - بسته مسئله ۳۸-۳

۳۹-۳.تابع تبدیل حلقه - باز یک سیستم با فیدبک واحد عبارتست از

$$G(s) = \frac{k(2s+1)}{s(4s+1)(s+1)}$$

ورودی اعمال شده به سیستم  $r(t) = 1 + t^2$  می باشد. (الف) مطلوب است که برای  $(t)$  داده شده خطای حالت ماندگار کمتر یا مساوی ۱/۰ باشد. حداقل بهره  $k$  که این مقدار را برآورده می سازد، پیدا کنید.

(ب) با بکارگیری معیار روث پایداری سیستم را برای بهره بدست آمده در (الف) بررسی کنید.

۴۰-۳. پایداری معادله های زیر را با استفاده از روش هرویتز بررسی کنید.

$$s^4 + 4s^3 + 4s^2 + 8s + 16 = 0 \quad (\text{الف})$$

$$s^3 + 8s^2 + 14s + 24 = 0 \quad (\text{ب})$$

$$s^3 + 5s^2 + 8s + 5 + k = 0 \quad (\text{ج})$$

### مراجع فصل سوم

- [3-1] Frank, P. M., *Introduction to system sensitivity Theory*, Academic press, 1981.
- [3-2] Trimmer, J. D. *Response of physical systems*, Wiley, NewYork, 1969.
- [3-3] Singh, V., *Comments on the Routh-Hurwitz criterion*, IEEE Trans. Autom. Control, Vol. AC-26, pp.612, 1981.
- [3-4] Porter B., *Stability criteria for linear dynamical systems*, Academic press, NewYork, 1968.
- [3-5] Krishnamurthi V., *Implications of Routh stability criteria*, IEEE Trans. Autom. Control, Vol. AC-25, pp. 559-595, 1980.
- [3-6] Khatwani, K. J., *On Routh-Hurwitz criterion*, IEEE Trans. Autom. Control, Vol. AC-26, pp 583-584, 1981.
- [3-7] Pillai, S. K., *On the  $\varepsilon$ -Method of the Routh-Hurwitz criterion*, IEEE Trans. Autom. Control, Vol AC-26, pp.584, 1981.
- [3-8] Bongionro J. J., Jr, *A recursive algorithm for computing the partial fraction expansion of rational functions having multiple poles*, IEEE Trans. Autom. Control, Vol. AC-29, pp 650-652, 1984.
- [3-9] Davison E. J., *A method for simplifying linear dynamical systems*, IEEE Trans. Autom. Control, Vol. AC-11, pp-93-101, 1966.
- [3-10] Hisa T. C., *On the simplification of linear systems*, IEEE Trans. Autom. Control, Vol. AC. 17, pp 372-374, 1972.
- [3-11] Vidyasagar M., *On undershoot and non-minimum phase zeros*, IEEE Trans. Autom. Control Vol AC-31, pp 440, 1986.
- [3-12] Gantmacher F. R., *The theory of matrices*, Chelsea Publishing Company, 1960.

## کتاب شناسی

پاسخ سیستم‌های کنترل به ورودیهای استاندارد را می‌توان مستقیماً از حل معادلات دیفرانسیل حاکم بر سیستم بدون استفاده از تبدیل لاپلاس بدست آورد. برای این نحوه برخورد با بررسی پاسخهای حالت گذرا و حالت ماندگار به مرجع [1] مراجعه نمایید. پاسخ گذرای سیستم‌های مرتبه سوم و بالاتر را می‌توان در مرجع [2] پیدا کرد. در مراجع [1], [2], [3] و [4] مثالهای عملی از سیستم‌های مرتبه دوم آورده شده‌اند. در محاسبه پاسخ حالت گذار با استفاده از تابع تبدیل در حوزه  $s$  باید تابع تبدیل را به صورت کسرهای متوالی تبدیل کرد. روش‌های محاسبه مانده‌ها در کسرهای متوالی در این کتاب مورد بررسی قرار نگرفته‌اند، برای اطلاعات بیشتر به مراجع [1] تا [4] و [6] مراجعه شود. یک مقاله تخصصی در زمینه بسط کسرهای جزبی، مرجع [3-8] از مراجع همین فصل است.

همانطور که در این فصل اشاره شده است، بسیاری از سیستم‌های صنعتی را می‌توان به صورت توابع تبدیل مرتبه دوم و یا مرتبه اول نمایش داد. یک راه ساده سازی مدل یک سیستم مرتبه بالاتر، تعیین قطبهای غالب و غیر غالب و حذف قطبهای غیر غالب آن می‌باشد. در مراجع [3] و [4]، بطور مختصر ساده سازی سیستم‌ها مورد بحث قرار گرفته است. برای بررسی بیشتر می‌توان به مراجع [3-9] و [9-10] همین فصل مراجعه کرد. در ارتباط با مشخصه‌های پاسخ گذرای سیستم‌های مرتبه دوم مانند زمان صعود به مرجع [25] نیز مراجعه نمایید.

اگر سیستمی دارای صفر ناپایدار باشد آنرا، غیر می‌نیمم فاز نامیده و رفتار حالت گذرای آن با یک سیستم می‌نیمم فاز (سیستمی که تمامی صفرهای آن پایدار می‌باشند) متفاوت است. این پدیده در مرجع [3-11] مفصلأً مورد بررسی قرار گرفته است. بررسی پاسخ سیستم‌های فیزیکی به طور مفصل در [3-2] آمده است.

بکارگیری فیدبک برای کاهش اثر اغتشاشات خارجی و حساسیت بخوبی در [2], [4], [5], [12] و [25] بحث شده است. برای بررسی بیشتر حساسیت در سیستم‌های کنترل به مرجع [3-1] همین فصل مراجعه شود.

خطاهای در تحلیل سیستم کنترل نقش مهمی دارند و به همین دلیل در تمامی کتابهای کنترل کلاسیک، مفصلأً مورد بحث قرار گرفته‌اند. نکته قابل توجه این است که خطای حالت ماندگار

در سیستم‌های کنترل با فیدبک غیر واحد خطای بین خروجی سیستم و ورودی مرجع است و در برخی از منابع کنترل کلاسیک خطای بین خروجی بلوک در مسیر فیدبک و ورودی مرجع به عنوان خطای تلقی گردیده است. در این کتاب و اکثریت کتابهای کنترل کلاسیک حالت اول در نظر گرفته شده است، لیکن در مراجعی مانند [5] حالت دوم در نظر گرفته شده است. برای مطالعه بیشتر در مورد خطای سیستم‌های کنترل با فیدبک غیر واحد به مرجع [1] مراجعه شود هم‌چنین در [25] این نکته در تعریف خطای مورد بحث قرار گرفته است و تأثیر آن بر روش تعریف نوع سیستم و خطای حالت ماندگار آورده شده است. نوع سیستم در این مرجع به خوبی تعریف و برای ردیابی و ورودیهای اغتشاشی تعریف شده است.

بررسی پایداری به روشهای مختلفی امکان‌بزیر است. علاوه بر روش روث و هروتیز می‌توان از روش کسرهای متوالی<sup>۱</sup> نیز نامبرد. این روش در مرجع [6] آمده است. برای برخورد با حالت خاص اولین عنصر در یک سطر از آرایه روث می‌توان از روش<sup>۲</sup> استفاده کرد، که در مراجع [3] و [4] آمده است. توجه کنید که روش<sup>۳</sup> در مواجه با معادلاتی که ریشه‌های موهومی محض دارند ممکن است که پاسخ درستی ندهد. روش روث برای پایداری در مراجع [3-3]، [3-5]، [3-6]، [3-7] مفصلًاً بحث شده است. برای بررسی کلی تر پایداری به مرجع [3-4] همین فصل مراجعه شود. اثبات ریاضی روشهای روث و هروتیز در مرجع [12] آمده است.